

Statische Berechnung

Auftrags-Nr.:

Bauvorhaben: Neubau eines Einfamilienhauses
Seebeckstraße 6, 27616 Beverstedt

Bauherr: Günter Ihmels
Marderweg 3, 27616 Beverstedt
Tel.:
E-Mail:

Tragwerksplanung: Dipl.-Ing. (FH) Lüder Blume
Brockhagener Str. 130, 33803 Steinhagen
Tel.:
E-Mail: info@derblume.de

Architekt:
,

Tel.:
E-Mail:

Proj.Bez	Neubau eines Einfamilienhauses	Seite	2
Datum	12.03.2019	Projekt	Ihmels Mekong

Inhaltsverzeichnis

Position	Beschreibung/Abmessungen/Material	Seite
TB	Titelblatt	1
	Inhaltsverzeichnis	2
1	Vorbemerkungen	4
1.1	Wind- und Schneelastzonen	7
1.10	Sparren 1 7/19 cm; a=0.55 m; NH C24	8
1.11	Sparren 2 7/19 cm; a=0.55 m; NH C24	15
1.12	Sparren 3 7/19 cm; a=0.55 m; NH C24	23
1.20	Stürze DG b/h = 7/13.6 cm NH C24	30
2.10	Deckenbalken 1 b/h = 7/17 cm; a = 0.40 m NH C24	35
2.11	Deckenbalken 2 b/h = 7/17 cm; a = 0.52 m NH C24	39
2.12	Deckenbalken 3 b/h = 7/17 cm; a = 0.52 m NH C24	43
2.13	Treppenwechsel b/h = 7/17 cm NH C24	47
2.20	Stürze Traufe 1 b/h = 7/23.6 cm NH C24	51
2.21	Stürze Traufe 2 b/h = 7/18.6 cm NH C24	57
2.22	Stürze sonstige b/h = 7/13.6 cm NH C24	63
2.23	Unterzug b/h = 7/38.6 cm NH C24	67
2.24	Unterzug Treppe b/h = 7/13.6 cm NH C24	73
2.30	Treppe	78
3.10	Sohle	79
3.11	Frostschürze	80
4.10	Sparren Terrassenüberdachung 7/19 cm; a=0.57 m; NH C24	81
4.20	Traufpfette Terrassenüberdachung b/h = 7/15.6 cm NH C24	88
4.30	Holzstütze Terrasse innen b/h = 12/12 cm Nadelholz C24	93
4.31	Holzstütze Terrasse außen b/h = 12/12 cm Nadelholz C24	99

Proj.Bez	Neubau eines Einfamilienhauses	Seite	3
Datum	12.03.2019	Projekt	Ihmels Mekong
Position	Beschreibung/Abmessungen/Material	Seite	
5.10	Einzelfundament Terrasse innen by/bz/df= 0.90/0.90/0.80 m C 25/30;	105	
5.11	Einzelfundament Terrasse außen by/bz/df= 0.60/0.60/0.80 m C 25/30;	109	

Proj.Bez	Neubau eines Einfamilienhauses	Seite	4
Datum	12.03.2019	Position	1
	mb BauStatik S011 2012.063	Projekt	Ihmels Mekong

Pos. 1

Vorbemerkungen

VORBEMERKUNGEN

Die nachfolgende statische Berechnung bringt den Nachweis aller wesentlich tragenden Bauteile des vorgenannten Objektes. Die statische Berechnung ist ausschließlich für das Bauvorhaben Ihmels gerechnet und darf für gleichartige andere Bauvorhaben nicht verwendet werden.

Berechnungsgrundlagen:

Die maßgebenden DIN Vorschriften in Ihrer neusten Fassung, insbesondere:

DIN EN 1992-1-1; 2011-01	Beton und Stahlbeton
DIN EN 1993-1-1; 2010-12	Stahl im Hochbau
DIN EN 1995-1-1; 2010-12	Holzbauwerke

Berechnungsunterlagen:

Die Entwurfspläne des vorgenannten Planverfassers im Maßstab 1:100 vom aus der e-mail aus März 2019.

Baustoffe:

Beton	:	C25/30
Fundamente	:	C25/30
Betonstahl	:	BSt 500 S+M
Profilstahl	:	St 37.2
Holz	:	Nadelholz GK II; BSH GK II

Proj.Bez	Neubau eines Einfamilienhauses	Seite	5
Datum	12.03.2019	Position	1
	mb BauStatik S011 2012.063	Projekt	Ihmels Mekong

ALLGEMEINE HINWEISE

Wände / Dach:

Das Dach ist mit der Unterkonstruktion zug- und druckfest zu verankern. Die Sparren sind mit 2 Sparrenpfettenanker je Verbindung und 5 Nägel 4,0 x 50 je Ankerschenkel mit den Pfetten zu verbinden.

Die auftretenden Horizontalkräfte werden durch die Anordnung von Windrispen und Wandscheiben abgeleitet.

Windrispen mit 2 RNä 4.0 * 40 je Sparren anschließen. Am Fußpunkt über Sparren abknicken und mit 6 RNä 4.0 * 40 verankern.

Die Wandscheiben bilden sich über die verkämmten Eckverbindungen der Blockbohlenwände aus. An den Verkämmungen sind zusätzlich Stahlspannstangen größer Durchmesser 10 von oben nach unten durch die Blockbohlenwand zu führen und zug- und druckfest zu verankern. Die Verkämmungen haben einen Überstand von mindestens 1,5 x Dicke der Wand cm.

Lastabtragende Stützen sind mit in der Höhe verstellbarem Fuß einzubauen, damit Setzungen der Blockbohlen hier ausgeglichen werden können. Der Bauherr ist auf dieses Setzverhalten aufmerksam zu machen. Es ist regelmäßig zu kontrollieren und ggf. auszugleichen.

Decken sind mittels OSB-Platten als Scheibe auszuführen.

Der Abstand von einer Öffnung zur nächsten Verkämmung ist größer als 4 mal die Stärke der Bohlenwand zu wählen.

Über Öffnungen sind mindestens 2 Bohlen einzubauen.

Falls der oberste Blockbohlenbalken kein ganzer Blockbalken ist, so ist dieses Deckprofil schubfest mit dem darunter liegenden Blockbohlenbalken zu verschrauben.

Gründung:

angenommen wird eine zulässige Bodenpressung von 200 kN/m², das entspricht Sandboden oder bindiger Boden mit halbfester Konsistenz.

Diese Annahme ist vor Baubeginn vom ausführenden Unternehmer *eigenverantwortlich* zu prüfen. Bei Abweichung ist der Aufsteller zu benachrichtigen.

Proj.Bez	Neubau eines Einfamilienhauses	Seite	6
Datum	12.03.2019	Position	1
	mb BauStatik S011 2012.063	Projekt	Ihmels Mekong

Die Gründung des Gebäudes hat in frostfreier Tiefe auf gewachsenem Boden zu erfolgen. Erdlastige Sohlplatten sind auf verdichtetem (*mind. 100 % Proctordichte*), sauberem Sanboden und PE-Folie/ Sauberkeitsschicht (Beton B10, d= 5,0 cm) zu gründen. Eine ordnungsgemäße Verlegung der unteren und oberen Bewehrung ist zu gewährleisten.

Schubverankerung mittels Winkel ABR 100 oder AE76; e=0,80 mtr. auf gesamter Wandlänge jeder Wand im EG
Befestigung je Winkel mittels 10 Nägel 4,0*60 und 1 Stck. Dübel M10
zul. N Winkel = 4,0 KN ≥ vorh. N

Zuganker gewählt HD 400 M 16-GB
Befestigung an jeder Verkämmung mittels 25 Nägel 4,0 x 60 mm
zul N = 25 * 0,7 = 17,50 KN
Verankerung im Fundament mittels Fischer Highbond FHB II-A LM 12x120/25mm
zul. N = 22,57 KN

Hinweis:

Bei Unstimmigkeiten der Berechnung mit den Entwurfsplänen oder nicht zutreffenden rechnerischen Annahmen ist der Aufsteller zu benachrichtigen.

Pos. 1.1 **Wind- und Schneelastzonen**

Gebäude

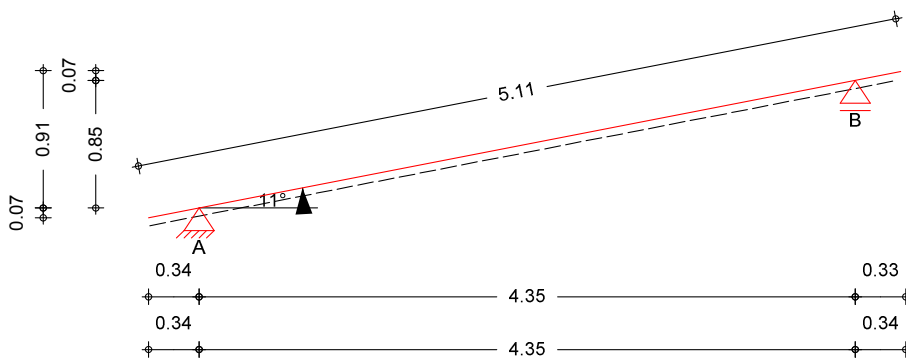
Gebäudestandort	Postleitzahl	Plz	=	27616	
	Ortsname	Ort	=	Beverstedt	
	Ortsteil	OT	=	Beverstedt	
Gemeinde	Gemeindeschlüssel	GS	=	03352005	
	Bundesland			Niedersachsen	
Geodätische Daten	Geogr. Länge	GL	=	08.81860	°
	Geogr. Breite	GB	=	53.43332	°
Geograf. Daten	Geländehöhe ü. NN	H_s	=	15.00	m
	Windzone	W_{1z}	=	4	
	Schneelastzone	S_{1z}	=	2	
	Schneelast	S_K	=	0.85kN/m ²	
	Norddeutsches Tiefland				

Pos. 1.10
Sparren 1

Die Sparren sind mit Fermacell (F30) zu verkleiden.
 Die Sparren sind mittels Tellerkopfvollgewindeschrauben Ø 8 mm
 mit den Blockbohlenwänden zu verbinden.
 Verankerungslänge $l \geq 50$ mm

$$\begin{aligned} \text{zul. N Herausziehen} &= 78,4 \times 50 = 3920 \text{ N} \geq \text{vorh. N} = 3220 \text{ N} \\ \text{zul. N Abscheren} &= 2218 \text{ N} \\ \text{zul. N Kopfdurchziehen} &= 4900 \text{ N} \end{aligned}$$

System
M 1:50

1-Feld Sparren mit Kragarmen


Abmessungen Mat./Querschnitt	Feld [m]	Material	b/h [cm]
K1	0.34	NH C24	7.0/19.0
1	4.35		
Kr	0.34		

Auflager	Lager	x [m]	z [m]	K _{T,z} [kN/m] fest	K _{T,x} [kN/m] fest
	A	0.34	0.07		
	B	4.68	0.91		frei

Dachneigung
Sparrenabstand

Dachneigungswinkel
Abstand

$$\delta = 11.0^\circ$$

$$a = 0.55 \text{ m}$$

Einwirkungen

Gk
Qk.S

Ständige Einwirkungen
Schnee- und Eislasten für
Norddeutsches Tiefland
Qk.S (min/max Werte)
Qk.S.A Fall (i)

LG 98

Qk.W

Windlasten
Qk.W (min/max Werte)
Qk.W.000 Anströmrichtung $\theta = 0^\circ$
Qk.W.090 Anströmrichtung $\theta = 90^\circ$
Qk.W.180 Anströmrichtung $\theta = 180^\circ$
Qk.W.270 Anströmrichtung $\theta = 270^\circ$

LG 99

Proj.Bez	Neubau eines Einfamilienhauses	Seite	9
Datum	12.03.2019	Position	1.10
	mb BauStatik S110.de 2012.063	Projekt	Ihmels Mekong

Nordd. Tiefland Aufgrund der Gebäudelage im norddeutschen Tiefland wird die Einwirkung Qk.S nach DIN 1055-5 (07/05), Abs. 4.1 zusätzlich als außergewöhnliche Einwirkung mit 2.3-fachen Lastwerten berücksichtigt.

wind/Schnee

Dachform Pultdach
Dachüberstand Traufe links $\ddot{u}_l = 0.34$ m
Dachüberstand Traufe rechts $\ddot{u}_r = 0.34$ m
Dachüberstand Giebel vorn $\ddot{u}_{Gv} = 0.30$ m
Dachüberstand Giebel hinten $\ddot{u}_{Gh} = 0.30$ m

Gebäudeabmessungen Breite (Giebel) B = 4.35 m
Länge (Traufe) L = 11.10 m
Höhe (First) H = 5.10 m

Bauteillage Ortgangabstand aov = 2.00 m

geograf. Angaben Gelände über Meeresniveau A = 15.00 mü NN
Gebäudestandort: Binnenland

windlasten Windzone 4, nach DIN EN 1991-1-4:2010-12
Geschwindigkeitsdruck $q_p = 0.95 \text{ kN/m}^2$
 $e_B/10 = 1.02 \text{ m}$ $e_B/4 = 2.55 \text{ m}$
 $e_L/10 = 0.50 \text{ m}$ $e_L/4 = 1.25 \text{ m}$

B.	für Unterkonstruktion mit				A =	2.81	m^2	
	$C_{pe,0}$	$C_{pe,90}$	$C_{pe,180}$	$C_{pe,270}$				$W_{e,0}$
	[-]				[kN/m^2]			
D	0.91	0.88	0.91	0.88	0.86	0.83	0.86	0.83
E	-0.50	-0.44	-0.50	-0.44	-0.48	-0.41	-0.48	-0.41
F	0.12		-2.56		0.11		-2.44	
H	0.12	-0.98	-1.05	-0.98	0.11	-0.94	-0.99	-0.94
I		-0.79		-0.79		-0.75		-0.75

B.	für Lastweiterleitung mit				A ≥	10.00	m^2	
	$C_{pe,0}$	$C_{pe,90}$	$C_{pe,180}$	$C_{pe,270}$				$W_{e,0}$
	[-]				[kN/m^2]			
D	0.80	0.73	0.80	0.73	0.76	0.69	0.76	0.69
E	-0.50	-0.36	-0.50	-0.36	-0.47	-0.34	-0.47	-0.34
F	0.12		-2.42		0.11		-2.30	
H	0.12	-0.72	-0.86	-0.72	0.11	-0.68	-0.82	-0.68
I		-0.62		-0.62		-0.59		-0.59

Schneelasten Schneelastzone 2, nach DIN EN 1991-1-3:2010-12
char. Schneelast auf dem Boden $s_k = 0.85 \text{ kN/m}^2$

Lastbild	μ_1	s_1
(i)	0.80	[kN/m^2]
		0.68

Belastungen

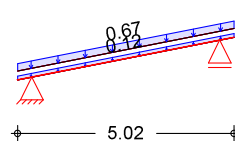
Belastungen auf das System

Grafik

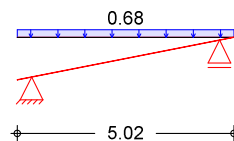
Belastungsgrafiken (Einwirkungsbezogen)

Einwirkungen

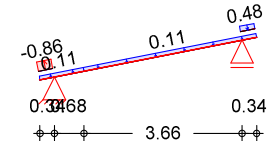
Gk



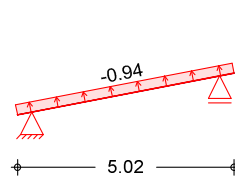
Qk.S.A



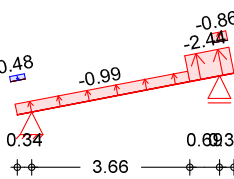
Qk.w.000



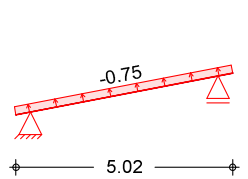
Qk.w.090



Qk.w.180



Qk.w.270



Flächenlasten in z-Richtung

Einw. Gk

Feld	Richt.	Komm.	a [m]	s [m]	q _u [kN/m ²]	q _o [kN/m ²]
K1	vert.DF	Eigengew	0.00	5.02	0.12	
K1	vert.DF	Eindeck.	0.00	5.02	0.67	
K1	vert.GF	Volllast	0.00	5.02	0.68	
K1	Lokal	Ber. D	0.00	0.34	-0.86	
Kr	Lokal	Ber. E	0.00	0.33	0.48	
K1	Lokal	Ber. F	0.00	1.02	0.11	
1	Lokal	Ber. H	0.69	4.00	0.11	
K1	Lokal	Ber. H	0.00	5.02	-0.94	
Kr	Lokal	Ber. D	0.00	0.33	-0.86	
K1	Lokal	Ber. E	0.00	0.34	0.48	
1	Lokal	Ber. F	3.67	1.02	-2.44	
K1	Lokal	Ber. H	0.00	4.00	-0.99	
K1	Lokal	Ber. I	0.00	5.02	-0.75	

Einw. Qk.w.090
Einw. Qk.w.180

Unterdecke	0.2	=	0.20	kN/m ²
Dämmung	0.2	=	0.20	kN/m ²
Schalung	0.1	=	0.10	kN/m ²
Abklebung	0.17	=	0.17	kN/m ²
		=	0.67	kN/m ²

Einw. Qk.w.270

lokal: lokale Belastung orthogonal zur Dachfläche
vert.DF: vertikale Belastung bezogen auf die Dachfläche
vert.GF: vertikale Belastung bezogen auf die Grundfläche

Kombinationen

Kombinationsbildung nach DIN EN 1990 Darstellung der maßgebenden Kombinationen

ständig/vorüberg.

Ek KLED $\Sigma (\gamma * \psi * EW)$

+1.50*Qk.S.A

2 ku 1.35*Gk +1.50*Qk.S.A +0.90*Qk.w.000

7 ku 1.35*Gk +1.50*Qk.S.A +0.90*Qk.w.000

19 ku 1.00*Gk +1.50*Qk.w.180

quasi-ständig
selten

30 1.00*Gk

33 1.00*Gk +1.00*Qk.w.000

35 1.00*Gk +1.00*Qk.w.180

37 1.00*Gk +1.00*Qk.S.A +0.60*Qk.w.000

ku: kurz

Bem.-schnittgrößen **Bemessungsschnittgrößen**

Tabelle **Schnittgrößen (je Kombination)**

	Feld	x [m]	N _d [kN/m]	M _{y,d} [kNm/m]	V _{z,d} [kN/m]
Komb. 2	K1	0.00	0.00*	0.00*	0.00*
		0.34	0.13*	-0.12*	-0.69*
	1	0.00	-0.87*	-0.12	4.50*
		2.22	0.00	4.87*	0.00
		4.43	0.87*	-0.12*	-4.50*
	Kr	0.00	-0.13*	-0.12*	0.69*
		0.34	0.00*	0.00*	0.00*
Komb. 7	K1	0.00	0.00*	0.00*	0.00*
		0.34	0.13*	-0.08*	-0.46*
	1	0.00	-0.79*	-0.08	4.71*
		2.22	0.08	5.12*	-0.02
		4.43	0.96*	-0.15*	-4.74*
	Kr	0.00	-0.13*	-0.15*	0.88*
		0.34	0.00*	0.00*	0.00*
Komb. 19	K1	0.00	0.00*	0.00*	0.00*
		0.34	0.05*	0.00*	0.00*
	1	0.00	-1.59*	0.00	-1.65*
		2.22	-1.25	-1.90*	-0.06
		4.43	-0.92*	0.24*	3.03*
	Kr	0.00	-0.05*	0.24*	-1.42*
		0.34	0.00*	0.00*	0.00*

Mat./Querschnitt **Material- und Querschnittswerte nach DIN EN 1995-1-1**

Material	Material	f _{mk}	f _{t0k}	f _{c0k} [N/mm ²]	f _{c90k} [N/mm ²]	f _{vk}	E _{mean}
NH C24		24.0	14.0	21.0	2.5	4.0	11000

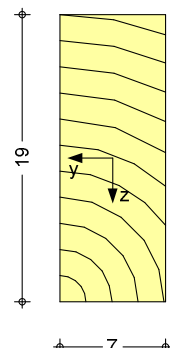
Querschnitt	Art	b [cm]	h [cm]	A [cm ²]	I _y [cm ⁴]
RE		7.0	19.0	133	4001

RE: Rechteckquerschnitt

Grafik

Querschnittsgrafik

M 1:5



Nutzungsklasse 2

Nachweise (GZT) Nachweise im Grenzzustand der Tragfähigkeit nach DIN EN 1995-1-1

Biegung

6.1

Nachweis der Biegetragfähigkeit

	x [m]	Ek [-]	k _{mod} [-]	N _d M _{yd} [kN, kNm]	σ _{0,d} σ _{my,d} [N/mm ²]	f _{0,d} f _{my,d} [N/mm ²]	η [-]
Kragarm links	(L = 0.34 m, k _{c,y} = 1.00) 0.34	2	0.90	0.07 -0.07	0.01 0.15	9.69 16.62	0.01*
Feld 1	(L = 4.43 m, k _{c,y} = 0.44) 2.22	7	0.90	0.05 2.82	0.00 6.69	9.69 16.62	0.40*
Kragarm rechts	(L = 0.34 m, k _{c,y} = 1.00) 0.00	19	0.90	-0.03 0.13	0.00 0.32	14.54 16.62	0.02*

Querkraft

6.1.7

Nachweis der Querkrafttragfähigkeit

	x [m]	Ek [-]	k _{mod} [-]	V _{z,d} [kN]	τ _d [N/mm ²]	f _{v,d} [N/mm ²]	η [-]
Kragarm links	0.34	2	0.90	-0.38	0.09	2.77	0.03*
Feld 1	4.43	7	0.90	-2.61	0.59	2.77	0.21*
Kragarm rechts	0.00	19	0.90	-0.78	0.18	2.77	0.06*

Stabilität (BDK)

6.3

Nachweis der Stabilität

Der Einfluss der Stabilität ist im Nachweis der Biegetragfähigkeit enthalten. Folgende Ersatzstablängen werden berücksichtigt.

Ersatzstablängen

	l [m]	l _{ef,cy} [m]
Kragarm links	0.34	0.68
Feld 1	4.43	4.43
Kragarm rechts	0.34	0.68

Biegung

Nachweis der Biegetragfähigkeit (geschwächter Querschnitt)

6.1

	t [cm]	Ek [-]	k _{mod} [-]	N _d M _{yd} [kN, kNm]	σ _{0,d} σ _{my,d} [N/mm ²]	f _{0,d} f _{my,d} [N/mm ²]	η [-]
Auflager A	3.0	2	0.90	0.07 -0.07	0.01 0.22	9.69 16.62	0.01
Auflager B	3.0	19	0.90	-0.50 0.13	0.05 0.45	14.54 16.62	0.03

Querkraft

Nachweis der Querkrafttragfähigkeit (geschwächter Querschnitt)

6.1.7

	t [cm]	Ek [-]	k _{mod} [-]	V _{z,d} [kN]	τ _d [N/mm ²]	f _{v,d} [N/mm ²]	η [-]
Auflager A	3.0	7	0.90	2.59	0.69	2.77	0.25
Auflager B	3.0	7	0.90	-2.61	0.70	2.77	0.25

Nachweise (GZG) Nachweise im Grenzzustand der Gebrauchstauglichkeit nach DIN EN 1995-1-1

Verformungen

	x [m]	E _k	Norm	W _{vorb} [mm]	W _{zu l} [mm]	η
Kragarm links	(L = 0.34 m, NKL 2, k _{def} = 0.80)	0.00	35 Winst	0.4	1/150=	2.3 0.18*
Feld 1	(L = 4.43 m, NKL 2, k _{def} = 0.80)	2.21	37 Winst	9.2	1/300=	14.8 0.62*
		2.21	37 Wfin	13.0	1/200=	22.2 0.58*
		2.22	30 W _{net} , fin	8.5	1/300=	14.8 0.58*
Kragarm rechts	(L = 0.34 m, NKL 2, k _{def} = 0.80)	0.34	35 Winst	0.4	1/150=	2.3 0.19*
		0.00	33 Wfin	-	1/100=	3.4 0.00*

Negative Verformungen wurden zur Bemessung nicht berücksichtigt.

Auflagerkräfte je 1fd. m (windlasten mit c_{pe,10})

charakterist. Wert	Einwirk.	A _{v, k} [kN/m]	A _{h, k} [kN/m]	B _{v, k} [kN/m]
G _k		2.02	0.00	2.02
Q _{k,S,A}		1.71	0.00	1.71
Q _{k,w,000}		-0.00	-0.09	0.48
Q _{k,w,090}		-1.65	0.67	-1.78
Q _{k,w,180}		-1.79	1.11	-3.91
Q _{k,w,270}		-1.42	0.57	-1.53

Ankerkräfte je Sparren (windlasten mit c_{pe,A}) Lasteinzugsfläche des Sparren A = 2.81 m²

Bemessungswert Grundkomb. (Lages.)	E _k maßgeb.	A _{v, d} [kN]	A _{h, d} [kN]	B _{v, d} [kN]
	56	0.10	1.06!	-1.68
	62	-0.86!	0.75	-1.01
	63	-0.83	1.06	-2.61!

! abhebende Ankerkraft ist gesondert nachzuweisen

Bemessungswert außerg. K. (Lages.)	E _{k,A} maßgeb.	A _{v, d,A} [kN]	A _{h, d,A} [kN]	B _{v, d,A} [kN]
	73	3.27	0.00	3.27
	74	3.22	0.00	3.22

Es treten keine abhebenden Ankerkräfte auf.

Zusammenfassung Zusammenfassung der Nachweise

Nachweise (GZT) Nachweise im Grenzzustand der Tragfähigkeit

Nachweis	Feld	x [m]	η
Biegung	Feld 1	2.22	OK 0.40
Querkraft	Feld 1	4.43	OK 0.21
Biegung	Auflager B		OK 0.03
Querkraft	Auflager B		OK 0.25

Nachweise (GZG) **Nachweise im Grenzzust. der Gebrauchstauglichkeit**

Nachweis	Feld	x [m]	η	
Anfangsdurchbiegung	Feld 1	2.21	OK	0.62
Enddurchbiegung	Feld 1	2.21	OK	0.58
gesamte Enddurchbiegung	Feld 1	2.22	OK	0.58

Pos. 1.11

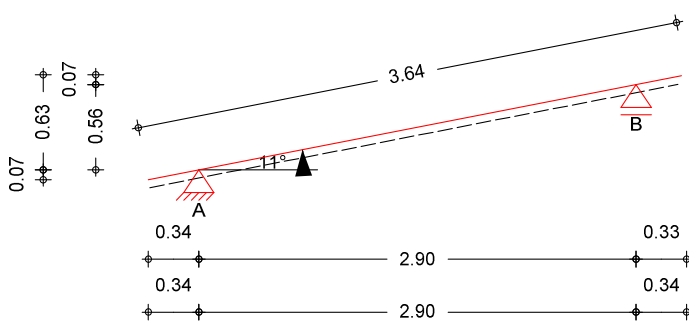
Sparren 2

Die Sparren sind mit Fermacell (F30) zu verkleiden.
 Die Sparren sind mittels Tellerkopfvollgewindeschrauben Ø 8 mm
 mit den Blockbohlenwänden zu verbinden.
 Verankerungslänge $l \geq 50$ mm

$$\begin{aligned} \text{zul. N Herausziehen} &= 78,4 \times 50 = 3920 \text{ N} \geq \text{vorh. N} = 2330 \text{ N} \\ \text{zul. N Abscheren} &= 2218 \text{ N} \\ \text{zul. N Kopfdurchziehen} &= 4900 \text{ N} \end{aligned}$$

System
M 1:50

1-Feld Sparren mit Kragarmen



Abmessungen Mat./Querschnitt	Feld [m]	Material	b/h [cm]
			K1
	0.34	NH C24	7.0/19.0
	2.90		
	0.34		

Auflager	Lager	x	z	K _{T,z}	K _{T,x}
		[m]	[m]	[kN/m]	[kN/m]
A	A	0.34	0.07	fest	fest
B	B	3.23	0.63	fest	frei

Dachneigung
 Sparrenabstand $\delta = 11.0^\circ$
 $a = 0.55 \text{ m}$

Einwirkungen

Gk	Ständige Einwirkungen		LG 98
	Schnee- und Eislasten für Norddeutsches Tiefland		
Qk.S	Qk.S (min/max Werte)		
	Qk.S.A Fall (i)		
Qk.W	Windlasten		LG 99
	Qk.W (min/max Werte)		
	Qk.W.000 Anströmrichtung $\theta = 0^\circ$		
	Qk.W.090 Anströmrichtung $\theta = 90^\circ$		
	Qk.W.180 Anströmrichtung $\theta = 180^\circ$		
	Qk.W.270 Anströmrichtung $\theta = 270^\circ$		

Nordd. Tiefland Aufgrund der Gebäudelage im norddeutschen Tiefland wird die Einwirkung Qk.S nach DIN 1055-5 (07/05), Abs. 4.1 zusätzlich als außergewöhnliche Einwirkung mit 2.3-fachen Lastwerten berücksichtigt.

wind/schnee

wind- und schneelastermittlung

Dachform

Pultdach

Dachüberstand Traufe links	$\ddot{u}_l =$	0.34	m
Dachüberstand Traufe rechts	$\ddot{u}_r =$	0.34	m
Dachüberstand Giebel vorn	$\ddot{u}_{GV} =$	0.30	m
Dachüberstand Giebel hinten	$\ddot{u}_{GH} =$	0.30	m

Gebäudeabmessungen

Breite (Giebel) B = 2.90 m
Länge (Traufe) L = 11.10 m
Höhe (First) H = 5.10 m

Bauteillage

Ortgangabstand a_{ov} = 2.00 m

geograf. Angaben

Gelände über Meeressniveau A = 15.00 mü NN
Gebäudestandort: Binnenland

windlasten

windzone 4, nach DIN EN 1991-1-4:2010-12

Geschwindigkeitsdruck	$q_p = 0.95 \text{ kN/m}^2$
$e_B/10 = 1.02 \text{ m}$	$e_B/4 = 2.55 \text{ m}$
$e_L/10 = 0.36 \text{ m}$	$e_L/4 = 0.89 \text{ m}$

für Unterkonstruktion mit					A =	2.00	m ²	
B.	C _{pe,0}	C _{pe,90}	C _{pe,180}	C _{pe,270}	W _{e,0}	W _{e,90}	W _{e,180}	W _{e,270}
				[-]		[kN/m ²]		
D	0.94	0.92	0.94	0.92	0.89	0.87	0.89	0.87
E	-0.53	-0.46	-0.53	-0.46	-0.50	-0.43	-0.50	-0.43
F	0.12		-2.60		0.11		-2.47	
H	0.12	-1.06	-1.10	-1.06	0.11	-1.00	-1.04	-1.00
I		-0.83		-0.83		-0.79		-0.79

für Lastweiterleitung mit					A ≥ 10.00	m ²		
B.	C _{pe,0}	C _{pe,90}	C _{pe,180}	C _{pe,270}	W _{e,0}	W _{e,90}	W _{e,180}	W _{e,270}
D	0.80	0.73	0.80	0.73	0.76	0.69	0.76	0.69
E	-0.50	-0.36	-0.50	-0.36	-0.47	-0.34	-0.47	-0.34
F	0.12		-2.42		0.11		-2.30	
H	0.12	-0.72	-0.86	-0.72	0.11	-0.68	-0.82	-0.68
I		-0.62		-0.62		-0.59		-0.59

Schneelasten

Schneelastzone 2, nach DIN EN 1991-1-3:2010-12
char. Schneelast auf dem Boden $s_k = 0.85 \text{ kN/m}^2$

Lastbild	μ_1	s_1
(i)	0.80	[kN/m ²] 0.68

Belastungen

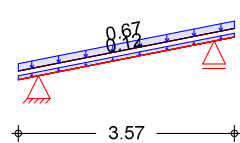
Belastungen auf das System

Grafik

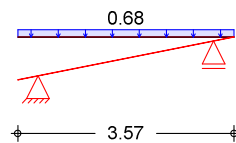
Belastungsgrafiken (Einwirkungsbezogen)

Einwirkungen

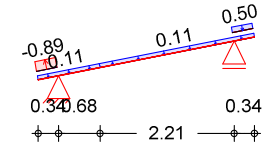
Gk



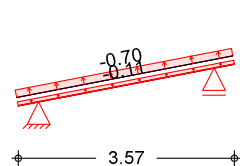
Qk.S.A



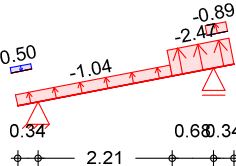
Qk.w.000



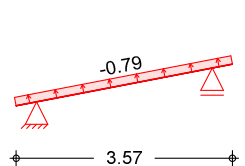
Qk.w.090



Qk.w.180



Qk.w.270



Flächenlasten in z-Richtung

Einw. Gk

Feld Richt. Komm.

a [m] s [m]

q_u [kN/m²] q_o [kN/m²]

Kl	Richt.	Komm.	a [m]	s [m]	q _u [kN/m ²]	q _o [kN/m ²]
K1	vert.DF	Eigengew	0.00	3.57	0.12	
K1	vert.DF	Eindeck.	0.00	3.57	0.67	
K1	vert.GF	Volllast	0.00	3.57	0.68	
K1	Lokal	Ber. D	0.00	0.34	-0.89	
Kr	Lokal	Ber. E	0.00	0.33	0.50	
K1	Lokal	Ber. F	0.00	1.02	0.11	
1	Lokal	Ber. H	0.69	2.55	0.11	
K1	Lokal	Ber. H	0.00	3.57	-0.11	
K1	Lokal	Ber. I	0.00	3.57	-0.70	
Kr	Lokal	Ber. D	0.00	0.33	-0.89	
K1	Lokal	Ber. E	0.00	0.34	0.50	
1	Lokal	Ber. F	2.21	1.02	-2.47	
K1	Lokal	Ber. H	0.00	2.55	-1.04	
K1	Lokal	Ber. I	0.00	3.57	-0.79	

Einw. Qk.w.090

(a)

Unterdecke

0.2 = 0.20 kN/m²

Dämmung

0.2 = 0.20 kN/m²

Schalung

0.1 = 0.10 kN/m²

Abklebung

0.17 = 0.17 kN/m²

= 0.67 kN/m²

lokal: lokale Belastung orthogonal zur Dachfläche

vert.DF: vertikale Belastung bezogen auf die Dachfläche

vert.GF: vertikale Belastung bezogen auf die Grundfläche

Kombinationen

Kombinationsbildung nach DIN EN 1990

Darstellung der maßgebenden Kombinationen

ständig/vorüberg.

Ek KLED $\Sigma (\gamma * \psi * EW)$

2 ku 1.35*Gk +1.50*Qk.S.A

7 ku 1.35*Gk +1.50*Qk.S.A +0.90*Qk.w.000

19 ku 1.00*Gk +1.50*Qk.w.180

quasi-ständig
selten

30 1.00*Gk

35 1.00*Gk +1.00*Qk.w.180

37 1.00*Gk +1.00*Qk.S.A +0.60*Qk.w.000

Brand

38 1.00*Gk +0.50*Qk.S.A +1.00*Qk.w.000

76 1.00*Gk +0.20*Qk.S.A

ku: kurz

Bem.-schnittgrößen **Bemessungsschnittgrößen**

Tabelle **Schnittgrößen (je Kombination)**

Feld	x [m]	N _d [kN/m]	M _{y,d} [kNm/m]	V _{z,d} [kN/m]
Komb. 2	K1 0.00	0.00*	0.00*	0.00*
	0.34	0.13*	-0.12*	-0.69*
	1 0.00	-0.58*	-0.12*	3.00*
	1.48	0.00	2.10*	0.00
	2.95	0.58*	-0.12*	-3.00*
	Kr 0.00	-0.13*	-0.12*	0.69*
	0.34	0.00*	0.00*	0.00*
Komb. 7	K1 0.00	0.00*	0.00*	0.00*
	0.34	0.13*	-0.08*	-0.45*
	1 0.00	-0.51*	-0.08	3.13*
	1.48	0.07	2.21*	-0.02
	2.95	0.65*	-0.15*	-3.18*
	Kr 0.00	-0.13*	-0.15*	0.88*
	0.34	0.00*	0.00*	0.00*
Komb. 19	K1 0.00	0.00*	0.00*	0.00*
	0.34	0.05*	0.00*	0.01*
	1 0.00	-1.28*	0.00	-1.26*
	1.62	-1.04	-1.00*	0.02
	2.95	-0.83*	0.25*	2.57*
	Kr 0.00	-0.05*	0.25*	-1.46*
	0.34	0.00*	0.00*	0.00*
Komb. 76	K1 0.00	0.00*	0.00*	0.00*
	0.34	0.06*	-0.05*	-0.31*
	1 0.00	-0.26*	-0.05*	1.34*
	1.48	0.00	0.94*	0.00
	2.95	0.26*	-0.05*	-1.34*
	Kr 0.00	-0.06*	-0.05*	0.31*
	0.34	0.00*	0.00*	0.00*

Mat./Querschnitt **Material- und Querschnittswerte nach DIN EN 1995-1-1**

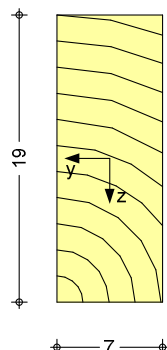
Material	Material	f _{mk}	f _{t0k}	f _{c0k} [N/mm ²]	f _{c90k} [N/mm ²]	f _{vk}	E _{mean}
NH C24		24.0	14.0	21.0	2.5	4.0	11000
Querschnitt	Art	b [cm]	h [cm]	A [cm ²]		A [cm ⁴]	
	RE	7.0	19.0	133		4001	

RE: Rechteckquerschnitt

Grafik

Querschnittsgrafik

M 1:5



Brandfall

vierseitige Brandbeanspruchung

Feuerwiderstandsdauer

Abbrandrate

$$t_{req} = 30 \text{ min}$$

$$\beta_n = 0.80 \text{ mm/min}$$

Querschnittswerte Restquerschnitt

	$d_{char,n}$ [cm]	b_r [cm]	h_r [cm]	p [cm]	A_r [cm ²]	I_y,r [cm ⁴]
	2.4	2.2	14.2	32.8	31.2	524.9

Nutzungsklasse 2

Nachweise (GZT)

Nachweise im Grenzzustand der Tragfähigkeit nach DIN EN 1995-1-1

Biegung

6.1

Nachweis der Biegetragfähigkeit

	x	E _k	k_{mod}	N_d M_{yd}	$\sigma_{0,d}$ $\sigma_{my,d}$	$f_{0,d}$ $f_{my,d}$	η
Kragarm links	[m] ($L = 0.34 \text{ m}$, $k_{c,y} = 1.00$)	0.34	2	0.90 0.07	0.01 -0.07	9.69 16.62	0.01*
Feld 1	[m] ($L = 2.95 \text{ m}$, $k_{c,y} = 0.75$)	1.48	7	0.90 0.04	0.00 1.22	9.69 2.89	16.62 0.17*
Kragarm rechts	[m] ($L = 0.34 \text{ m}$, $k_{c,y} = 1.00$)	0.00	19	0.90 -0.03	0.00 0.14	14.54 0.32	16.62 0.02*

Querkraft

6.1.7

Nachweis der Querkrafttragfähigkeit

	x	E _k	k_{mod}	$V_{z,d}$	τ_d	$f_{v,d}$	η
Kragarm links	[m]	0.34	2	0.90	-0.38	0.09	2.77 0.03*
Feld 1		2.95	7	0.90	-1.75	0.39	2.77 0.14*
Kragarm rechts		0.00	19	0.90	-0.80	0.18	2.77 0.07*

Stabilität (BDK)

6.3

Nachweis der Stabilität

Der Einfluss der Stabilität ist im Nachweis der Biegetragfähigkeit enthalten. Folgende Ersatzstablängen werden berücksichtigt.

Ersatzstablängen	l [m]	$l_{ef,cy}$ [m]
Kragarm links	0.34	0.68
Feld 1	2.95	2.95
Kragarm rechts	0.34	0.68

Biegung **Nachweis der Biegetragfähigkeit (geschwächter Querschnitt)**

6.1	t	E _k	k _{mod}	N _d M _{yd}	$\sigma_{0,d}$ $\sigma_{my,d}$	f _{0,d} f _{my,d}	η
Auflager A	3.0	2	0.90	0.07 -0.07	0.01 0.22	9.69 16.62	0.01
Auflager B	3.0	19	0.90	-0.46 0.14	0.04 0.46	14.54 16.62	0.03

Querkraft **Nachweis der Querkrafttragfähigkeit (geschwächter Querschnitt)**

6.1.7	t	E _k	k _{mod}	V _{z,d}	τ_d	f _{v,d}	η
Auflager A	3.0	7	0.90	1.72	0.46	2.77	0.17
Auflager B	3.0	7	0.90	-1.75	0.47	2.77	0.17

Nachweise (Brand) **Nachweise der Feuerwiderstandsfähigkeit nach DIN EN 1995-1-2**

Brandfall vierseitige Brandbeanspruchung Feuerwiderstandsdauer t_{req} = 30 min

6.1	x	E _k	k _{mod,fi}	N _{d,fi} M _{yd,fi}	$\sigma_{0,d,fi}$ $\sigma_{my,d,fi}$	f _{0,d,fi} f _{my,d,fi}	η
Kragarm links	(L = 0.34 m, k _{c,y} = 1.00)	0.34	76	0.68 0.48	0.03 -0.03	0.01 0.39	11.93 14.25 0.03*
Feld 1	(L = 2.95 m, k _{c,y} = 0.92)	1.46	76	0.16 0.48	0.00 0.52	0.00 6.97	4.20 14.25 0.49*
Kragarm rechts	(L = 0.34 m, k _{c,y} = 1.00)	0.00	76	0.16 0.48	-0.03 -0.03	0.01 0.39	4.20 14.25 0.03*

6.1.7	x	E _k	k _{mod,fi}	V _{z,d,fi}	$\tau_{d,fi}$	f _{v,d,fi}	η
Kragarm links	0.34	76	0.48	-0.17	0.16	2.38	0.07*
Feld 1	0.00	76	0.48	0.74	0.71	2.38	0.30*
Kragarm rechts	0.00	76	0.48	0.17	0.16	2.38	0.07*

Stabilität (BDK) **Nachweis der Stabilität**
6.3 Der Einfluss der Stabilität ist im Nachweis der Biegetragfähigkeit enthalten. Folgende Ersatzstablängen werden berücksichtigt.

Ersatzstablängen	l [m]	$l_{ef,cy}$ [m]
Kragarm links	0.34	0.68
Feld 1	2.95	2.95
Kragarm rechts	0.34	0.68

Nachweise (GZG) Nachweise im Grenzzustand der Gebrauchstauglichkeit nach DIN EN 1995-1-1

Verformungen

7.2	x	Ek	Norm	Wv orh	Wz u 1	η
	[m]			[mm]	[mm]	
Kragarm links	($L = 0.34 \text{ m}, NKL 2, k_{def} = 0.80$)	0.00	35	Winst	0.2	1/150=
		1.47	37	Winst	1.7	1/300=
Feld 1	($L = 2.95 \text{ m}, NKL 2, k_{def} = 0.80$)	1.47	37	Wfin	2.5	1/200=
		1.47	37	Wnet, fin	1.6	1/300=
Kragarm rechts	($L = 0.34 \text{ m}, NKL 2, k_{def} = 0.80$)	0.34	35	Winst	0.2	1/150=
		0.00	38	Wfin	-	1/100=

Negative Verformungen wurden zur Bemessung nicht berücksichtigt.

Auflagerkräfte je 1fd. m (Windlasten mit $c_{pe,10}$)

charakterist. Wert	Einwirk.	$A_{v,k}$ [kN/m]	$A_{h,k}$ [kN/m]	$B_{v,k}$ [kN/m]
Gk		1.44	0.00	1.44
Qk.S.A		1.21	0.00	1.21
Qk.W.000		-0.09	-0.06	0.40
Qk.W.090		-1.03	0.42	-1.11
Qk.W.180		-1.25	0.88	-3.28
Qk.W.270		-1.01	0.41	-1.09

Ankerkräfte je Sparren (Windlasten mit $c_{pe,A}$) Lasteinflussfläche des Sparren

$$A = 2.00 \text{ m}^2$$

Bemessungswert Grundkomb. (Lages.)	Ek maßgeb.	$A_{v,d}$ [kN]	$A_{h,d}$ [kN]	$B_{v,d}$ [kN]
	56	0.03	0.85!	-1.67
	63	-0.62!	0.85	-2.33!

! abhebende Ankerkraft ist gesondert nachzuweisen

Bemessungswert außerg. K. (Lages.)	Ek _A maßgeb.	$A_{v,d,A}$ [kN]	$A_{h,d,A}$ [kN]	$B_{v,d,A}$ [kN]
	73	2.33	0.00	2.33
	74	2.29	0.00	2.29

Es treten keine abhebenden Ankerkräfte auf.

Zusammenfassung Zusammenfassung der Nachweise

Nachweise (GZT) Nachweise im Grenzzustand der Tragfähigkeit

Nachweis	Feld	x	
	Feld 1	1.48	OK
		[m]	
Biegung			0.17

Proj.Bez	Neubau eines Einfamilienhauses	Seite	22
Datum	12.03.2019	Position	1.11
	mb BauStatik S110.de 2012.063	Projekt	Ihmels Mekong

Nachweis	Feld	x [m]	x [-]
Querkraft	Feld 1	2.95	OK 0.14
Biegung	Auflager B		OK 0.03
Querkraft	Auflager B		OK 0.17

Nachweise (Brand) Brandfall im Grenzzustand der Tragfähigkeit

Nachweis	Feld	x [m]	x [-]
Biegung	Feld 1	1.46	OK 0.49
Querkraft	Feld 1	0.00	OK 0.30

Nachweise (GZG) Nachweise im Grenzzust. der Gebrauchstauglichkeit

Nachweis	Feld	x [m]	x [-]
Anfangsdurchbiegung	Feld 1	1.47	OK 0.18
Enddurchbiegung	Feld 1	1.47	OK 0.17
gesamte Enddurchbiegung	Feld 1	1.48	OK 0.16

Pos. 1.12
Sparren 3

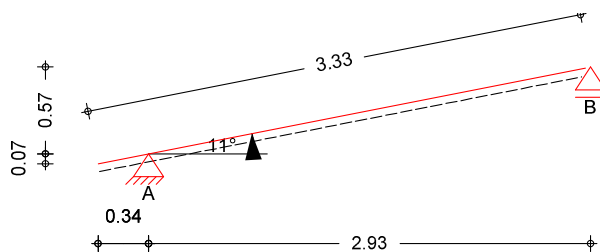
Die Sparren sind mit Fermacell (F30) zu verkleiden.
 Die Sparren sind mittels Tellerkopfvollgewindeschrauben Ø 8 mm mit den Blockbohlenwänden zu verbinden.
 Verankerungslänge $l \geq 50$ mm

$$\begin{aligned} \text{zul. N Herausziehen} &= 78,4 \times 50 = 3920 \text{ N} \geq \text{vorh. N} = 2330 \text{ N} \\ \text{zul. N Abscheren} &= = 2218 \text{ N} \\ \text{zul. N Kopfdurchziehen} &= = 4900 \text{ N} \end{aligned}$$

Die Sparren sind an der Blockbohlenwand am First mittels Wandbalken b/d=4,4/17 cm aufzulagern. Der Wandbalken ist alle 20 cm mittels Vollgewindeschraube Ø 5 mm mit der Wand zu verbinden

$$\begin{aligned} \text{vorh. N} &= 0,756 \text{ KN} \leq \text{zul. N} = 0,932 \text{ KN} \\ \text{Verankerungslänge} & l \geq 40 \text{ mm} \end{aligned}$$

System
M 1:50

1-Feld Sparren mit Kragarm


Abmessungen Mat./Querschnitt	Feld [m]	Material	b/h [cm]
K1	0.34	NH C24	7.0/19.0
1	2.93		

Auflager	Lager	x [m]	z [m]	$K_{T,z}$ fest	$K_{T,x}$ fest
	A	0.34	0.07		
	B	3.27	0.63		frei

Dachneigung
Sparrenabstand

$$\begin{aligned} \text{Dachneigungswinkel} & \delta = 11.0^\circ \\ \text{Abstand} & a = 0.55 \text{ m} \end{aligned}$$

Einwirkungen

Gk	Ständige Einwirkungen			
Qk.S	Schnee- und Eislasten für Norddeutsches Tiefland			LG 98
	Qk.S (min/max Werte)			
	Qk.S.A Fall (i)			
Qk.W	Windlasten			LG 99
	Qk.W (min/max Werte)			
	Qk.W.000 Anströmrichtung $\theta = 0^\circ$			

Qk.w.090 Anströmrichtung $\theta = 90^\circ$
 Qk.w.180 Anströmrichtung $\theta = 180^\circ$
 Qk.w.270 Anströmrichtung $\theta = 270^\circ$

Nordd. Tiefland Aufgrund der Gebäudelage im norddeutschen Tiefland wird die Einwirkung Qk.S nach DIN 1055-5 (07/05), Abs. 4.1 zusätzlich als außergewöhnliche Einwirkung mit 2.3-fachen Lastwerten berücksichtigt.

wind/Schnee

Dachform

Pultdach							
Dachüberstand Traufe links				$\ddot{u}_1 = 0.34$			m
Dachüberstand Giebel vorn				$\ddot{u}_{Gv} = 0.30$			m
Dachüberstand Giebel hinten				$\ddot{u}_{Gh} = 0.30$			m

Gebäudeabmessungen

Breite (Giebel)		$B = 2.93$					
Länge (Traufe)		$L = 11.10$					m
Höhe (First)		$H = 5.10$					m

Bauteillage

Ortgangabstand		$a_{ov} = 2.00$					
----------------	--	-----------------	--	--	--	--	--

geograf. Angaben

Gelände über Meeresniveau		$A = 15.00$	mü NN				
Gebäudestandort: Binnenland							

windlasten

Windzone 4, nach DIN EN 1991-1-4:2010-12							
Geschwindigkeitsdruck				$q_p = 0.95 \text{ kN/m}^2$			
$e_B/10 = 1.02 \text{ m}$				$e_B/4 = 2.55 \text{ m}$			
$e_L/10 = 0.33 \text{ m}$				$e_L/4 = 0.82 \text{ m}$			

für Unterkonstruktion mit				$A = 1.83 \text{ m}^2$			
B.	$C_{pe,0}$	$C_{pe,90}$	$C_{pe,180}$	$C_{pe,270}$	$We,0$	$We,90$	$We,180$
				$[-]$			$We,270$
D	0.95	0.93		0.93	0.90	0.88	0.88
E		-0.46	-0.53	-0.46		-0.44	-0.50
F	0.12		-2.61		0.11		-2.48
H	0.12	-1.07	-1.11	-1.07	0.11	-1.02	-1.06
I		-0.84		-0.84		-0.80	-0.80

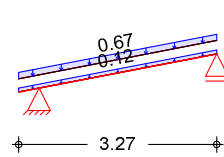
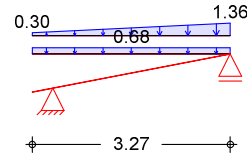
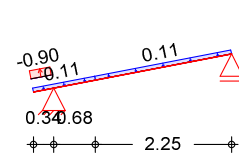
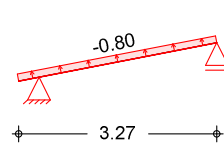
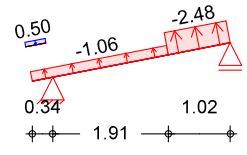
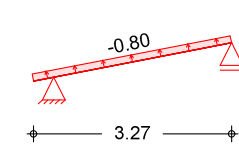
für Lastweiterleitung mit				$A \geq 10.00 \text{ m}^2$			
B.	$C_{pe,0}$	$C_{pe,90}$	$C_{pe,180}$	$C_{pe,270}$	$We,0$	$We,90$	$We,180$
				$[-]$			$We,270$
D	0.80	0.73		0.73	0.76	0.69	0.69
E		-0.36	-0.50	-0.36		-0.34	-0.47
F	0.12		-2.42		0.11		-2.30
H	0.12	-0.72	-0.86	-0.72	0.11	-0.68	-0.82
I		-0.62		-0.62		-0.59	-0.59

Schneelasten

Schneelastzone 2, nach DIN EN 1991-1-3:2010-12							
char. Schneelast auf dem Boden			$s_k = 0.85 \text{ kN/m}^2$				

Lastbild	μ_1						
(i)		0.80					

$\frac{s_1}{0.68}$

Belastungen
Belastungen auf das System
Grafik
Belastungsgrafiken (Einwirkungsbezogen)
Einwirkungen
Gk

Qk.S.A

Qk.w.000

Qk.w.090

Qk.w.180

Qk.w.270

**Flächenlasten
in z-Richtung**
Trapezflächenlasten
Feld Richt. Komm.

- Einw. Gk
- Einw. Qk.S.A
- Einw. Qk.w.000
- Einw. Qk.w.090
- Einw. Qk.w.180
- Einw. Qk.w.270

		a [m]	s [m]	qu [kN/m ²]	q ₀ [kN/m ²]
(a)	K1 vert.DF Eigengew	0.00	3.27		0.12
	K1 vert.DF Eindeck.	0.00	3.27		0.67
	K1 vert.GF Volllast	0.00	3.27		0.68
	K1 vert.GF	0.00	3.27	0.30	1.36
Einw. Qk.w.090	K1 lokal Ber. D	0.00	0.34		-0.90
	K1 lokal Ber. F	0.00	1.02		0.11
	1 lokal Ber. H	0.69	2.25		0.11
	K1 lokal Ber. I	0.00	3.27		-0.80
Einw. Qk.w.180	K1 lokal Ber. E	0.00	0.34		0.50
	1 lokal Ber. F	1.91	1.02		-2.48
	K1 lokal Ber. H	0.00	2.25		-1.06
	K1 lokal Ber. I	0.00	3.27		-0.80
(a)	Unterdecke		0.2	=	0.20 kN/m ²
	Dämmung		0.2	=	0.20 kN/m ²
	Schalung		0.1	=	0.10 kN/m ²
	Abklebung		0.17	=	0.17 kN/m ²
				=	0.67 kN/m ²

lokal: lokale Belastung orthogonal zur Dachfläche

vert.DF: vertikale Belastung bezogen auf die Dachfläche

vert.GF: vertikale Belastung bezogen auf die Grundfläche

Kombinationen
**Kombinationsbildung nach DIN EN 1990
Darstellung der maßgebenden Kombinationen**

- ständig/vorüberg.
- quasi-ständig
- selten
- Brand

E_k KLED $\Sigma (\gamma * \psi * E_w)$

2 ku	1.35*Gk	+1.50*Qk.S.A	
7 ku	1.35*Gk	+1.50*Qk.S.A	+0.90*Qk.w.000
30	1.00*Gk		
35	1.00*Gk	+1.00*Qk.w.180	
37	1.00*Gk	+1.00*Qk.S.A	+0.60*Qk.w.000
76	1.00*Gk	+0.20*Qk.S.A	

ku: kurz

Bem.-schnittgrößen **Bemessungsschnittgrößen**

Tabelle **Schnittgrößen (je Kombination)**

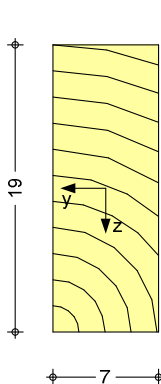
	Feld	x [m]	N _d [kN/m]	M _{y,d} [kNm/m]	V _{z,d} [kN/m]
Komb. 2	K1	0.00	0.00*	0.00*	0.00*
		0.34	0.17*	-0.15*	-0.87*
	1	0.00	-0.90*	-0.15*	4.65*
		1.60	0.03	3.62*	-0.14
		2.98	1.02*	0.00	-5.23*
Komb. 7	K1	0.00	0.00*	0.00*	0.00*
		0.34	0.17*	-0.11*	-0.63*
	1	0.00	-0.87*	-0.11*	4.79*
		1.60	0.06	3.75*	-0.16
		2.98	1.05*	0.00	-5.40*
Komb. 76	K1	0.00	0.00*	0.00*	0.00*
		0.34	0.06*	-0.06*	-0.33*
	1	0.00	-0.31*	-0.06*	1.58*
		1.49	-0.01	1.17*	0.04
		2.98	0.32*	0.00	-1.64*

Mat./Querschnitt **Material- und Querschnittswerte nach DIN EN 1995-1-1**

Material	Material	f _{mk}	f _{t0k}	f _{c0k} [N/mm ²]	f _{c90k}	f _{vk}	E _{mean}
<i>NH C24</i>		24.0	14.0	21.0	2.5	4.0	11000
Querschnitt	Art	b [cm]	h [cm]	A [cm ²]			
	RE	7.0	19.0	133			4001

RE: Rechteckquerschnitt

Grafik



M 1:5

Querschnittsgrafik

Brandfall

vierseitige Brandbeanspruchung
Feuerwiderstandsdauer t_{req} = 30 min
Abbrandrate β_n = 0.80 mm/min

Querschnittswerte
Restquerschnitt

d _{char,n} [cm]	b _r [cm]	h _r [cm]	p [cm]	A _r [cm ²]	I _{y,r} [cm ⁴]
2.4	2.2	14.2	32.8	31.2	524.9

Nutzungsklasse 2

<u>Nachweise (GZT)</u>	Nachweise im Grenzzustand der Tragfähigkeit nach DIN EN 1995-1-1							
<u>Biegung</u>	Nachweis der Biegetragfähigkeit							
6.1	x	E _k	k _{mod}	N _d	σ _{0,d}	f _{0,d}	η	
Kragarm links	[m]		M _{yd}	[N/mm ²]	f _{my,d}	[-]		
	(L = 0.34 m, k _{c,y} = 1.00)							
	0.34	2	0.90	0.09	0.01	9.69		
Feld 1				-0.08	0.19	16.62	0.01*	
	(L = 2.98 m, k _{c,y} = 0.75)							
	1.56	7	0.90	0.02	0.00	9.69		
				2.06	4.90	16.62	0.30*	
<u>Querkraft</u>	Nachweis der Querkrafttragfähigkeit							
6.1.7	x	E _k	k _{mod}	V _{z,d}	τ _d	f _{v,d}	η	
Kragarm links	[m]			[kN]	[N/mm ²]	[N/mm ²]	[-]	
Feld 1	0.34	2	0.90	-0.48	0.11	2.77	0.04*	
	2.98	7	0.90	-2.97	0.67	2.77	0.24*	
<u>Stabilität (BDK)</u>	Nachweis der Stabilität							
6.3	Der Einfluss der Stabilität ist im Nachweis der Biegetragfähigkeit enthalten. Folgende Ersatzstablängen werden berücksichtigt.							
Ersatzstablängen				l		l _{ef,cy}		
				[m]		[m]		
Kragarm links				0.34		0.68		
Feld 1				2.98		2.98		
<u>Biegung</u>	Nachweis der Biegetragfähigkeit (geschwächter Querschnitt)							
6.1	t	E _k	k _{mod}	N _d	σ _{0,d}	f _{0,d}	η	
Auflager A	[cm]		M _{yd}	[N/mm ²]	f _{my,d}	[-]		
	3.0	2	0.90	0.09	0.01	9.69		
				-0.08	0.27	16.62	0.02	
<u>Querkraft</u>	Nachweis der Querkrafttragfähigkeit (geschwächter Querschnitt)							
6.1.7	t	E _k	k _{mod}	V _{z,d}	τ _d	f _{v,d}	η	
Auflager A	[cm]			[kN]	[N/mm ²]	[N/mm ²]	[-]	
	3.0	7	0.90	2.63	0.70	2.77	0.25	
<u>Nachweise (Brand)</u>	Nachweise der Feuerwiderstandsfähigkeit nach DIN EN 1995-1-2							
Brandfall	vierseitige Brandbeanspruchung Feuerwiderstandsdauer t _{req} = 30 min							
<u>Biegung</u>	Nachweis der Biegetragfähigkeit							
6.1	x	E _k	k _{mod,fi}	N _{d,fi}	σ _{0,d,fi}	f _{0,d,fi}	η	
Kragarm links	[m]		M _{yd,fi}	[N/mm ²]	f _{my,d,fi}	[-]		
	(L = 0.34 m, k _{c,y} = 1.00)							
	0.34	76	0.68	0.04	0.01	11.93		
Feld 1			0.48	-0.03	0.42	14.25	0.03*	
	(L = 2.98 m, k _{c,y} = 0.92)							

x	Ek	k _{mod,fi}	N _{d,fi}	σ _{0,d,fi}	f _{0,d,fi}	η
[m]		[-]	M _{yd,fi} [kNm]	[N/mm ²]	f _{my,d,fi} [N/mm ²]	[-]
1.51	76	0.16	0.00	0.00	4.20	
		0.48	0.64	8.72	14.25	0.61*

Querkraft 6.1.7

Nachweis der Querkrafttragfähigkeit	x	Ek	k _{mod,fi}	V _{z,d,fi}	τ _{d,fi}	f _{v,d,fi}	η
	[m]		[-]	[kN]	[N/mm ²]	[N/mm ²]	[-]
Kragarm links	0.34	76	0.48	-0.18	0.18	2.38	0.07*
Feld 1	2.98	76	0.48	-0.90	0.86	2.38	0.36*

Stabilität (BDK) 6.3

Nachweis der Stabilität
Der Einfluss der Stabilität ist im Nachweis der Biegetragfähigkeit enthalten. Folgende Ersatzstablängen werden berücksichtigt.

Ersatzstablängen

	l	l _{ef,cy}
	[m]	[m]
Kragarm links	0.34	0.68
Feld 1	2.98	2.98

Nachweise (GZG)

Nachweise im Grenzzustand der Gebrauchstauglichkeit nach DIN EN 1995-1-1

Verformungen

7.2

Nachweise der Verformungen

x	Ek	Norm	w _{vorh}	w _{zu l}	η
[m]			[mm]	[mm]	[-]
(L = 0.34 m, NKL 2, k _{def} = 0.80)					
0.00	35	Winst	0.3	1/150=	2.3 0.13*
0.00	35	Wfin	-	1/100=	3.4 0.00*
(L = 2.98 m, NKL 2, k _{def} = 0.80)					
1.51	37	Winst	3.0	1/300=	9.9 0.30*
1.51	37	Wfin	3.8	1/200=	14.9 0.25*
1.50	30	W _{net,fin}	1.7	1/300=	9.9 0.18*

Negative Verformungen wurden zur Bemessung nicht berücksichtigt.

Auflagerkräfte

je 1fd. m (Windlasten mit c_{pe,10})

charakterist. Wert

Einwirk.

	A _{v,k}	A _{h,k}	B _{v,k}
	[kN/m]	[kN/m]	[kN/m]
Gk	1.47	0.00	1.16
Qk.S.A	2.43	0.00	2.50
Qk.w.000	-0.07	-0.02	0.19
Qk.w.090	-1.04	0.37	-0.88
Qk.w.180	-1.49	0.78	-2.53
Qk.w.270	-1.04	0.37	-0.88

Ankerkräfte

je Sparren (Windlasten mit c_{pe,A})

Lasteinzugsfläche des Sparren

A = 1.83 m²

Bemessungswert
Grundkomb. (Lages.)

Ek
maßgeb.

A_{v,d}
[kN]

A_{h,d}

[kN]

B_{v,d}

[kN]

49	-0.67	0.76!	-1.64
63	-0.84!	0.76	-1.77!

! abhebende Ankerkraft ist gesondert nachzuweisen

Bemessungswert außerg. K. (Lages.)	E_k^A maßgeb.	$A_{v,d}^A$ [kN]	$A_{h,d}^A$ [kN]	$B_{v,d}^A$ [kN]
	73	3.87	0.00	3.81
	74	3.83	0.00	3.78

Es treten keine abhebenden Ankerkräfte auf.

Zusammenfassung

Zusammenfassung der Nachweise

Nachweise (GZT)

Nachweise im Grenzzustand der Tragfähigkeit

Nachweis	Feld	x	[m]	η
Biegung	Feld 1	1.56	OK	0.30
Querkraft	Feld 1	2.98	OK	0.24
Biegung	Auflager A		OK	0.02
Querkraft	Auflager A		OK	0.25

Nachweise (Brand)

Brandfall im Grenzzustand der Tragfähigkeit

Nachweis	Feld	x	[m]	η
Biegung	Feld 1	1.51	OK	0.61
Querkraft	Feld 1	2.98	OK	0.36

Nachweise (GZG)

Nachweise im Grenzzust. der Gebrauchstauglichkeit

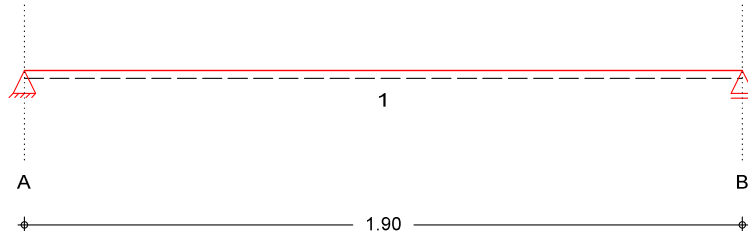
Nachweis	Feld	x	[m]	η
Anfangsdurchbiegung	Feld 1	1.51	OK	0.30
Enddurchbiegung	Feld 1	1.51	OK	0.25
gesamte Enddurchbiegung	Feld 1	1.50	OK	0.18

Pos. 1.20
Stürze DG

Es sind zwei Blockbohlen b/d=7,0/13,6 cm einzubauen und mit Fermacell (F30) oder Brandschutzfarbe (F30) zu versiegeln.

System
Holz-Einfeldträger

M 1:20


Abmessungen / Nutzungsklassen

Feld	l [m]	$l_{ef,m}$ [m]	NKL
1	1.90	1.90	2

Auflager

Aufl.	x [m]	b [cm]	Transl. [kN/m]	Rotat. [kNm/rad]
A	0.00	7.00	starr	frei
B	1.90	7.00	starr	frei

Material

Nadelholz C24

Querschnitt

b/h = 7/13.6 cm

Einwirkungen

Gk
Qk.w

Ständige Einwirkungen

windlasten

LG 98

Qk.w	(min/max Werte)
Qk.w.000	Anströmrichtung $\theta = 0^\circ$
Qk.w.090	Anströmrichtung $\theta = 90^\circ$
Qk.w.180	Anströmrichtung $\theta = 180^\circ$
Qk.w.270	Anströmrichtung $\theta = 270^\circ$

Qk.s

Schnee- und Eislasten für Orte bis NN + 1000 m LG 99

Qk.S	(min/max Werte)
Qk.S.A	Fall (i)

Erläuterungen

Gruppen (LG)

Einwirkungen, die der gleichen Lastgruppe zugeordnet werden, können nicht gleichzeitig auftreten.

Belastungen

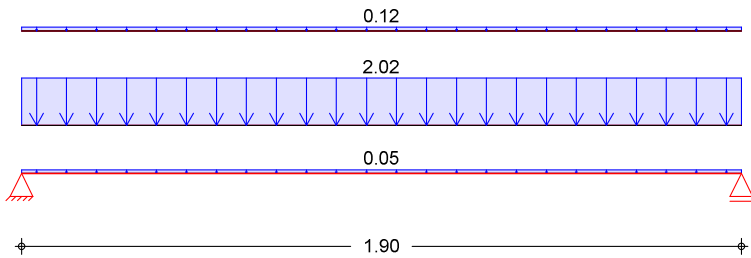
Belastungen auf das System

Grafik

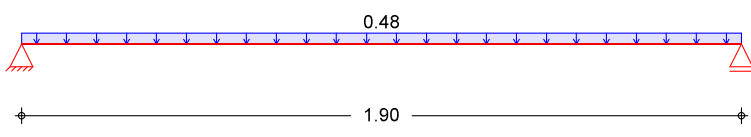
Belastungsgrafiken (Einwirkungsbezogen)

Einwirkung

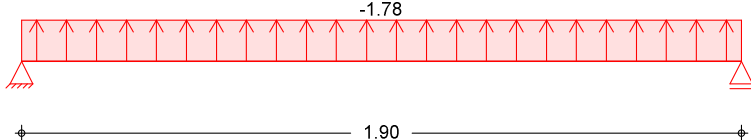
Gk



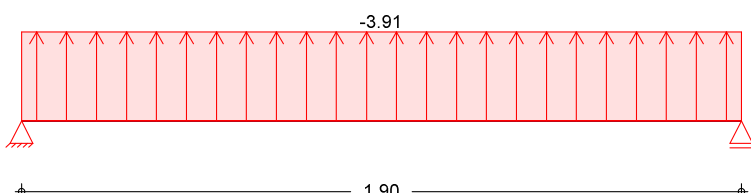
Qk.w.000



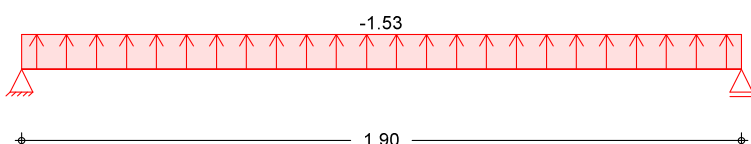
Qk.w.090



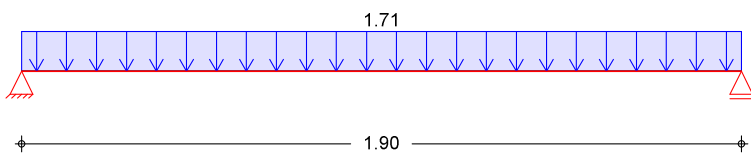
Qk.w.180



Qk.w.270



Qk.S.A



<u>Streckenlasten</u> in z-Richtung	Feld Komm.	Gleichlasten			
		a [m]	s [m]	q _{1i} [kN/m]	q _{re} [kN/m]
Einw. Gk	1 Eigengew	0.00	1.90	0.05	
(a)	1	0.00	1.90	2.02	
(b)	1	0.00	1.90	0.12	
Einw. Qk.w.000					
Einw. Qk.w.090	(a)	0.00	1.90	0.48	
Einw. Qk.w.180	(a)	0.00	1.90	-1.78	
Einw. Qk.w.270	(a)	0.00	1.90	-3.91	
Einw. Qk.S.A	(a)	0.00	1.90	-1.53	
		1	0.00	1.71	
(a)	aus Pos. '1.10', Lager 'B' (Seite 13)				
(b)	Dämmung		0.3*0.2 =	0.06	kn/m
	Fermacell		0.3*0.2 =	0.06	kn/m
			=	0.12	kn/m

Kombinationen Kombinationsbildung nach DIN EN 1990
Darstellung der maßgebenden Kombinationen

	E _k	KLED	$\sum (\gamma * \psi * Ew)$
ständig/vorüberg.	20	ku	1.35*Gk +0.90*Qk.w.000+1.50*Qk.S.A
selten	39		1.00*Gk +0.60*Qk.w.000+1.00*Qk.S.A
quasi-ständig	53		1.00*Gk +0.60*Qk.w.000+1.00*Qk.S.A
	57		1.00*Gk

ku: kurz

Bem.-schnittgrößen Bemessungsschnittgrößen

Tabelle Schnittgrößen (Umhüllende)

Feld 1	x [m]	M _{y,d,min} [kNm]	E _k	M _{y,d,max} [kNm]	E _k	V _{z,d,min} [kN]	E _k	V _{z,d,max} [kN]	E _k
	0.00	0.00	-	0.00	-	5.65	20	5.65	20
	0.95	2.68	20	2.68	20	0.00	-	0.00	-
	1.90	0.00	-	0.00	-	-5.65	20	-5.65	20

Mat./Querschnitt nach DIN EN 1995-1-1

Materialien	Holz	f _{m,k}	f _{t0k}	f _{c0k}	f _{c90k} [N/mm ²]	f _{vk}	E _{0mean}
	NH C24	24.0	14.0	21.0	2.5	4.0	11000

Querschnittswerte	b [cm]	h [cm]	A [cm ²]	I _y [cm ⁴]
	7.0	13.6	95.2	1467.3

Nachweise (GZT) Nachweise im Grenzzustand der Tragfähigkeit nach DIN EN 1995-1-1

Biegung

6.1

Feld 1

Nachweis der Biegetragfähigkeit

x [m]	Ek	k _{mod} [-]	M _{yd} [kNm]	[N/mm ²]	σ _{m,d} [N/mm ²]	f _{m,d} [-]	η
(L = 1.90 m, k _{crit} = 1.00) 0.95	20	0.90	2.68	12.44	16.62	0.75*	

Querkraft

6.1.7

Feld 1

Nachweis der Querkrafttragfähigkeit

x [m]	Ek	k _{mod} [-]	V _{z,d} [kN]	[N/mm ²]	τ _d [N/mm ²]	f _{v,d} [-]	η
0.16 1.74	20	0.90 0.90	4.70 -4.70	1.48 1.48	2.77 2.77	0.54 0.54*	

Stabilität (BDK)

6.3

Nachweis der Stabilität

Der Einfluss der Stabilität ist im Nachweis der Biegetragfähigkeit enthalten. Folgende Ersatzstablängen werden berücksichtigt.

Ersatzstablängen

	l [m]	l _{ef,cy} [m]	l _{ef,cz} [m]	l _{ef,m} [m]
Feld 1	1.90	0.00	0.00	1.90

Auflagerpressung

6.1.5

Auflager A
Auflager B

Nachweis der Auflagerpressung

Ek	k _{mod} [-]	F _d [kN]	A _{ef} [cm ²]	k _{c90} [-]	σ _{c90d} [N/mm ²]	f _{c90d} [N/mm ²]	η
20	0.90	5.65	70.0	1.00	0.81	1.73	0.47
20	0.90	5.65	70.0	1.00	0.81	1.73	0.47

Nachweise (GZG)

Nachweise im Grenzzustand der Gebrauchstauglichkeit nach DIN EN 1995-1-1

Verformungen

7.2

Feld 1

Nachweise der Verformungen

x [m]	Ek	Norm	w _{vorh} [mm]	w _{zu l} [mm]	η
(L = 1.90 m, NKL 2, k _{def} = 0.80) 0.95	39	Winst	4.4	1/300=	6.3 0.69
0.95	53	Wfin	6.2	1/200=	9.5 0.66
0.95	57	Wnet, fin	4.1	1/300=	6.3 0.65

Auflagerkräfte

Auflagerkräfte Träger

char. Auflagerkr.

charakteristische Auflagerkräfte (je Einwirkung)

Einw. Gk

Aufl.	F _{z,min} [kN]	F _{z,max} [kN]
A	2.08	2.08
B	2.08	2.08

Einw. Qk.w.000

A	0.45	0.45
B	0.45	0.45

Einw. Qk.w.090

A	-1.69	-1.69
B	-1.69	-1.69

Einw. Qk.w.180

A	-3.72	-3.72
B	-3.72	-3.72

Einw. Qk.w.270

A	-1.46	-1.46
B	-1.46	-1.46

Einw. Qk.s.A

A	1.62	1.62
B	1.62	1.62

Zusammenfassung

Zusammenfassung der Nachweise

Nachweise (GZT)

Nachweise im Grenzzustand der Tragfähigkeit

Nachweis	Feld/Auflager	x [m]	η [-]
Biegung	Feld 1	0.95	OK 0.75
Querkraft	Feld 1	1.74	OK 0.54
Auflagerpressung	Auflager A		OK 0.47

Nachweise (GZG)

Nachweise im Grenzzust. der Gebrauchstauglichkeit

Nachweis	Feld	x [m]	η [-]
Anfangsdurchbieg.	Feld 1	0.95	OK 0.69
Enddurchbiegung	Feld 1	0.95	OK 0.66
gesamte Enddurchb.	Feld 1	0.95	OK 0.65

Pos. 2.10
Deckenbalken 1

Auf einen Schwingungsnachweis wird auf Grund untergeordneter Räume im OG verzichtet. Der Bauherr ist hierauf hinzuweisen und durch ihn bestätigen zu lassen.

Die Deckenbalken sind mit Brandschutzfarbe F30 zu streichen.

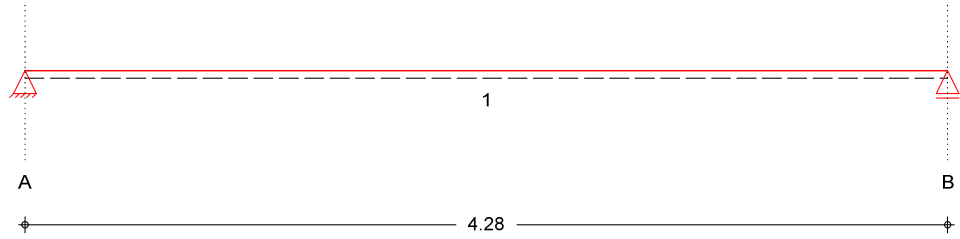
Die Deckenbalken sind an der Blockbohlenwand mittels Wandbalken b/d=4,4/12 cm aufzulagern. Der Wandbalken ist alle 10 cm mittels vollgewindeschraube Ø 5 mm mit der Wand zu verbinden

$$\text{vorh. } N = 7,62 \times 0,10 = 0,762 \text{ KN} \leq \text{zul. } N = 0,932 \text{ KN}$$

Verankerungslänge l ≥ 40 mm

System
Holz-Einfeldträger

M 1:35


Abmessungen / Nutzungsklassen

Feld	l [m]	l _{ef,m} [m]	NKL
1	4.28	4.28	2

Auflager

Aufl.	x [m]	b [cm]	Transl. [kN/m]	Rotat. [kNm/rad]
A	0.00	7.00	starr	frei
B	4.28	7.00	starr	frei

Material

Nadelholz C24

Querschnitt / Balkenabstand

b/h = 7/17 cm; a = 0.40 m

Einwirkungen

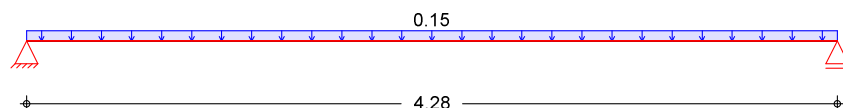
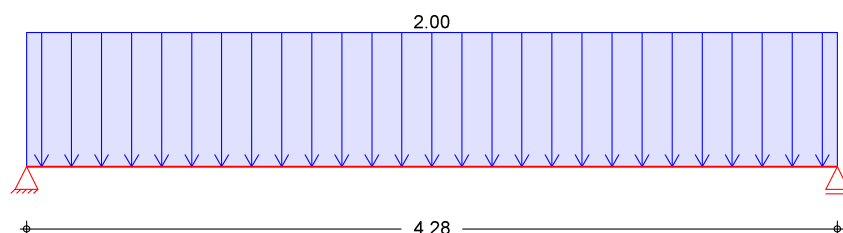
GK
Qk.N

Ständige Einwirkungen
Kategorie A - Wohn- und Aufenthaltsräume

fw

Erläuterungen

feldweise (fw)
Die Lasten der Einwirkung werden als feldweise wirkend aufgeteilt.

Belastungen
Belastungen auf das System
Grafik
Belastungsgrafiken (Einwirkungsbezogen)
Einwirkung
Gk

Qk.N

**Streckenlasten
in z-Richtung**
**Gleichlasten
Feld Komm.**
Einw. Gk

	a	s	q_{1i}	q_{re}
1	Eigengew	0.00	4.28	0.15
1		0.00	4.28	0.27
1		0.00	4.28	2.00

Einw. Qk.N
**Schalung
Belag**

(a)	$0.028 * 6 =$	0.17	kn/m
	$0.1 =$	0.10	kn/m
	$=$	0.27	kn/m

Kombinationen
**Kombinationsbildung nach DIN EN 1990
Darstellung der maßgebenden Kombinationen**
ständig/vorüberg.
E_k KLED $\Sigma (\gamma * \psi * E_W)$

$$+1.50 * Q_k.N \\ (1)$$

selten
6

$$+1.00 * Q_k.N$$

8

$$+1.00 * Q_k.N$$

10

$$+0.30 * Q_k.N$$

quasi-ständig
mi: mittel
Bem.-schnittgrößen
Bemessungsschnittgrößen

Tabelle
Schnittgrößen (Umhüllende)

	x [m]	M _{y,d,min} [kNm/m]	E _k	M _{y,d,max} [kNm/m]	E _k	V _{z,d,min} [kN/m]	E _k	V _{z,d,max} [kN/m]	E _k
Feld 1	0.00	0.00	-	0.00	-	7.62	3	7.62	3
	2.14	8.16	3	8.16	3	0.00	-	0.00	-
	4.28	0.00	-	0.00	-	-7.62	3	-7.62	3
<u>Mat./Querschnitt</u> nach DIN EN 1995-1-1									
Materialien	Holz	f _{m,k}	f _{t0k}	f _{c0k}	f _{c90k}	[N/mm ²]	f _{vk}	E _{0mean}	
	NH C24	24.0	14.0	21.0	2.5		4.0	11000	
Querschnittswerte	b [cm]		h [cm]		A [cm ²]			I _y [cm ⁴]	
	7.0		17.0		119.0			2865.9	

Nachweise (GZT)

Nachweise im Grenzzustand der Tragfähigkeit nach DIN EN 1995-1-1

Biegung
6.1

Nachweis der Biegetragfähigkeit

Feld 1

x [m]	E _k	k _{mod} [-]	M _{yd} [kNm]	σ _{m,d} [N/mm ²]	f _{m,d} [N/mm ²]	η
(L = 4.28 m, k _{crit} = 0.97)	2.14	3	0.80	3.26	9.68	14.77 0.67*

Querkraft
6.1.7

Nachweis der Querkrafttragfähigkeit

Feld 1

x [m]	E _k	k _{mod} [-]	V _{z,d} [kN]	τ _d [N/mm ²]	f _{v,d} [N/mm ²]	η
0.19	3	0.80	2.77	0.70	2.46	0.28

Stabilität (BDK)
6.3

Nachweis der Stabilität

Der Einfluss der Stabilität ist im Nachweis der Biegetragfähigkeit enthalten. Folgende Ersatzstablängen werden berücksichtigt.

Ersatzstablängen

	l [m]	l _{ef,cy} [m]	l _{ef,cz} [m]	l _{ef,m} [m]
Feld 1	4.28	0.00	0.00	4.28

Auflagerpressung
6.1.5

Nachweis der Auflagerpressung

Auflager A
Auflager B

E _k	k _{mod} [-]	F _d [kN]	A _{ef} [cm ²]	k _{c90} [-]	σ _{c90d} [N/mm ²]	f _{c90d} [N/mm ²]	n
3	0.80	3.05	70.0	1.50	0.44	2.31	0.19
3	0.80	3.05	70.0	1.50	0.44	2.31	0.19

Nachweise (GZG)

Nachweise im Grenzzustand der Gebrauchstauglichkeit nach DIN EN 1995-1-1

Verformungen
7.2

Nachweise der Verformungen

Feld 1

x [m]	E _k	Norm	W _{vorh} [mm]	W _{zu l} [mm]	η
(L = 4.28 m, NKL 2, k _{def} = 0.80)					
2.14	6	W _{inst}	13.4	1/300=	14.3 0.94
2.14	8	W _{fin}	17.9	1/199=	21.4 0.84
2.14	10	W _{net,fin}	10.1	1/300=	14.3 0.71

Negative Verformungen wurden zur Bemessung nicht berücksichtigt.

Auflagerkräfte Auflagerkräfte Träger

Char. Auflagerkr.	charakteristische Auflagerkräfte (je Einwirkung)		
	Aufl.	$F_{z,\min}$ [kN/m]	$F_{z,\max}$ [kN/m]
Einw. G_k	A	0.89	0.89
	B	0.89	0.89
Einw. $Q_k.N$	A	4.28	4.28
	B	4.28	4.28

Bem.-auflagerkräfte	Bemessungsaufklagerkräfte (maßgeb. Kombinationen)	
	Aufl.	F_z [kN/m]
Komb. 3	A	7.62
	B	7.62

Zusammenfassung Zusammenfassung der Nachweise

Nachweise (GZT) Nachweise im Grenzzustand der Tragfähigkeit

Nachweis	Feld/Auflager	x [m]	η [-]
Biegung	Feld 1	2.14	OK 0.67
Querkraft	Feld 1	0.19	OK 0.28
Auflagerpressung	Auflager A		OK 0.19

Nachweise (GZG) Nachweise im Grenzzust. der Gebrauchstauglichkeit

Nachweis	Feld	x [m]	η [-]
Anfangsdurchbieg.	Feld 1	2.14	OK 0.94
Enddurchbiegung	Feld 1	2.14	OK 0.84
gesamte Enddurchb.	Feld 1	2.14	OK 0.71

Pos. 2.11
Deckenbalken 2

Auf einen Schwingungsnachweis wird auf Grund untergeordneter Räume im OG verzichtet. Der Bauherr ist hierauf hinzuweisen und durch ihn bestätigen zu lassen.

Die Deckenbalken sind mit Brandschutzfarbe F30 zu streichen.

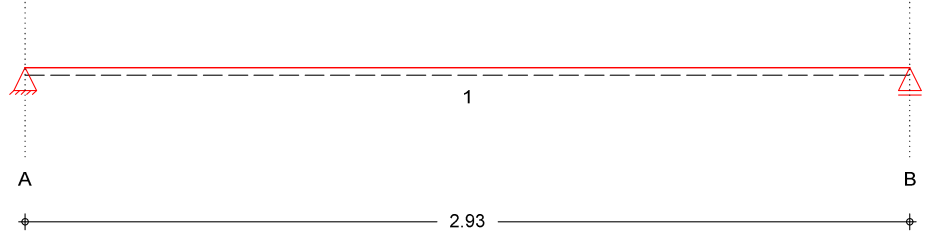
Die Deckenbalken sind an der Blockbohlenwand mittels Wandbalken b/d=4,4/12 cm aufzulagern. Der Wandbalken ist alle 15 cm mittels vollgewindeschraube Ø 5 mm mit der Wand zu verbinden

$$\text{vorh. } N = 5,22 \times 0,15 = 0,783 \text{ KN} \leq \text{zul. } N = 0,932 \text{ KN}$$

Verankerungslänge l ≥ 40 mm

System
Holz-Einfeldträger

M 1:25


Abmessungen / Nutzungsklassen

Feld	l [m]	l _{ef,m} [m]	NKL
1	2.93	2.93	2

Auflager

Aufl.	x [m]	b [cm]	Transl. [kN/m]	Rotat. [kNm/rad]
A	0.00	7.00	starr	frei
B	2.93	7.00	starr	frei

Material

Nadelholz C24

Querschnitt / Balkenabstand

b/h = 7/17 cm; a = 0.52 m

Einwirkungen

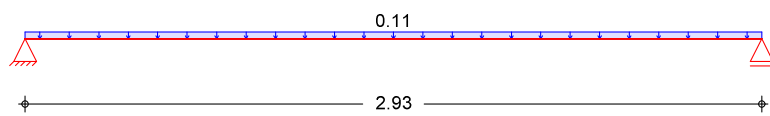
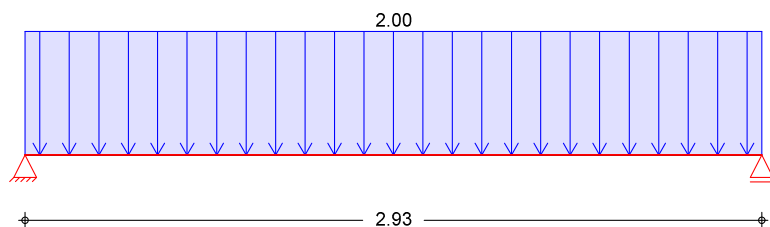
GK
Qk.N

Ständige Einwirkungen
Kategorie A - Wohn- und Aufenthaltsräume

fw

Erläuterungen

feldweise (fw)
Die Lasten der Einwirkung werden als feldweise wirkend aufgeteilt.

Belastungen
Belastungen auf das System
Grafik
Belastungsgrafiken (Einwirkungsbezogen)
Einwirkung
Gk

Qk.N

**Streckenlasten
in z-Richtung**
Gleichlasten
Feld Komm.

	a [m]	s [m]	q _{1i} [kN/m ²]	q _{re} [kN/m ²]
1 Eigengew	0.00	2.93		0.11
1	0.00	2.93		0.27
1	0.00	2.93		2.00

(a)
Schalung
Belag

$$0.028 * 6 = 0.17 \text{ kN/m}$$

$$0.1 = 0.10 \text{ kN/m}$$

$$= 0.27 \text{ kN/m}$$

Kombinationen
**Kombinationsbildung nach DIN EN 1990
Darstellung der maßgebenden Kombinationen**
ständig/vorüberg.
E_k KLED $\Sigma (\gamma * \psi * E_W)$

$$+1.50 * Q_k.N \\ (1)$$

selten

$$6 \quad 1.00 * G_k$$

$$+1.00 * Q_k.N \\ (1)$$

quasi-ständig

$$8 \quad 1.00 * G_k$$

$$+1.00 * Q_k.N \\ (1)$$

$$10 \quad 1.00 * G_k$$

$$+0.30 * Q_k.N \\ (1)$$

mi: mittel

Bem.-schnittgrößen
Bemessungsschnittgrößen

Tabelle
Schnittgrößen (Umhüllende)

	x [m]	M _{y,d,min} [kNm/m]	E _k	M _{y,d,max} [kNm/m]	E _k	V _{z,d,min} [kN/m]	E _k	V _{z,d,max} [kN/m]	E _k
Feld 1	0.00	0.00	-	0.00	-	5.15	3	5.15	3
	1.47	3.77	3	3.77	3	0.00	-	0.00	-
	2.93	0.00	-	0.00	-	-5.15	3	-5.15	3
<u>Mat./Querschnitt</u> nach DIN EN 1995-1-1									
Materialien	Holz	f _{m,k}	f _{t0k}	f _{c0k} [N/mm ²]	f _{c90k} [N/mm ²]	f _{vk}	E _{0mean}		
	NH C24	24.0	14.0	21.0	2.5	4.0	11000		
Querschnittswerte	b [cm]		h [cm]		A [cm ²]			I _y [cm ⁴]	
	7.0		17.0		119.0			2865.9	

Nachweise (GZT)

Nachweise im Grenzzustand der Tragfähigkeit nach DIN EN 1995-1-1

Biegung

6.1

Nachweis der Biegetragfähigkeit

Feld 1

x [m]	E _k	k _{mod} [-]	M _{yd} [kNm]	σ _{m,d} [N/mm ²]	f _{m,d} [N/mm ²]	η
(L = 2.93 m, k _{crit} = 1.00)						
1.47	3	0.80	1.96	5.82	14.77	0.39*

Querkraft

6.1.7

Nachweis der Querkrafttragfähigkeit

Feld 1

x [m]	E _k	k _{mod} [-]	V _{z,d} [kN]	τ _d [N/mm ²]	f _{v,d} [N/mm ²]	η
0.19	3	0.80	2.33	0.59	2.46	0.24
2.74	3	0.80	-2.33	0.59	2.46	0.24*

Stabilität (BDK)

6.3

Nachweis der Stabilität

Der Einfluss der Stabilität ist im Nachweis der Biegetragfähigkeit enthalten. Folgende Ersatzstablängen werden berücksichtigt.

Ersatzstablängen

	l [m]	l _{ef,cy} [m]	l _{ef,cz} [m]	l _{ef,m} [m]
Feld 1	2.93	0.00	0.00	2.93

Auflagerpressung

6.1.5

Nachweis der Auflagerpressung

Auflager A
Auflager B

E _k	k _{mod} [-]	F _d [kN]	A _{ef} [cm ²]	k _{c90} [-]	σ _{c90d} [N/mm ²]	f _{c90d} [N/mm ²]	n
3	0.80	2.68	70.0	1.50	0.38	2.31	0.17
3	0.80	2.68	70.0	1.50	0.38	2.31	0.17

Nachweise (GZG)

Nachweise im Grenzzustand der Gebrauchstauglichkeit nach DIN EN 1995-1-1

Verformungen

7.2

Nachweise der Verformungen

Feld 1

x [m]	E _k	Norm	W _{vorh} [mm]	W _{zu l} [mm]	η
(L = 2.93 m, NKL 2, k _{def} = 0.80)					
1.47	6	W _{inst}	3.8	1/300=	9.8 0.39
1.47	8	W _{fin}	5.0	1/199=	14.7 0.34
1.47	10	W _{net,fin}	2.8	1/300=	9.8 0.29

Negative Verformungen wurden zur Bemessung nicht berücksichtigt.

Auflagerkräfte Auflagerkräfte Träger

Char. Auflagerkr.	charakteristische Auflagerkräfte (je Einwirkung)		
	Aufl.	$F_{z,\min}$ [kN/m]	$F_{z,\max}$ [kN/m]
Einw. G_k	A	0.56	0.56
	B	0.56	0.56
Einw. $Q_k.N$	A	2.93	2.93
	B	2.93	2.93

Bem.-auflagerkräfte	Bemessungsaufgerkräfte (maßgeb. Kombinationen)		
	Aufl.	F_z [kN/m]	
Komb. 3	A	5.15	
	B	5.15	

Zusammenfassung Zusammenfassung der Nachweise

Nachweise (GZT) Nachweise im Grenzzustand der Tragfähigkeit

Nachweis	Feld/Auflager	x [m]	η [-]
Biegung	Feld 1	1.47	OK 0.39
Querkraft	Feld 1	2.74	OK 0.24
Auflagerpressung	Auflager A		OK 0.17

Nachweise (GZG) Nachweise im Grenzzust. der Gebrauchstauglichkeit

Nachweis	Feld	x [m]	η [-]
Anfangsdurchbieg.	Feld 1	1.47	OK 0.39
Enddurchbiegung	Feld 1	1.47	OK 0.34
gesamte Enddurchb.	Feld 1	1.47	OK 0.29

Pos. 2.12

Deckenbalken 3

Auf einen Schwingungsnachweis wird auf Grund untergeordneter Räume im OG verzichtet. Der Bauherr ist hierauf hinzuweisen und durch ihn bestätigen zu lassen.

Die Deckenbalken sind mit Brandschutzfarbe F30 zu streichen.

Die Deckenbalken sind an der Blockbohlenwand mittels Wandbalken b/d=4,4/12 cm aufzulagern. Der Wandbalken ist alle 30 cm mittels vollgewindeschraube Ø 5 mm mit der Wand zu verbinden

vorh. N = $2,23 \times 0,30 = 0,669 \text{ KN} \leq \text{zul. N} = 0,932 \text{ KN}$
Verankerungslänge l ≥ 40 mm

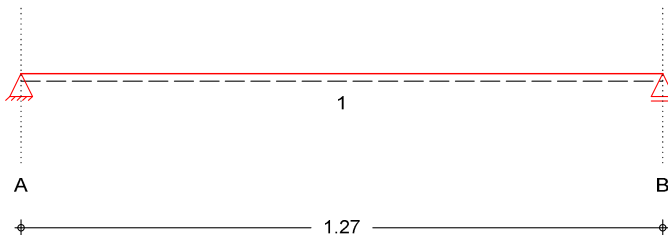
Befestigung am Wechsel mittels 2 vollgewindeschrauben Ø 5 mm.
Verankerungslänge l ≥ 80 mm

vorh. N = $2,23 \text{ KN} \times 0,52 = 1,16 \text{ KN} \leq \text{zul. N} = 2 \times 0,932 = 1,86 \text{ KN}$

System

Holz-Einfeldträger

M 1:15



Abmessungen / Nutzungsklassen

Feld	l [m]	l _{ef,m} [m]	NKL
1	1.27	1.27	2

Auflager

Aufl.	x [m]	b [cm]	Transl. [kN/m]	Rotat. [kNm/rad]
A	0.00	7.00	starr	frei
B	1.27	7.00	starr	frei

Material

Nadelholz C24

Querschnitt / Balkenabstand

$b/h = 7/17 \text{ cm}; a = 0.52 \text{ m}$

Einwirkungen

GK

Ständige Einwirkungen

Qk.N

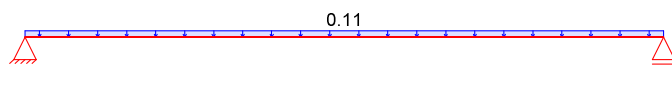
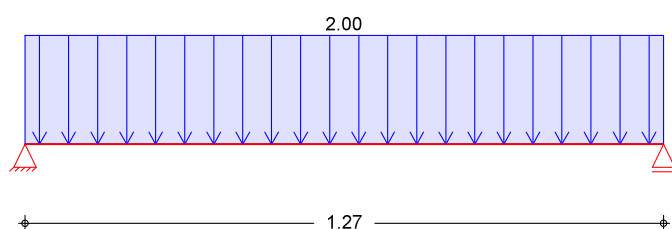
Kategorie A - Wohn- und Aufenthaltsräume

fw

Erläuterungen

feldweise (fw)

Die Lasten der Einwirkung werden als feldweise wirkend aufgeteilt.

Belastungen
Belastungen auf das System
Grafik
Belastungsgrafiken (Einwirkungsbezogen)
Einwirkung
Gk

Qk.N

Gleichlasten
Feld Komm.
Streckenlasten
in z-Richtung
Einw. Gk

	a [m]	s [m]	q _{1i} [kN/m ²]	q _{re} [kN/m ²]
1 Eigengew	0.00	1.27	0.11	
(a) 1	0.00	1.27		0.27
1	0.00	1.27		2.00

Einw. Qk.N
Schalung
Belag

$$0.028 * 6 = 0.17 \text{ kN/m}$$

$$0.1 = 0.10 \text{ kN/m}$$

$$= 0.27 \text{ kN/m}$$

Kombinationen
Kombinationsbildung nach DIN EN 1990
Darstellung der maßgebenden Kombinationen
ständig/vorüberg.
E_k KLED $\sum (\gamma * \psi * E_w)$

$$+1.50 * Q_k.N$$

(1)

selten
6 1.00 * Gk

$$+1.00 * Q_k.N$$

(1)

8 1.00 * Gk

$$+1.00 * Q_k.N$$

(1)

quasi-ständig
10 1.00 * Gk

$$+0.30 * Q_k.N$$

(1)

mi: mittel

Bem.-schnittgrößen
Bemessungsschnittgrößen
Tabelle
Schnittgrößen (Umhüllende)

Feld 1	x [m]	M _{y,d,min} [kNm/m]	E _k	M _{y,d,max} [kNm/m]	E _k	V _{z,d,min} [kN/m]	E _k	V _{z,d,max} [kN/m]	E _k
	0.00	0.00	-	0.00	-	2.23	3	2.23	3

x [m]	M _{y,d,min} [kNm/m]	E _k	M _{y,d,max} [kNm/m]	E _k	V _{z,d,min} [kN/m]	E _k	V _{z,d,max} [kN/m]	E _k
1.27	0.00	-	0.00	-	-2.23	3	-2.23	3

Mat./Querschnitt nach DIN EN 1995-1-1

Materialien	Holz	f _{m,k}	f _{t0k}	f _{c0k} [N/mm ²]	f _{c90k} [N/mm ²]	f _{vk}	E _{0mean}
NH C24		24.0	14.0	21.0	2.5	4.0	11000

Querschnittswerte	b [cm]	h [cm]	A [cm ²]	I _y [cm ⁴]
	7.0	17.0	119.0	2865.9

Nachweise (GZT) Nachweise im Grenzzustand der Tragfähigkeit nach DIN EN 1995-1-1

<u>Biegung</u> 6.1	Nachweis der Biegetragfähigkeit						
Feld 1	x [m]	E _k	k _{mod} [-]	M _{y,d} [kNm]	σ _{m,d} [N/mm ²]	f _{m,d} [N/mm ²]	η

(L = 1.27 m, k_{crit} = 1.00)
0.64 3 0.80 0.37 1.09 14.77 0.07*

<u>Querkraft</u> 6.1.7	Nachweis der Querkrafttragfähigkeit						
Feld 1	x [m]	E _k	k _{mod} [-]	V _{z,d} [kN]	τ _d [N/mm ²]	f _{v,d} [N/mm ²]	η

0.19 3 0.80 0.81 0.20 2.46 0.08
1.08 3 0.80 -0.81 0.20 2.46 0.08*

<u>Stabilität (BDK)</u> 6.3	Nachweis der Stabilität						
	l [m]	l _{ef,cy} [m]	l _{ef,cz} [m]	l _{ef,m} [m]			

Feld 1 1.27 0.00 0.00 1.27

<u>Auflagerpressung</u> 6.1.5	Nachweis der Auflagerpressung						
Auflager A	E _k	k _{mod} [-]	F _d [kN]	A _{ef} [cm ²]	k _{c90} [-]	σ _{c90d} [N/mm ²]	f _{c90d} [N/mm ²]

3 0.80 1.16 70.0 1.50 0.17 2.31 0.07

Auflager B	3 0.80 1.16 70.0 1.50 0.17 2.31 0.07
------------	--------------------------------------

<u>Nachweise (GZG)</u>	Nachweise im Grenzzustand der Gebrauchstauglichkeit nach DIN EN 1995-1-1						
	x [m]	E _k	Norm	w _{vorh} [mm]	w _{zu1} [mm]	η	

Feld 1 (L = 1.27 m, NKL 2, k_{def} = 0.80)
0.64 6 Winst 0.1 1/300= 4.2 0.03
0.64 8 Wfin 0.2 1/200= 6.4 0.03
0.64 10 Wnet,fin 0.1 1/300= 4.2 0.02

Negative Verformungen wurden zur Bemessung nicht berücksichtigt.

Auflagerkräfte **Auflagerkräfte Träger**

Char. Auflagerkr.	charakteristische Auflagerkräfte (je Einwirkung)		
		Aufl.	Aufl.
Einw. <i>Gk</i>		$F_{z,\min}$ [kN/m]	$F_{z,\max}$ [kN/m]
	A	0.24	0.24
	B	0.24	0.24
Einw. <i>Qk.N</i>			
	A	1.27	1.27
	B	1.27	1.27

Bem.-auflagerkräfte	Bemessungsaufklagerkräfte (maßgeb. Kombinationen)		
		Aufl.	Aufl.
Komb. 3		F_z [kN/m]	
	A	2.23	
	B	2.23	

Zusammenfassung **Zusammenfassung der Nachweise**

Nachweise (GZT) **Nachweise im Grenzzustand der Tragfähigkeit**

Nachweis	Feld/Auflager	x	η
Biegung	Feld 1	0.64	OK 0.07
Querkraft	Feld 1	1.08	OK 0.08
Auflagerpressung	Auflager A		OK 0.07

Nachweise (GZG) **Nachweise im Grenzzust. der Gebrauchstauglichkeit**

Nachweis	Feld	x	η
Anfangsdurchbieg.	Feld 1	0.64	OK 0.03
Enddurchbiegung	Feld 1	0.64	OK 0.03
gesamte Enddurchb.	Feld 1	0.64	OK 0.02

Pos. 2.13

Treppenwechsel

Auf einen Schwingungsnachweis wird auf Grund untergeordneter Räume im OG verzichtet. Der Bauherr ist hierauf hinzuweisen und durch ihn bestätigen zu lassen.

Die Deckenbalken sind mit Brandschutzfarbe F30 zu streichen.

Befestigung am Deckenbalken mittels 2 Vollgewindeschrauben Ø 5 mm.
Verankerungslänge $l \geq 60$ mm

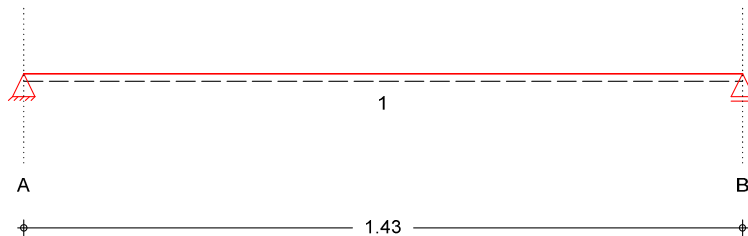
$$\text{vorh. } N = 1,65 \leq \text{zul. } N = 3 \times 0,932 = 2,80 \text{ KN}$$

Die Treppe ist so zu konstruieren, daß sie für sich auf der Gründung steht und **nicht** am Wechsel aufgelagert ist.

System

Holz-Einfeldträger

M 1:15



Abmessungen / Nutzungsklassen

Feld	l [m]	$l_{ef,m}$ [m]	NKL
1	1.43	1.43	2

Auflager

Aufl.	x [m]	b [cm]	Transl. [kN/m]	Rotat. [kNm/rad]
A	0.00	7.00	starr	frei
B	1.43	7.00	starr	frei

Material

Nadelholz C24

Querschnitt

b/h = 7/17 cm

Einwirkungen

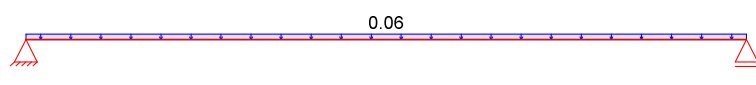
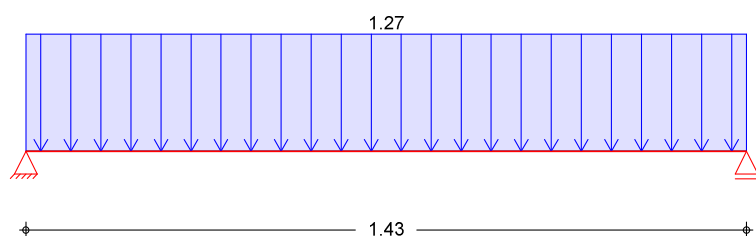
GK
Qk.N

Ständige Einwirkungen
Kategorie A - Wohn- und Aufenthaltsräume

fw

Erläuterungen

feldweise (fw)
Die Lasten der Einwirkung werden als feldweise wirkend aufgeteilt.

Belastungen
Belastungen auf das System
Grafik
Belastungsgrafiken (Einwirkungsbezogen)
Einwirkung
Gk

Qk.N

**Streckenlasten
in z-Richtung**
Gleichlasten
Feld Komm.

	a [m]	s [m]	q _{1i} [kN/m]	q _{re} [kN/m]
Einw. Gk	1 Eigengew	0.00	1.43	0.06
(a) Einw. Qk.N	1	0.00	1.43	0.24
(a)		0.00	1.43	1.27

aus Pos. '2.12', Lager 'A' (Seite 46)

Kombinationen
**Kombinationsbildung nach DIN EN 1990
Darstellung der maßgebenden Kombinationen**
ständig/vorüberg.
E_k KLED $\Sigma (\gamma * \psi * E_W)$

$$3 \text{ mi} \quad 1.35 * G_k \quad + 1.50 * Q_k.N \quad (1)$$

selten

$$6 \quad 1.00 * G_k \quad + 1.00 * Q_k.N \quad (1)$$

$$8 \quad 1.00 * G_k \quad + 1.00 * Q_k.N \quad (1)$$

quasi-ständig

$$10 \quad 1.00 * G_k \quad + 0.30 * Q_k.N \quad (1)$$

mi: mittel

Bem.-schnittgrößen
Bemessungsschnittgrößen
Tabelle
Schnittgrößen (Umhüllende)

	x [m]	M _{y,d,min} [kNm]	E _k	M _{y,d,max} [kNm]	E _k	V _{z,d,min} [kN]	E _k	V _{z,d,max} [kN]	E _k
Feld 1	0.00	0.00	-	0.00	-	1.65	3	1.65	3
	0.72	0.59	3	0.59	3	0.00	-	0.00	-
	1.43	0.00	-	0.00	-	-1.65	3	-1.65	3

Mat./Querschnitt nach DIN EN 1995-1-1

Materialien	Holz	$f_{m,k}$	f_{t0k}	f_{c0k}	f_{c90k}	f_{vk}	E_{0mean}
	<i>NH C24</i>	24.0	14.0	21.0	2.5	4.0	11000
Querschnittswerte		b [cm] 7.0	h [cm] 17.0	A [cm ²] 119.0	I _y [cm ⁴] 2865.9		

Nachweise (GZT) Nachweise im Grenzzustand der Tragfähigkeit nach DIN EN 1995-1-1

Biegung

6.1

Nachweis der Biegetragfähigkeit

	x [m]	E _k	k_{mod} [-]	M_{yd} [kNm]	$\sigma_{m,d}$ [N/mm ²]	$f_{m,d}$ [N/mm ²]	η [-]
Feld 1	($L = 1.43$ m, $k_{crit} = 1.00$) 0.72	3	0.80	0.59	1.75	14.77	0.12*

Querkraft

6.1.7

Nachweis der Querkrafttragfähigkeit

	x [m]	E _k	k_{mod} [-]	$V_{z,d}$ [kN]	τ_d [N/mm ²]	$f_{v,d}$ [N/mm ²]	η [-]
Feld 1	0.19 1.24	3 3	0.80 0.80	1.21 -1.21	0.30 0.30	2.46 2.46	0.12* 0.12*

Stabilität (BDK)

6.3

Nachweis der Stabilität

Der Einfluss der Stabilität ist im Nachweis der Biegetragfähigkeit enthalten. Folgende Ersatzstablängen werden berücksichtigt.

Ersatzstablängen

	l [m]	$l_{ef,cy}$ [m]	$l_{ef,cz}$ [m]	$l_{ef,m}$ [m]
Feld 1	1.43	0.00	0.00	1.43

Auflagerpressung

6.1.5

Nachweis der Auflagerpressung

E _k	k_{mod} [-]	F_d [kN]	A_{ef} [cm ²]	k_{c90} [-]	σ_{c90d} [N/mm ²]	f_{c90d} [N/mm ²]	η [-]
Auflager A	3	0.80	1.65	70.0	1.50	0.24	2.31
Auflager B	3	0.80	1.65	70.0	1.50	0.24	2.31

Nachweise (GZG)

Nachweise im Grenzzustand der Gebrauchstauglichkeit nach DIN EN 1995-1-1

Verformungen

7.2

Nachweise der Verformungen

x [m]	E _k	Norm	w_{vorh} [mm]	w_{zu1} [mm]	η [-]
($L = 1.43$ m, NKL 2, $k_{def} = 0.80$) 0.72	6	W _{inst}	0.3	1/300=	4.8 0.06
0.72	8	W _{fin}	0.4	1/200=	7.2 0.05
0.72	10	W _{net,fin}	0.2	1/300=	4.8 0.04

Negative Verformungen wurden zur Bemessung nicht berücksichtigt.

Auflagerkräfte **Auflagerkräfte Träger**

Char. Auflagerkr.	charakteristische Auflagerkräfte (je Einwirkung)		
		Aufl.	Aufl.
Einw. <i>Gk</i>	A	0.22	0.22
	B	0.22	0.22
Einw. <i>Qk.N</i>	A	0.91	0.91
	B	0.91	0.91

Bem.-auflagerkräfte	Bemessungsaufklagerkräfte (maßgeb. Kombinationen)		
		Aufl.	Aufl.
Komb. 3	A	1.65	1.65
	B	1.65	1.65

Zusammenfassung **Zusammenfassung der Nachweise**

Nachweise (GZT) **Nachweise im Grenzzustand der Tragfähigkeit**

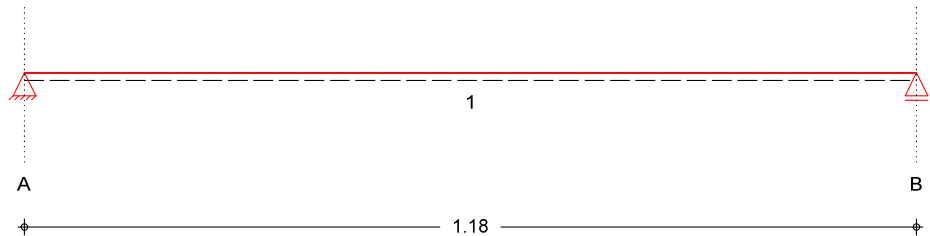
Nachweis	Feld/Auflager	x	η
Biegung	Feld 1	0.72	OK 0.12
Querkraft	Feld 1	1.24	OK 0.12
Auflagerpressung	Auflager A		OK 0.10

Nachweise (GZG) **Nachweise im Grenzzust. der Gebrauchstauglichkeit**

Nachweis	Feld	x	η
Anfangsdurchbieg.	Feld 1	0.72	OK 0.06
Enddurchbiegung	Feld 1	0.72	OK 0.05
gesamte Enddurchb.	Feld 1	0.72	OK 0.04

Pos. 2.20
Stürze Traufe 1

Es sind zwei Blockbohlen b/d=7,0/13,6 cm zug- und druckfest miteinander zu verschrauben.
gewählt Vollgewindeschrauben Ø 8 mm; e=15,0 cm
Einschraubwinkel 45°
Verankerungslänge l=10,0 cm

System
Holz-Einfeldträger
M 1:10

Abmessungen / Nutzungsklassen

Feld	l [m]	l _{ef,m} [m]	NKL
1	1.18	1.18	2

Auflager

Aufl.	x [m]	b [cm]	Transl. [kN/m]	Rotat. [kNm/rad]
A	0.00	7.00	starr	frei
B	1.18	7.00	starr	frei

Material
Nadelholz C24
Querschnitt
b/h = 7/23,6 cm
Einwirkungen
Gk
Ständige Einwirkungen
Qk.N
Kategorie A - Wohn- und
fw
Aufenthaltsräume
Qk.w
windlasten
LG 98
Qk.W (min/max Werte)

Qk.W.000 Anströmrichtung θ = 0°
Qk.W.090 Anströmrichtung θ = 90°
Qk.W.180 Anströmrichtung θ = 180°
Qk.W.270 Anströmrichtung θ = 270°
Qk.s
Schnee- und Eislasten für Orte bis
LG 99
NN + 1000 m
Qk.S (min/max Werte)

Qk.S.A Fall (i)
Erläuterungen
Gruppen (LG)

Einwirkungen, die der gleichen Lastgruppe zugeordnet werden, können nicht gleichzeitig auftreten.

feldweise (fw)

Die Lasten der Einwirkung werden als feldweise wirkend aufgeteilt.

Belastungen

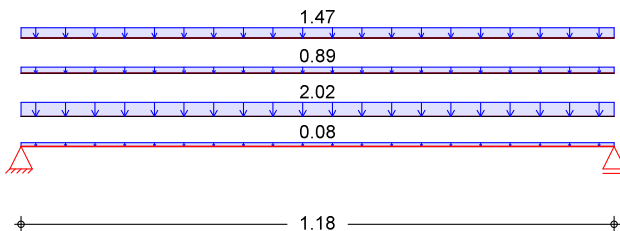
Belastungen auf das System

Grafik

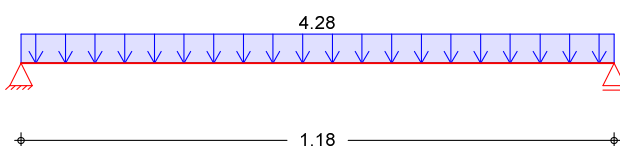
Belastungsgrafiken (Einwirkungsbezogen)

Einwirkung

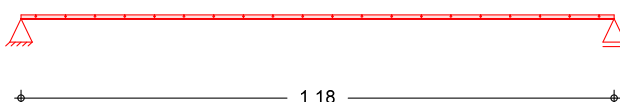
Gk



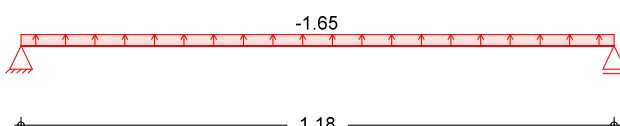
Qk . N



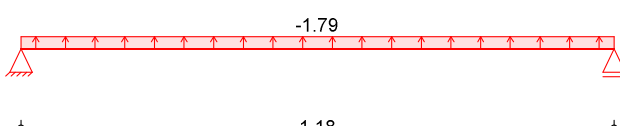
Qk.w.000



Qk.w.090



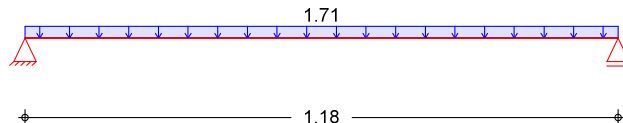
Qk.w.180



Qk.w.270



Qk . S . A



**Streckenlasten
in z-Richtung**

Einw. Gk

Einw. Qk.N

Einw. Qk.w.090

Einw. Qk.w.180

Einw. Qk.w.270

Einw. Qk.S.A

**Gleichlasten
Feld Komm.**

	a	s	q _{li}	q _{re}
	[m]	[m]	[kN/m]	[kN/m]
1 Eigengew	0.00	1.18		0.08
(a) 1	0.00	1.18		2.02
(b) 1	0.00	1.18		0.89
(c) 1	0.00	1.18		1.47
(b) 1	0.00	1.18		4.28
(a) 1	0.00	1.18		-1.65
(a) 1	0.00	1.18		-1.79
(a) 1	0.00	1.18		-1.42
(a) 1	0.00	1.18		1.71
(a) aus Pos. '1.10', Lager 'A' (Seite 13)				
(b) aus Pos. '2.10', Lager 'A' (Seite 38)				
(c) Giebelwand evt. Dämmsschicht		0.07*2.0*6 = 0.63 =	0.84 0.63 =	kN/m kN/m kN/m

Kombinationen

Kombinationsbildung nach DIN EN 1990
Darstellung der maßgebenden Kombinationen

ständig/vorüberg.

E _k	KLED	$\Sigma (\gamma * \psi * Ew)$		
3	mi	1.35*Gk	+1.50*Qk.N (1)	
selten	66	1.00*Gk	+1.00*Qk.N (1)	+0.50*Qk.S.A
	91	1.00*Gk	+1.00*Qk.N (1)	+0.50*Qk.S.A
quasi-ständig	102	1.00*Gk	+0.30*Qk.N (1)	
Brand	104	1.00*Gk	+0.50*Qk.N (1)	

mi: mittel

Bem.-schnittgrößen

Bemessungsschnittgrößen

Tabelle

Schnittgrößen (Umhüllende)

Feld 1	x	M _{y,d,min} [kNm]	E _k	M _{y,d,max} [kNm]	E _k	V _{z,d,min} [kN]	E _k	V _{z,d,max} [kN]	E _k
	[m]								
	0.00	0.00	-	0.00	-	7.35	3	7.35	3
	0.59	2.17	3	2.17	3	0.00	-	0.00	-
	1.18	0.00	-	0.00	-	-7.35	3	-7.35	3

Mat./Querschnitt

nach DIN EN 1995-1-1

Materialien	Holz	$f_{m,k}$	f_{t0k}	f_{c0k} [N/mm ²]	f_{c90k} [N/mm ²]	f_{vk}	E_{0mean}	k_{fi} [-]
NH C24		24.0	14.0	21.0	2.5	4.0	11000	1.25
Querschnittswerte		b [cm]		h [cm]		A [cm ²]		I_y [cm ⁴]
		7.0		23.6		165.2		7667.5
Brandfall	vierseitige Brandbeanspruchung							
Querschnittswerte	Feuerwiderstandsdauer					$t_{req} =$	30	min
Restquerschnitt	β_n	b_r [cm]	h_r [cm]	p [cm]		A_r [cm ²]		I_y, r [cm ⁴]
	0.80	2.2	18.8	42.0		41.4		1218.2
<u>Nachweise (GZT)</u>	Nachweise im Grenzzustand der Tragfähigkeit nach DIN EN 1995-1-1							
<u>Biegung</u>	Nachweis der Biegetragfähigkeit							
6.1	x [m]	E_k	k_{mod} [-]	M_{yd} [kNm]	$\sigma_{m,d}$ [N/mm ²]	$f_{m,d}$ [N/mm ²]	η [-]	
Feld 1	($L = 1.18$ m, $k_{crit} = 1.00$)	0.59	3	0.80	2.17	3.33	14.77	0.23*
<u>Querkraft</u>	Nachweis der Querkrafttragfähigkeit							
6.1.7	x [m]	E_k	k_{mod} [-]	$V_{z,d}$ [kN]	τ_d [N/mm ²]	$f_{v,d}$ [N/mm ²]	η [-]	
Feld 1	0.26	3	0.80	4.12	0.75	2.46	0.30	
	0.92	3	0.80	-4.12	0.75	2.46	0.30*	
<u>Stabilität (BDK)</u>	Nachweis der Stabilität							
6.3	Der Einfluss der Stabilität ist im Nachweis der Biegetragfähigkeit enthalten. Folgende Ersatzstablängen werden berücksichtigt.							
Ersatzstablängen						$l_{ef,cy}$ [m]	$l_{ef,cz}$ [m]	$l_{ef,m}$ [m]
						1.18	0.00	0.00
Feld 1								1.18
<u>Auflagerpressung</u>	Nachweis der Auflagerpressung							
6.1.5	E_k	k_{mod} [-]	F_d [kN]	A_{ef} [cm ²]	k_{c90} [-]	σ_{c90d} [N/mm ²]	f_{c90d} [N/mm ²]	η [-]
Auflager A	3	0.80	7.35	70.0	1.00	1.05	1.54	0.68
Auflager B	3	0.80	7.35	70.0	1.00	1.05	1.54	0.68
<u>Nachweise (GZG)</u>	Nachweise im Grenzzustand der Gebrauchstauglichkeit nach DIN EN 1995-1-1							
<u>Verformungen</u>	Nachweise der Verformungen							
7.2	x [m]	E_k	Norm	w_{vorh} [mm]		w_{zu1} [mm]	η [-]	
Feld 1	($L = 1.18$ m, NKL 2, $k_{def} = 0.80$)	0.59	66	Winst	0.3	1/300=	3.9	0.07
	0.59	91	Wfin	0.4	1/200=	5.9	0.07	
	0.59	102	Wnet, fin	0.3	1/300=	3.9	0.08	

Nachweise (Brand) Nachweise der Feuerwiderstandsfähigkeit nach DIN EN 1995-1-2

Brandfall vierseitige Brandbeanspruchung
Feuerwiderstandsdauer $t_{req} = 30 \text{ min}$

Biegung
6.1

	x [m]	E _k	k _{mod,fi} [-]	M _{yd,fi} [kNm]	σ _{m,d,fi} [N/mm ²]	f _{m,d,fi} [N/mm ²]	η
Feld 1	(L = 1.18 m, k _{crit} = 0.60) 0.59	104	0.49	1.15	8.87	14.77	1.01*

Querkraft
6.1.7

	x [m]	E _k	k _{mod,fi} [-]	V _{z,d,fi} [kN]	τ _{d,fi} [N/mm ²]	f _{v,d,fi} [N/mm ²]	η
Feld 1	0.26	104	0.49	2.18	1.58	2.46	0.64
	0.92	104	0.49	-2.18	1.58	2.46	0.64*

Stabilität (BDK)
6.3
Nachweis der Stabilität
Der Einfluss der Stabilität ist im Nachweis der Biegetragfähigkeit enthalten. Folgende Ersatzstablängen werden berücksichtigt.

Ersatzstablängen

	l [m]	l _{ef,cy} [m]	l _{ef,cz} [m]	l _{ef,m} [m]
Feld 1	1.18	0.00	0.00	1.18

Auflagerkräfte
char. Auflagerkr.
charakteristische Auflagerkräfte (je Einwirkung)
Aufl.

	F _{z,min} [kN]	F _{z,max} [kN]
Einw. G _k	A 2.64	2.64
	B 2.64	2.64
Einw. Q _{k.N}	A 2.53	2.53
	B 2.53	2.53
Einw. Q _{k.W.000}	A 0.00	0.00
	B 0.00	0.00
Einw. Q _{k.W.090}	A -0.97	-0.97
	B -0.97	-0.97
Einw. Q _{k.W.180}	A -1.06	-1.06
	B -1.06	-1.06
Einw. Q _{k.W.270}	A -0.84	-0.84
	B -0.84	-0.84
Einw. Q _{k.S.A}	A 1.01	1.01
	B 1.01	1.01

Zusammenfassung

Nachweise (GZT) Nachweise im Grenzzustand der Tragfähigkeit

Nachweis	Feld/Auflager	x [m]	η
Biegung	Feld 1	0.59	OK 0.23
Querkraft	Feld 1	0.92	OK 0.30
Auflagerpressung	Auflager A		OK 0.68

Proj.Bez	Neubau eines Einfamilienhauses	Seite	56
Datum	12.03.2019	Position	2.20
	mb BauStatik S302.de 2012.063	Projekt	Ihmels Mekong

Nachweise (Brand) Brandfall im Grenzzustand der Tragfähigkeit

Nachweis	Feld/Auflager	x	[m]	η
Biegung	Feld 1	0.59	OK	1.01
Querkraft	Feld 1	0.92	OK	0.64

Nachweise (GZG) Nachweise im Grenzzust. der Gebrauchstauglichkeit

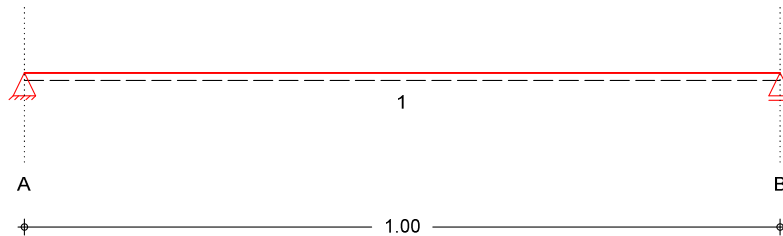
Nachweis	Feld	x	[m]	η
Anfangsdurchbieg.	Feld 1	0.59	OK	0.07
Enddurchbiegung	Feld 1	0.59	OK	0.07
gesamte Enddurchb.	Feld 1	0.59	OK	0.08

Pos. 2.21
Stürze Traufe 2

Es sind zwei Blockbohlen b/d=7,0/13,6 cm zug- und druckfest miteinander zu verschrauben.
gewählt Vollgewindeschrauben Ø 8 mm; e=15,0 cm
Einschraubwinkel 45°
Verankerungslänge l=10,0 cm

System
Holz-Einfeldträger

M 1:10


Abmessungen / Nutzungsklassen

Feld	l [m]	l _{ef,m} [m]	NKL
1	1.00	1.00	2

Auflager

Aufl.	x [m]	b [cm]	Transl. [kN/m]	Rotat. [kNm/rad]
A	0.00	20.00	starr	frei
B	1.00	20.00	starr	frei

Material
Nadelholz C24
Querschnitt
b/h = 7/18.6 cm
Einwirkungen
Gk
Ständige Einwirkungen
Qk.N
Kategorie A - Wohn- und
fw
Aufenthaltsräume
Qk.w
windlasten
LG 98
Qk.W (min/max Werte)
Qk.W.000 Anströmrichtung θ = 0°
Qk.W.090 Anströmrichtung θ = 90°
Qk.W.180 Anströmrichtung θ = 180°
Qk.W.270 Anströmrichtung θ = 270°
Qk.s
Schnee- und Eislasten für Orte bis
LG 99
NN + 1000 m
Qk.S (min/max Werte)
Qk.S.A Fall (i)
Erläuterungen
Gruppen (LG)

Einwirkungen, die der gleichen Lastgruppe zugeordnet werden, können nicht gleichzeitig auftreten.

feldweise (fw)

Die Lasten der Einwirkung werden als feldweise wirkend aufgeteilt.

Belastungen

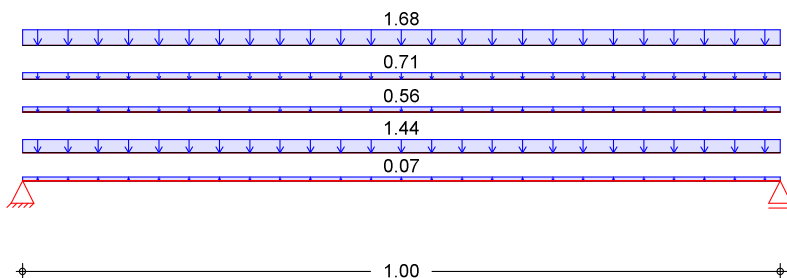
Belastungen auf das System

Grafik

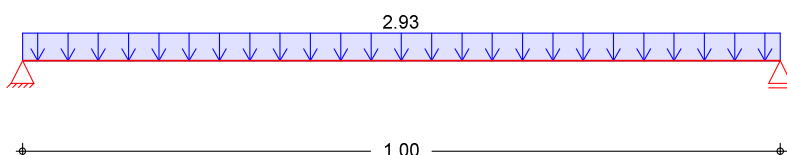
Belastungsgrafiken (Einwirkungsbezogen)

Einwirkung

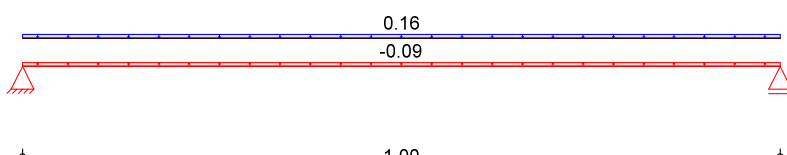
Gk



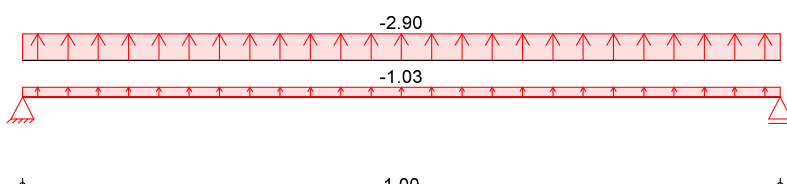
Qk.N



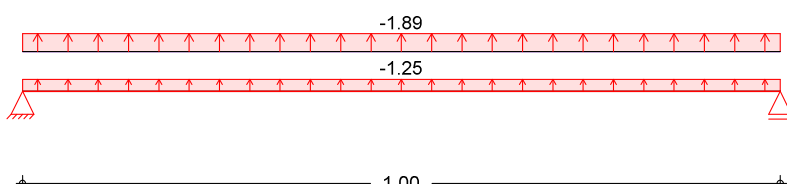
Qk.w.000



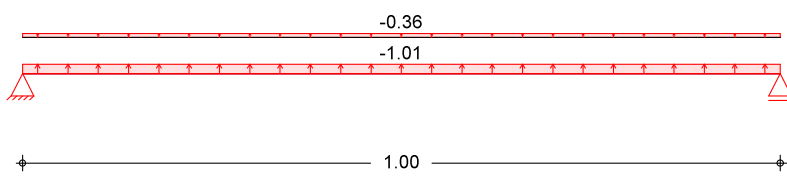
Qk.w.090



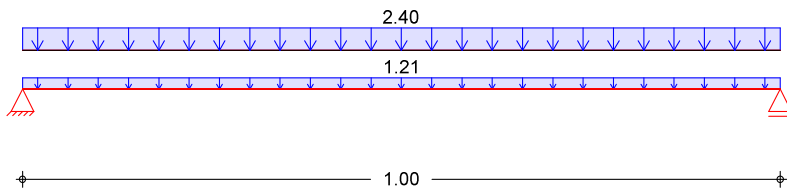
Qk.w.180



Qk.w.270



Qk.S.A



**Streckenlasten
in z-Richtung**

	Feld	Komm.	a [m]	s [m]	q _{1i} [kN/m]	q _{re} [kN/m]
Einw. Gk	1	Eigengew	0.00	1.00	0.07	
(a)	1		0.00	1.00	1.44	
(b)	1		0.00	1.00	0.56	
(c)	1		0.00	1.00	0.71	
(d)	1		0.00	1.00	1.68	
Einw. Qk.N	1		0.00	1.00	2.93	
Einw. Qk.w.000	1		0.00	1.00	-0.09	
Einw. Qk.w.090	1		0.00	1.00	0.16	
Einw. Qk.w.180	1		0.00	1.00	-1.03	
Einw. Qk.w.180	1		0.00	1.00	-2.90	
Einw. Qk.w.270	1		0.00	1.00	-1.25	
Einw. Qk.w.270	1		0.00	1.00	-1.89	
Einw. Qk.w.270	1		0.00	1.00	-1.01	
Einw. Qk.S.A	1		0.00	1.00	1.21	
	(a)		0.00	1.00	2.40	

(a)	aus Pos. '1.11', Lager 'A' (Seite 21)
(b)	aus Pos. '2.11', Lager 'A' (Seite 42)
(c)	aus Pos. '4.10', Lager 'B' (Seite 86)
(d)	Giebelwand evtl. Dämmschicht $0.07 \cdot 2.0 \cdot 6 = 0.84$ kN/m $0.84 = 0.84$ kN/m $= 1.68$ kN/m

Kombinationen

Kombinationsbildung nach DIN EN 1990
Darstellung der maßgebenden Kombinationen

	E _k	KLED	$\Sigma (\gamma * \psi * Ew)$		
ständig/vorüberg.	39	ku	$1.35 * Gk$	$+1.05 * Qk.N$	$+0.90 * Qk.w.000$
				(1)	
selten	78		$+1.50 * Qk.S.A$	$+0.70 * Qk.N$	$+0.60 * Qk.w.000$
				(1)	
	104		$+1.00 * Qk.S.A$	$+0.70 * Qk.N$	$+0.60 * Qk.w.000$
			$1.00 * Gk$		
	106		$+1.00 * Qk.S.A$	$+0.30 * Qk.N$	
quasi-ständig			$1.00 * Gk$	(1)	
Brand	118		$+0.30 * Qk.N$		$+0.20 * Qk.S.A$
			(1)		

ku: kurz

Bem.-schnittgrößen Bemessungsschnittgrößen

Tabelle Schnittgrößen (Umhüllende)

	x [m]	M _{y,d,min} [kNm]	E _k	M _{y,d,max} [kNm]	E _k	V _{z,d,min} [kN]	E _k	V _{z,d,max} [kN]	E _k
Feld 1	0.00	0.00	-	0.00	-	7.29	39	7.29	39
	0.50	1.82	39	1.82	39	0.00	-	0.00	-
	1.00	0.00	-	0.00	-	-7.29	39	-7.29	39

Mat./Querschnitt nach DIN EN 1995-1-1

Materialien	Holz	f _{m,k}	f _{t0k}	f _{c0k} [N/mm ²]	f _{c90k} [N/mm ²]	f _{vk}	E _{0mean}	k _{fi} [-]
NH C24		24.0	14.0	21.0	2.5	4.0	11000	1.25

Querschnittswerte	b [cm]	h [cm]	A [cm ²]	I _y [cm ⁴]
	7.0	18.6	130.2	3753.7

Brandfall	vierseitige Brandbeanspruchung			t _{req} =	30	min	
Querschnittswerte	Feuerwiderstandsdauer	β _n	b _r [cm]	h _r [cm]	p [cm]	Ar [cm ²]	I _{y,r} [cm ⁴]
Restquerschnitt		0.80	2.2	13.8	32.0	30.4	481.8

Nachweise (GZT)

Biegung

6.1	x [m]	E _k	k _{mod} [-]	M _{yd} [kNm]	σ _{m,d} [N/mm ²]	f _{m,d} [N/mm ²]	η
Feld 1	(L = 1.00 m, k _{crit} = 1.00)	0.50	39	0.90	1.82	4.52	16.62
		0.75	39	0.90	-3.61	0.83	0.27*

Querkraft

6.1.7	Nachweis der Querkrafttragfähigkeit						
Feld 1	x [m]	E _k	k _{mod} [-]	V _{z,d} [kN]	τ _d [N/mm ²]	f _{v,d} [N/mm ²]	η
	0.25	39	0.90	3.61	0.83	2.77	0.30
	0.75	39	0.90	-3.61	0.83	2.77	0.30*

Stabilität (BDK)

6.3

Nachweis der Stabilität

Der Einfluss der Stabilität ist im Nachweis der Biegetragfähigkeit enthalten. Folgende Ersatzstablängen werden berücksichtigt.

Ersatzstablängen

Feld 1	l [m]	l _{ef,cy} [m]	l _{ef,cz} [m]	l _{ef,m} [m]
	1.00	0.00	0.00	1.00

Auflagerpressung

6.1.5

Auflager A
Auflager B

Nachweis der Auflagerpressung

E _k	k _{mod} [-]	F _d [kN]	A _{ef} [cm ²]	k _{c90} [-]	σ _{c90d} [N/mm ²]	f _{c90d} [N/mm ²]	η
Auflager A	39	0.90	7.29	161.0	1.00	0.45	1.73
Auflager B	39	0.90	7.29	161.0	1.00	0.45	1.73

Nachweise (GZG) Nachweise im Grenzzustand der Gebrauchstauglichkeit nach DIN EN 1995-1-1

Verformungen

	x [m]	Ek	Norm	Wv orh [mm]	Wz u l [mm]	η
Feld 1	($L = 1.00 \text{ m}$, $NKL 2$, $k_{def} = 0.80$)	0.50 78	Winst	0.3 1/300=	3.3	0.10
		0.50 104	Wfin	0.5 1/200=	5.0	0.09
		0.50 106	Wnet,fin	0.3 1/300=	3.3	0.09

Nachweise (Brand)

Brandfall

vierseitige Brandbeanspruchung Feuerwiderstandsdauer $t_{req} = 30 \text{ min}$

Biegung

	x [m]	Ek	$k_{mod,fi}$ [-]	$M_{yd,fi}$ [kNm]	$\sigma_{m,d,fi}$ [N/mm ²]	$f_{m,d,fi}$ [N/mm ²]	η
Feld 1	($L = 1.00 \text{ m}$, $k_{crit} = 0.81$)	0.50 118	0.47	0.76	10.85	14.19	0.95*

Querkraft

6.1.7

	x [m]	Ek	$k_{mod,fi}$ [-]	$V_{z,d,fi}$ [kN]	$\tau_{d,fi}$ [N/mm ²]	$f_{v,d,fi}$ [N/mm ²]	η
Feld 1	0.25	118	0.47	1.50	1.48	2.36	0.63
	0.75	118	0.47	-1.50	1.48	2.36	0.63*

Stabilität (BDK)

6.3

Nachweis der Stabilität

Der Einfluss der Stabilität ist im Nachweis der Biegetragfähigkeit enthalten. Folgende Ersatzstablängen werden berücksichtigt.

Ersatzstablängen

	l [m]	$l_{ef,cy}$ [m]	$l_{ef,cz}$ [m]	$l_{ef,m}$ [m]
Feld 1	1.00	0.00	0.00	1.00

Auflagerkräfte

Char. Auflagerkr.

charakteristische Auflagerkräfte (je Einwirkung)

	Aufl.	$F_{z,min}$ [kN]	$F_{z,max}$ [kN]
Einw. Gk	A	2.23	2.23
	B	2.23	2.23
Einw. Qk.N	A	1.47	1.47
	B	1.47	1.47
Einw. Qk.w.000	A	0.04	0.04
	B	0.04	0.04
Einw. Qk.w.090	A	-1.97	-1.97
	B	-1.97	-1.97
Einw. Qk.w.180	A	-1.57	-1.57
	B	-1.57	-1.57
Einw. Qk.w.270	A	-0.68	-0.68
	B	-0.68	-0.68
Einw. Qk.s.A	A	1.81	1.81
	B	1.81	1.81

Zusammenfassung

Zusammenfassung der Nachweise

Nachweise (GZT)

Nachweise im Grenzzustand der Tragfähigkeit

Nachweis	Feld/Auflager	x [m]	η [-]
Biegung	Feld 1	0.50	OK 0.27
Querkraft	Feld 1	0.25	OK 0.30
Auflagerpressung	Auflager A		OK 0.26

Nachweise (Brand)

Brandfall im Grenzzustand der Tragfähigkeit

Nachweis	Feld/Auflager	x [m]	η [-]
Biegung	Feld 1	0.50	OK 0.95
Querkraft	Feld 1	0.25	OK 0.63

Nachweise (GZG)

Nachweise im Grenzzust. der Gebrauchstauglichkeit

Nachweis	Feld	x [m]	η [-]
Anfangsdurchbieg.	Feld 1	0.50	OK 0.10
Enddurchbiegung	Feld 1	0.50	OK 0.09
gesamte Enddurchb.	Feld 1	0.50	OK 0.09

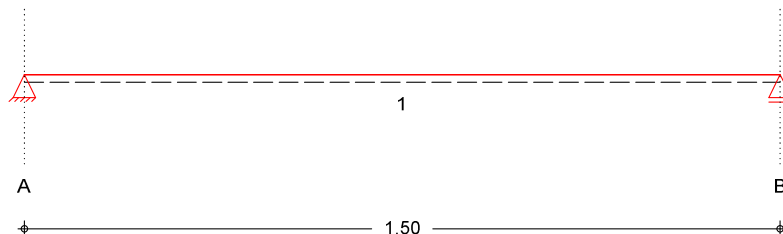
Pos. 2.22

Stürze sonstige

Es sind zwei Blockbohlen b/d=7,0/13,6 cm einzubauen.

System **Holz-Einfeldträger**

M 1:15



Abmessungen / Nutzungsklassen

Feld	l [m]	l _{ef,m} [m]	NKL
1	1.50	1.50	2

Auflager

Aufl.	x [m]	b [cm]	Transl. [kN/m]	Rotat. [kNm/rad]
A	0.00	7.00	starr	frei
B	1.50	7.00	starr	frei

Material

Nadelholz C24

Querschnitt

b/h = 7/13.6 cm

Einwirkungen

Gk

ständige Einwirkungen

Belastungen

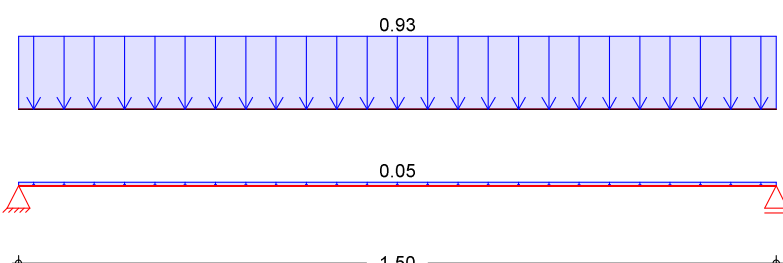
Belastungen auf das System

Grafik

Belastungsgrafiken (Einwirkungsbezogen)

Einwirkung

Gk



Streckenlasten in z-Richtung

Gleichlasten Feld Komm.

Einw. Gk

	a [m]	s [m]	q _{1i} [kN/m]	q _{re} [kN/m]
1	0.00	1.50		0.05
(a) 1	0.00	1.50	0.93	

(a)	Giebelwand evtl. Dämmschicht	$0.07 \cdot 3.0 \cdot 6 \cdot 0.5 = 0.63 \text{ kN/m}$
		$0.2 \cdot 3.0 \cdot 0.5 = 0.30 \text{ kN/m}$
		$= 0.93 \text{ kN/m}$

Kombinationen

Kombinationsbildung nach DIN EN 1990
Darstellung der maßgebenden Kombinationen

	E _k	KLED	$\Sigma (\gamma * \psi * Ew)$
ständig/vorüberg. selten	1	st	1.35*Gk
	3		1.00*Gk
	4		1.00*Gk
quasi-ständig Brand	5		1.00*Gk
	6		1.00*Gk

st: ständig

Bem.-schnittgrößen

Bemessungsschnittgrößen

Tabelle

Schnittgrößen (Umhüllende)

Feld 1	x	M _{y,d,min}	E _k	M _{y,d,max}	E _k	V _{z,d,min}	E _k	V _{z,d,max}	E _k
	[m]	[kNm]		[kNm]		[kN]		[kN]	
	0.00	0.00	-	0.00	-	0.99	1	0.99	1
	0.75	0.37	1	0.37	1	0.00	-	0.00	-
	1.50	0.00	-	0.00	-	-0.99	1	-0.99	1

Mat./Querschnitt

nach DIN EN 1995-1-1

Materialien	Holz	f _{m,k}	f _{t0k}	f _{c0k}	f _{c90k}	f _{vk}	E _{0mean}	k _{fi}
NH C24		24.0	14.0	21.0	2.5	4.0	11000	1.25

Querschnittswerte

b	h	A	I _y
[cm]	[cm]	[cm ²]	[cm ⁴]

Brandfall

vierseitige Brandbeanspruchung	Feuerwiderstandsdauer	t _{req}	=	30	min
β_n	b _r h _r p			A _r	I _{y,r}

Querschnittswerte Restquerschnitt

0.80	2.2	8.8	22.0	19.4	124.9
------	-----	-----	------	------	-------

Nachweise (GZT)

Nachweise im Grenzzustand der Tragfähigkeit nach DIN EN 1995-1-1

Biegung

6.1

Nachweis der Biegetragfähigkeit

Feld 1

x	E _k	k _{mod}	M _{yd}	$\sigma_{m,d}$	f _{m,d}	η
[m]		[-]	[kNm]	[N/mm ²]	[N/mm ²]	
(L = 1.50 m, k _{crit} = 1.00)	0.75	1	0.60	0.37	1.72	11.08 0.16*

Querkraft

6.1.7

Nachweis der Querkrafttragfähigkeit

Feld 1

x	E _k	k _{mod}	V _{z,d}	τ_d	f _{v,d}	η
[m]		[-]	[kN]	[N/mm ²]	[N/mm ²]	
0.16	1	0.60	0.78	0.25	1.85	0.13

1.34	1	0.60	-0.78	0.25	1.85	0.13*
------	---	------	-------	------	------	-------

Stabilität (BDK)
6.3

Nachweis der Stabilität
Der Einfluss der Stabilität ist im Nachweis der Biegetragfähigkeit enthalten. Folgende Ersatzstablängen werden berücksichtigt.

Ersatzstablängen

	l [m]	$l_{ef,cy}$ [m]	$l_{ef,cz}$ [m]	$l_{ef,m}$ [m]
Feld 1	1.50	0.00	0.00	1.50

Auflagerpressung
6.1.5

Auflager A
Auflager B

Nachweis der Auflagerpressung

Ek	k_{mod} [-]	F_d [kN]	A_{ef} [cm ²]	k_{c90} [-]	σ_{c90d} [N/mm ²]	f_{c90d} [N/mm ²]	n [-]
1	0.60	0.99	70.0	1.00	0.14	1.15	0.12
1	0.60	0.99	70.0	1.00	0.14	1.15	0.12

Nachweise (GZG)

Nachweise im Grenzzustand der Gebrauchstauglichkeit nach DIN EN 1995-1-1

Verformungen
7.2

Feld 1

Nachweise der Verformungen

x	Ek	Norm	w_{vorh} [mm]	w_{zu1} [mm]	η [-]
($L = 1.50 \text{ m}$, NKL 2, $k_{def} = 0.80$)					
0.75	3	Winst	0.4	1/300 =	5.0 0.08
0.75	4	Wfin	0.7	1/200 =	7.5 0.10
0.75	5	Wnet,fin	0.7	1/300 =	5.0 0.14

Nachweise (Brand)

Nachweise der Feuerwiderstandsfähigkeit nach DIN EN 1995-1-2

Brandfall

vierseitige Brandbeanspruchung
Feuerwiderstandsdauer $t_{req} = 30 \text{ min}$

Biegung
6.1

Feld 1

Nachweis der Biegetragfähigkeit

x	Ek	$k_{mod,fi}$ [-]	$M_{yd,fi}$ [kNm]	$\sigma_{m,q,fi}$ [N/mm ²]	$f_{m,d,fi}$ [N/mm ²]	η [-]
($L = 1.50 \text{ m}$, $k_{crit} = 0.84$)	0.75	6	0.43	0.27	9.68	12.95 0.89*

Querkraft
6.1.7

Feld 1

Nachweis der Querkrafttragfähigkeit

x	Ek	$k_{mod,fi}$ [-]	$V_{z,d,fi}$ [KN]	$\tau_{d,fi}$ [N/mm ²]	$f_{v,d,fi}$ [N/mm ²]	η [-]
0.16	6	0.43	0.58	0.89	2.16	0.41

Stabilität (BDK)
6.3

Nachweis der Stabilität

Der Einfluss der Stabilität ist im Nachweis der Biegetragfähigkeit enthalten. Folgende Ersatzstablängen werden berücksichtigt.

Ersatzstablängen

	l [m]	$l_{ef,cy}$ [m]	$l_{ef,cz}$ [m]	$l_{ef,m}$ [m]
Feld 1	1.50	0.00	0.00	1.50

<u>Auflagerkräfte</u>		Auflagerkräfte Träger			
Char. Auflagerkr.	charakteristische Auflagerkräfte (je Einwirkung)				
Aufl.		$F_{z,\min}$ [kN]		$F_{z,\max}$ [kN]	
Einw. Gk	A	0.73		0.73	
	B	0.73		0.73	
<u>Zusammenfassung</u>		Zusammenfassung der Nachweise			
<u>Nachweise (GZT)</u>		Nachweise im Grenzzustand der Tragfähigkeit			
Nachweis	Feld/Auflager	x [m]		η [-]	
Biegung	Feld 1	0.75	OK	0.16	
Querkraft	Feld 1	1.34	OK	0.13	
Auflagerpressung	Auflager A		OK	0.12	
<u>Nachweise (Brand)</u>		Brandfall im Grenzzustand der Tragfähigkeit			
Nachweis	Feld/Auflager	x [m]		η [-]	
Biegung	Feld 1	0.75	OK	0.89	
Querkraft	Feld 1	1.34	OK	0.41	
<u>Nachweise (GZG)</u>		Nachweise im Grenzzust. der Gebrauchstauglichkeit			
Nachweis	Feld	x [m]		η [-]	
Anfangsdurchbieg.	Feld 1	0.75	OK	0.08	
Enddurchbiegung	Feld 1	0.75	OK	0.10	
gesamte Enddurchb.	Feld 1	0.75	OK	0.14	

Pos. 2.23

Unterzug

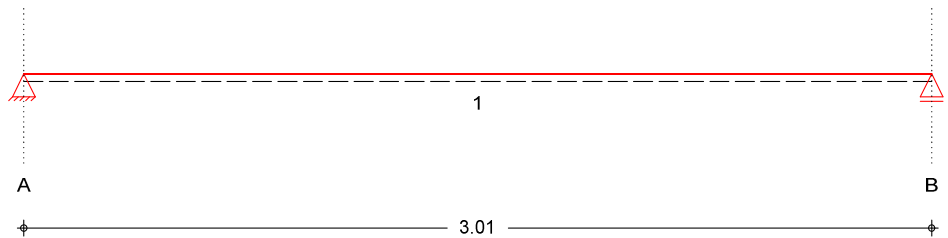
Es sind drei Blockbohlen $b/d=7,0/13,6$ cm zug- und druckfest miteinander zu verschrauben.
gewählt Vollgewindeschrauben Ø 8 mm; $e=15,0$ cm
Einschraubwinkel 45°
Verankerungslänge $l=10,0$ cm

Die Blockbohlen sind mit Holzbrandschutzfarbe F30 fachgerecht zu streichen.

System

Holz-Einfeldträger

M 1:25



Abmessungen / Nutzungsklassen

Feld	l [m]	$l_{ef,m}$ [m]	NKL
1	3.01	3.01	2

Auflager

Aufl.	x [m]	b [cm]	Transl. [kN/m]	Rotat. [kNm/rad]
A	0.00	25.00	starr	frei
B	3.01	25.00	starr	frei

Material

Nadelholz C24

Querschnitt

$b/h = 7/38.6$ cm

Einwirkungen

Gk

Ständige Einwirkungen

Qk.N

Kategorie A - Wohn- und Aufenthaltsräume

fw

Qk.W

windlasten

LG 98

Qk.W (min/max Werte)

Qk.W.000 Anströmrichtung $\theta = 0^\circ$

Qk.W.090 Anströmrichtung $\theta = 90^\circ$

Qk.W.180 Anströmrichtung $\theta = 180^\circ$

Qk.W.270 Anströmrichtung $\theta = 270^\circ$

Qk.S

Schnee- und Eislasten für Orte bis NN + 1000 m LG 99

Qk.S (min/max Werte)

Qk.S.A Fall (i)

Erläuterungen

Gruppen (LG)

Einwirkungen, die der gleichen Lastgruppe zugeordnet werden, können nicht gleichzeitig auftreten.

feldweise (fw)
Die Lasten der Einwirkung werden als feldweise wirkend aufgeteilt.

Belastungen

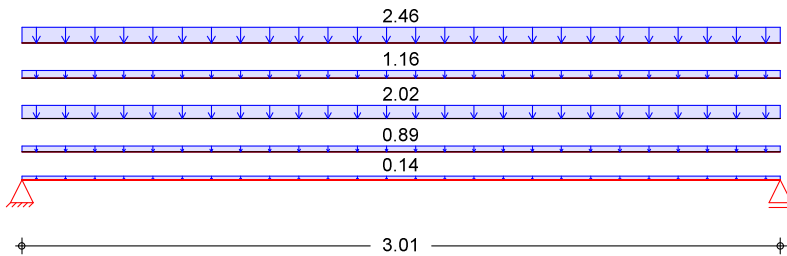
Belastungen auf das System

Grafik

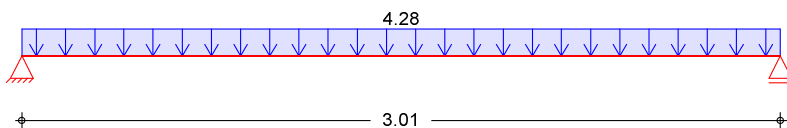
Belastungsgrafiken (Einwirkungsbezogen)

Einwirkung

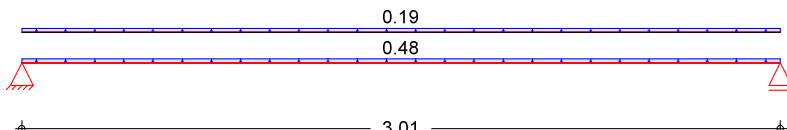
Gk



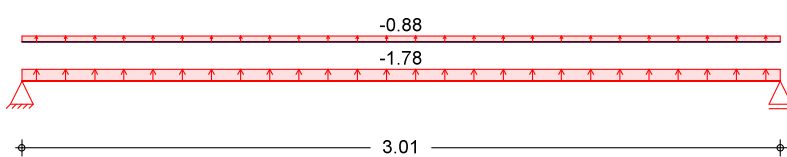
Qk.N



Qk.w.000



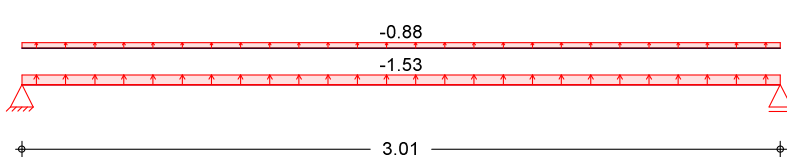
Qk.w.090



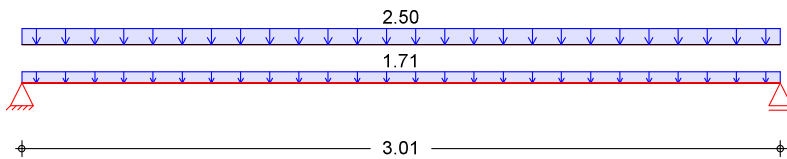
Qk.w.180



Qk.w.270



Qk.S.A



Streckenlasten in z-Richtung

Gleichlasten Feld Komm.

Einw. G_k

	a	s	q_{l_i}	q_{re}
	[m]	[m]	[kN/m]	[kN/m]
1 Eigengew	0.00	3.01	0.14	
(a) 1	0.00	3.01	0.89	
(b) 1	0.00	3.01	2.02	
(c) 1	0.00	3.01	1.16	
(d) 1	0.00	3.01	2.46	
Einw. $Q_k.N$				4.28
Einw. $Q_k.w.000$				0.48
Einw. $Q_k.w.090$				0.19
Einw. $Q_k.w.180$				-1.78
Einw. $Q_k.w.180$				-0.88
Einw. $Q_k.w.270$				-3.91
Einw. $Q_k.w.270$				-2.53
Einw. $Q_k.s.A$				-1.53
(b) 1	0.00	3.01	-0.88	
(c) 1	0.00	3.01	1.71	
	0.00	3.01	2.50	

(a)

aus Pos. '2.10', Lager 'A' (Seite 38)

(b)

aus Pos. '1.10', Lager 'B' (Seite 13)

(c)

aus Pos. '1.12', Lager 'B' (Seite 28)

(d)

wand	3.0*0.07*6 =	1.26	kn/m
Dämmung	0.4*3.0 =	1.20	kn/m
	=	2.46	kn/m

Kombinationen

Kombinationsbildung nach DIN EN 1990 Darstellung der maßgebenden Kombinationen

ständig/vorüberg.

E_k	KLED	$\Sigma (\gamma * \psi * E_w)$		
39	ku	1.35* G_k	+1.05* $Q_k.N$	+0.90* $Q_k.w.000$

selten

78		+1.50* $Q_k.s.A$	+0.70* $Q_k.N$	+0.60* $Q_k.w.000$
----	--	------------------	----------------	--------------------

104		+1.00* $Q_k.s.A$	+0.70* $Q_k.N$	+0.60* $Q_k.w.000$
-----	--	------------------	----------------	--------------------

quasi-ständig

106		+1.00* $Q_k.s.A$	+0.30* $Q_k.N$	
-----	--	------------------	----------------	--

Brand

108		+1.00* $Q_k.s.A$	+0.50* $Q_k.N$	
-----	--	------------------	----------------	--

ku: kurz

Bem.-schnittgrößen **Bemessungsschnittgrößen**

Tabelle **Schnittgrößen (Umhüllende)**

	x [m]	M _{y,d,min} [kNm]	E _k	M _{y,d,max} [kNm]	E _k	V _{z,d,min} [kN]	E _k	V _{z,d,max} [kN]	E _k
Feld 1	0.00	0.00	-	0.00	-	30.73	39	30.73	39
	1.51	23.13	39	23.13	39	0.00	-	0.00	-
	3.01	0.00	-	0.00	-	-30.73	39	-30.73	39

Mat./Querschnitt **nach DIN EN 1995-1-1**

Materialien	Holz	f _{m,k}	f _{t0k}	f _{c0k} [N/mm ²]	f _{c90k}	f _{vk}	E _{0mean}	k _{fi}
	NH C24	24.0	14.0	21.0	2.5	4.0	11000	1.25

Querschnittswerte	b [cm]	h [cm]	A [cm ²]	I _y [cm ⁴]
	7.0	38.6	270.2	33548.9

Brandfall **dreiseitige Brandbeanspruchung (oben/unten/rechts)**

Querschnittswerte	Feuerwiderstandsdauer	t _{req} = 30 min
Restquerschnitt	β_n b _r h _r p	A _r I _{y,r} [cm] [cm] [cm] [cm ²] [cm ⁴]

0.80 4.6 33.8 43.0 155.5 14802.2

Nachweise (GZT)

Nachweise im Grenzzustand der Tragfähigkeit nach DIN EN 1995-1-1

Biegung

6.1

Feld 1	x [m]	E _k	k _{mod} [-]	M _{yd} [kNm]	$\sigma_{m,d}$ [N/mm ²]	f _{m,d} [N/mm ²]	η
	(L = 3.01 m, k _{crit} = 0.82)	1.51	39	0.90	23.13	13.30	16.62 0.98*

Querkraft

6.1.7

Feld 1	x [m]	E _k	k _{mod} [-]	V _{z,d} [kN]	τ_d [N/mm ²]	f _{v,d} [N/mm ²]	η
	0.47	39	0.90	21.15	2.35	2.77	0.85

2.54 39 0.90 -21.15 2.35 2.77 0.85*

Stabilität (BDK)

6.3

Nachweis der Stabilität

Der Einfluss der Stabilität ist im Nachweis der Biegetragfähigkeit enthalten. Folgende Ersatzstablängen werden berücksichtigt.

Ersatzstablängen

Feld 1	l [m]	l _{ef,cy} [m]	l _{ef,cz} [m]	l _{ef,m} [m]
	3.01	0.00	0.00	3.01

Auflagerpressung

6.1.5

Nachweis der Auflagerpressung

Auflager A	E _k [-]	k _{mod} [-]	F _d [kN]	A _{ef} [cm ²]	k _{c90} [-]	σ_{c90d} [N/mm ²]	f _{c90d} [N/mm ²]	η
Auflager B	39	0.90	30.73	196.0	1.00	1.57	1.73	0.91

39 0.90 30.73 196.0 1.00 1.57 1.73 0.91

Nachweise (GZG) Nachweise im Grenzzustand der Gebrauchstauglichkeit nach DIN EN 1995-1-1

Verformungen

Feld 1	x [m]	Ek	Norm	Wv orh [mm]	Nachweise der Verformungen	
					Wz u l [mm]	η
					($L = 3.01 \text{ m}$, $NKL 2$, $k_{def} = 0.80$)	
	1.51	78	Winst	4.1	1/300=	10.0 0.41
	1.51	104	Wfin	6.0	1/200=	15.1 0.40
	1.51	106	Wnet,fin	4.1	1/300=	10.0 0.41

Nachweise (Brand)

Brandfall 1 dreiseitige Brandbeanspruchung (oben/unten/rechts) Feuerwiderstandsdauer $t_{req} = 30 \text{ min}$

Biegung

Feld 1	x [m]	Ek	$k_{mod,fi}$ [-]	$M_{yd,fi}$ [kNm]	$\sigma_{m,d,fi}$ [N/mm ²]	$f_{m,d,fi}$ [N/mm ²]	Nachweis der Biegetragfähigkeit	
							η	
							($L = 3.01 \text{ m}$, $k_{crit} = 0.44$)	
	1.51	108	0.86	9.98	11.40	25.85	1.01*	

Querkraft

Feld 1	x [m]	Ek	$k_{mod,fi}$ [-]	$V_{z,d,fi}$ [kN]	$\tau_{d,fi}$ [N/mm ²]	$f_{v,d,fi}$ [N/mm ²]	Nachweis der Querkrafttragfähigkeit	
							η	
	0.47	108	0.86	9.13	1.76	4.31	0.41	
	2.54	108	0.86	-9.13	1.76	4.31	0.41*	

Stabilität (BDK)
6.3

Nachweis der Stabilität

Der Einfluss der Stabilität ist im Nachweis der Biegetragfähigkeit enthalten. Folgende Ersatzstablängen werden berücksichtigt.

Ersatzstablängen

Feld 1	l [m]	$l_{ef,cy}$ [m]	$l_{ef,cz}$ [m]	$l_{ef,m}$ [m]
	3.01	0.00	0.00	3.01

Auflagerkräfte

Char. Auflagerkr.

charakteristische Auflagerkräfte (je Einwirkung)

	Aufl.	$F_{z,min}$ [kN]	$F_{z,max}$ [kN]
Einw. Gk	A	10.04	10.04
	B	10.04	10.04
Einw. Qk.N	A	6.44	6.44
	B	6.44	6.44
Einw. Qk.w.000	A	1.00	1.00
	B	1.00	1.00
Einw. Qk.w.090	A	-4.01	-4.01
	B	-4.01	-4.01
Einw. Qk.w.180	A	-9.70	-9.70
	B	-9.70	-9.70
Einw. Qk.w.270	A	-3.64	-3.64
	B	-3.64	-3.64
Einw. Qk.s.A	A	6.34	6.34
	B	6.34	6.34

Zusammenfassung

Zusammenfassung der Nachweise

Nachweise (GZT)

Nachweise im Grenzzustand der Tragfähigkeit

Nachweis	Feld/Auflager	x [m]	η [-]
Biegung	Feld 1	1.51	OK 0.98
Querkraft	Feld 1	2.54	OK 0.85
Auflagerpressung	Auflager A		OK 0.91

Nachweise (Brand)

Brandfall im Grenzzustand der Tragfähigkeit

Nachweis	Feld/Auflager	x [m]	η [-]
Biegung	Feld 1	1.51	OK 1.01
Querkraft	Feld 1	2.54	OK 0.41

Nachweise (GZG)

Nachweise im Grenzzust. der Gebrauchstauglichkeit

Nachweis	Feld	x [m]	η [-]
Anfangsdurchbieg.	Feld 1	1.51	OK 0.41
Enddurchbiegung	Feld 1	1.51	OK 0.40
gesamte Enddurchb.	Feld 1	1.51	OK 0.41

Pos. 2.24

Unterzug Treppe

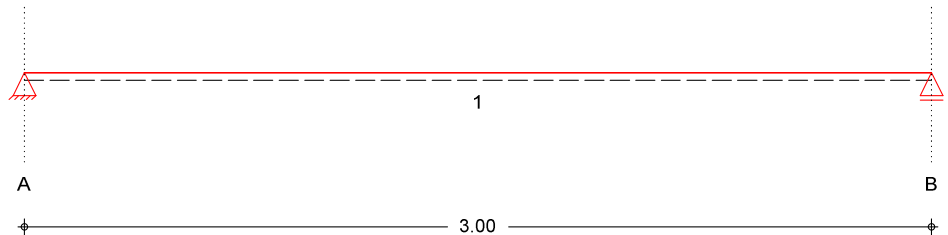
Es sind zwei Blockbohlen b/d=7,0/13,6 cm einzubauen

Die Blockbohlen sind mit Holzbrandschutzfarbe F30 fachgerecht zu streichen.

System

Holz-Einfeldträger

M 1:25



Abmessungen / Nutzungsklassen

Feld	l [m]	l _{ef,m} [m]	NKL
1	3.00	3.00	2

Auflager

Aufl.	x [m]	b [cm]	Transl. [kN/m]	Rotat. [kNm/rad]
A	0.00	20.00	starr	frei
B	3.00	20.00	starr	frei

Material

Nadelholz C24

Querschnitt

b/h = 7/13.6 cm

Einwirkungen

Gk

Ständige Einwirkungen

Qk.N

Kategorie A - Wohn- und Aufenthaltsräume

fw

Erläuterungen

feldweise (fw)

Die Lasten der Einwirkung werden als feldweise wirkend aufgeteilt.

Belastungen

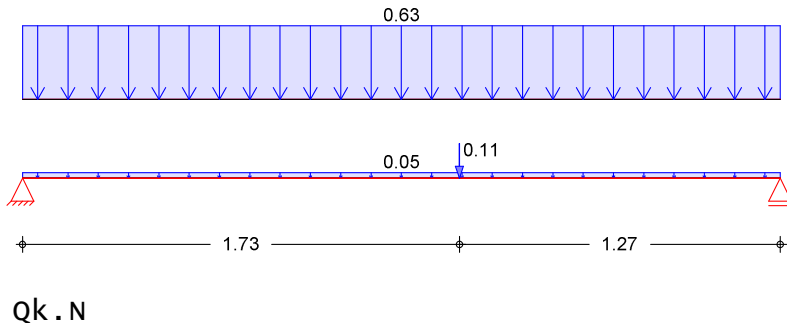
Belastungen auf das System

Grafik

Belastungsgrafiken (Einwirkungsbezogen)

Einwirkung

Gk



Streckenlasten in z-Richtung

Gleichlasten Feld Komm.

Feld	Koordinat.	a [m]	s [m]	q_i [kN/m]	q_{re} [kN/m]
(a)	1	Eigengew	0.00	3.00	0.05
	1		0.00	3.00	0.63

(a) wand $3.0 \times 0.07 \times 6 / 2 = 0.63 \text{ kN/m}$

Punktlasten in z-Richtung

Einzellasten Feld Komm.

	α [m]	β_2 [kN]
(a)	1	0.11
(a)	1	0.45

(a) aus Pos. '2.13', Lager 'A', Faktor = 0.50 (Seite 50)

Kombinationen

Kombinationsbildung nach DIN EN 1990 Darstellung der maßgebenden Kombinationen

	Ek	KLED	$\Sigma (\gamma^* \psi^* \text{EW})$
ständig/vorüberg.	1 3	st mi	1.35*Gk 1.35*Gk +1.50*Qk.N (1)
selten	6 8		1.00*Gk +1.00*Qk.N (1) 1.00*Gk +1.00*Qk.N (1)
quasi-ständig	10		1.00*Gk +0.30*Qk.N (1)
Brand	12		1.00*Gk +0.50*Qk.N (1)

st: ständig
mi: mittel

Bem.-schnittgrößen Bemessungsschnittgrößen

Tabelle Schnittgrößen (Umhüllende)

	x [m]	M _{y,d,min} [kNm]	E _k	M _{y,d,max} [kNm]	E _k	V _{z,d,min} [kN]	E _k	V _{z,d,max} [kN]	E _k
Feld 1	0.00	0.00	-	0.00	-	1.43	1	1.72	3
	1.73	1.11	1	1.61	3	-0.15	1	0.14	3
	3.00	0.00	-	0.00	-	-1.85	3	-1.46	1

Mat./Querschnitt nach DIN EN 1995-1-1

Materialien	Holz	f _{m,k}	f _{t0k}	f _{c0k}	f _{c90k}	f _{vk}	E _{0mean}	k _{fi}
	NH C24	24.0	14.0	21.0	2.5	4.0	11000	1.25

Querschnittswerte	b [cm]	h [cm]	A [cm ²]	I _y [cm ⁴]
	7.0	13.6	95.2	1467.3

Brandfall dreiseitige Brandbeanspruchung (oben/unten/rechts)
Feuerwiderstandsdauer t_{req} = 30 min

Querschnittswerte Restquerschnitt	β _n [cm]	b _r [cm]	h _r [cm]	p [cm]	A _r [cm ²]	I _{y,r} [cm ⁴]
	0.80	4.6	8.8	18.0	40.5	261.2

Nachweise (GZT) Nachweise im Grenzzustand der Tragfähigkeit nach DIN EN 1995-1-1

Biegung 6.1	Nachweis der Biegetragfähigkeit					
Feld 1	x [m]	E _k	k _{mod} [-]	M _{yd} [kNm]	σ _{m,d} [N/mm ²]	f _{m,d} [-]
	(L = 3.00 m, k _{crit} = 1.00)	1.73	3	0.80	1.61	7.46 14.77 0.51*

Querkraft 6.1.7	Nachweis der Querkrafttragfähigkeit					
Feld 1	x [m]	E _k	k _{mod} [-]	V _{z,d} [kN]	τ _d [N/mm ²]	f _{v,d} [-]
	0.20	1	0.60	1.25	0.39	1.85 0.21
	2.80	1	0.60	-1.27	0.40	1.85 0.22*

Stabilität (BDK) 6.3	Nachweis der Stabilität
Der Einfluss der Stabilität ist im Nachweis der Biegetragfähigkeit enthalten. Folgende Ersatzstablängen werden berücksichtigt.	

Ersatzstablängen	l [m]	l _{ef,cy} [m]	l _{ef,cz} [m]	l _{ef,m} [m]
Feld 1	3.00	0.00	0.00	3.00

Auflagerpressung 6.1.5	Nachweis der Auflagerpressung					
Auflager A	E _k	k _{mod} [-]	F _d [kN]	A _{ef} [cm ²]	k _{c90} [-]	σ _{c90d} [N/mm ²]
Auflager B	1	0.60	1.43	161.0	1.00	0.09
	1	0.60	1.46	161.0	1.00	0.09
						1.15 0.08

Nachweise (GZG) Nachweise im Grenzzustand der Gebrauchstauglichkeit nach DIN EN 1995-1-1

Verformungen

	x [m]	Ek	Norm	Wv orh [mm]	Wz u l [mm]	η
Feld 1	($L = 3.00 \text{ m}$, $NKL 2$, $k_{def} = 0.80$)	1.51	6 Winst	6.3	1/300=	10.0 0.63
		1.51	8 Wfin	10.5	1/200=	15.0 0.70
		1.51	10 Wnet,fin	9.5	1/300=	10.0 0.95

Nachweise (Brand)

Brandfall 1 dreiseitige Brandbeanspruchung (oben/unten/rechts) Feuerwiderstandsdauer $t_{req} = 30 \text{ min}$

Biegung

	x [m]	Ek	$k_{mod,fi}$ [-]	$M_{yd,fi}$ [kNm]	$\sigma_{m,d,fi}$ [N/mm ²]	$f_{m,d,fi}$ [N/mm ²]	η
Feld 1	($L = 3.00 \text{ m}$, $k_{crit} = 0.99$)	1.73	12	0.78	0.99	16.67	23.33 0.72*

Querkraft

	x [m]	Ek	$k_{mod,fi}$ [-]	$V_{z,d,fi}$ [kN]	$\tau_{d,fi}$ [N/mm ²]	$f_{v,d,fi}$ [N/mm ²]	η
Feld 1	0.20	12	0.78	1.02	0.76	3.89	0.19
	2.80	12	0.78	-1.07	0.79	3.89	0.20*

Stabilität (BDK)
6.3

Nachweis der Stabilität

Der Einfluss der Stabilität ist im Nachweis der Biegetragfähigkeit enthalten. Folgende Ersatzstablängen werden berücksichtigt.

Ersatzstablängen

	l [m]	$l_{ef,cy}$ [m]	$l_{ef,cz}$ [m]	$l_{ef,m}$ [m]
Feld 1	3.00	0.00	0.00	3.00

Auflagerkräfte

Char. Auflagerkr.

	charakteristische Auflagerkräfte (je Einwirkung) Aufl.	$F_{z,min}$ [kN]	$F_{z,max}$ [kN]
Einw. Gk	A	1.06	1.06
	B	1.08	1.08
Einw. Qk.N	A	0.19	0.19
	B	0.26	0.26

Zusammenfassung

Zusammenfassung der Nachweise

Nachweise (GZT) Nachweise im Grenzzustand der Tragfähigkeit

Nachweis	Feld/Auflager	x [m]	η
Biegung	Feld 1	1.73	OK 0.51
Querkraft	Feld 1	2.80	OK 0.22
Auflagerpressung	Auflager B		OK 0.08

Nachweise (Brand) Brandfall im Grenzzustand der Tragfähigkeit

Nachweis	Feld/Auflager	x [m]	η
Biegung	Feld 1	1.73	OK 0.72
Querkraft	Feld 1	2.80	OK 0.20

Nachweise (GZG) Nachweise im Grenzzust. der Gebrauchstauglichkeit

Nachweis	Feld	x [m]	η
Anfangsdurchbieg.	Feld 1	1.51	OK 0.63
Enddurchbiegung	Feld 1	1.51	OK 0.70
gesamte Enddurchb.	Feld 1	1.51	OK 0.95

Proj.Bez	Neubau eines Einfamilienhauses	Seite	78
Datum	12.03.2019	Position	2.30
	mb BauStatik S011 2012.063	Projekt	Ihmels Mekong

Pos. 2.30

Treppe

Treppe aus Holz und/oder Stahl konstruktiv gewählt nach Angabe des Herstellers.

Die Treppe ist selbsttragend herzustellen und lastet nicht auf der Balkenlage.

Proj.Bez	Neubau eines Einfamilienhauses	Seite	79
Datum	12.03.2019	Position	3.10
	mb BauStatik S011 2012.063	Projekt	Ihmels Mekong

Pos. 3.10

Sohle

Angenommen wird eine zulässige Bodenpressung des anstehenden Bodens von
 Sigma Boden = 200 KN/m²

Die Sohlplatte wird als aufgelegte Platte auf verdichtetem, sauberem Sandbett und PE-Folie, aus Beton C25/30, d = 15,0 cm, hergestellt.

Bewehrung :
 je eine Lage Q 188 unten und oben durchlaufend.
 Mattenstoßdeckung >= 3 Maschen
 Betondeckung >= 3,0 cm

alternativ:
 Stahlfaserbeton mit 25 Kg Stahlfasern je 1m³ Beton. Unter den tragenden Wänden eine Lage Q 188, b = 1,0 m, im oberen Drittel.

Es wird ein ideeller Streifen unter den tragenden Wänden als Streifenfundament belastet. Nachweis als Streifenfundament siehe folgende Positionen; erforderliche Zulagen siehe dort.

Proj.Bez	Neubau eines Einfamilienhauses	Seite	80
Datum	12.03.2019	Position	3.11
	mb BauStatik S011 2012.063	Projekt	Ihmels Mekong

Pos. 3.11

Frostschräge

Streifenfundamente gewählt : b/d = 30/80 cm; C25/30; oben und unten jeweils 2 Durchm. 12, frostsicher gründen

Pos. 4.10
Sparren Terrassenüberdachung

Die Sparren sind mittels Tellerkopfvollgewindeschrauben Ø 8 mm mit den Blockbohlen zu verbinden.

Verankerungslänge $l \geq 50$ mm

$$\text{zul. N Herausziehen} = 78,4 \times 50 = 3920 \text{ N} \geq \text{vorh. N} = 3130 \text{ N}$$

$$\text{zul. N Abscheren} = \quad \quad \quad = 2218 \text{ N}$$

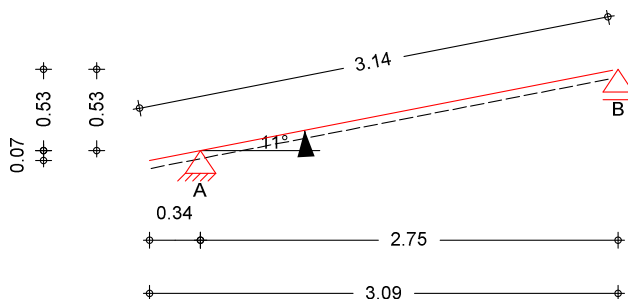
$$\text{zul. N Kopfdurchziehen} = \quad \quad \quad = 4900 \text{ N}$$

Die Sparren sind an der Blockbohlenwand am First mittels Wandbalken $b/d=4,4/17$ cm aufzulagern. Der Wandbalken ist alle 15 cm mittels vollgewindeschraube Ø 5 mm mit der wand zu verbinden

$$\text{vorh. N} = -4,84 \text{ KN/m} \times 0,15 \text{ m} = 0,726 \text{ KN} \leq \text{zul. N} = 0,932 \text{ KN}$$

Verankerungslänge $l \geq 40$ mm

System
M 1:50

1-Feld Sparren mit Kragarm


Abmessungen
Mat./Querschnitt

Feld	l [m]	Material	b/h [cm]
K1	0.34	NH C24	7.0/19.0
1	2.75		

Auflager

Lager	x [m]	z [m]	$K_{T,z}$ [kN/m] fest	$K_{T,x}$ [kN/m] fest
A	0.34	0.07		
B	3.09	0.60		frei

Dachneigung
Sparrenabstand

Dachneigungswinkel
Abstand

$$\delta = 11.0^\circ$$

$$a = 0.57 \text{ m}$$

Einwirkungen

Gk
Qk.s

Ständige Einwirkungen
Schnee- und Eislasten für
Norddeutsches Tiefland
Qk.S (min/max Werte)
Qk.S.A Fall (i)

LG 98

Qk.w

Windlasten
Qk.w (min/max Werte)
Qk.w.000 Anströmrichtung $\theta = 0^\circ$

LG 99

Qk.w.090 Anströmrichtung $\theta = 90^\circ$
 Qk.w.180 Anströmrichtung $\theta = 180^\circ$
 Qk.w.270 Anströmrichtung $\theta = 270^\circ$

Nordd. Tiefland Aufgrund der Gebäudelage im norddeutschen Tiefland wird die Einwirkung Qk.S nach DIN 1055-5 (07/05), Abs. 4.1 zusätzlich als außergewöhnliche Einwirkung mit 2.3-fachen Lastwerten berücksichtigt.

wind/Schnee

Dachform Pultdach
 Dachüberstand Giebel vorn $\ddot{u}_{Gv} = 1.00$ m
 Dachüberstand Giebel hinten $\ddot{u}_{Gh} = 1.00$ m

Gebäudeabmessungen Breite (Giebel) $B = 3.09$ m
 Länge (Traufe) $L = 5.92$ m
 Höhe (First) $H = 2.65$ m

Bauteillage Ortgangabstand $a_{ov} = 0.28$ m

geograf. Angaben Gelände über Meeressniveau $A = 15.00$ mü NN
 Gebäudestandort: Binnenland

windlasten Windzone 4, nach DIN EN 1991-1-4:2010-12
 Geschwindigkeitsdruck $q_p = 0.95$ kN/m²
 $e_B/10 = 0.53$ m $e_B/4 = 1.33$ m
 $e_L/10 = 0.31$ m $e_L/4 = 0.77$ m

B.	für Unterkonstruktion mit				$A = 1.79$	m^2		
	$C_{pe,0}$	$C_{pe,90}$	$C_{pe,180}$	$C_{pe,270}$				
	[-]				[kN/m ²]			
D	0.93		0.93		0.88		0.88	
E	-0.46		-0.46		-0.44		-0.44	
F	0.12	-2.61		0.11		-2.48		
F _{hoch}	-2.65		-2.65		-2.52		-2.52	
F _{tiefe}	-2.25		-2.25		-2.14		-2.14	
G	0.12	-2.19	-1.82	-2.19	0.11	-2.08	-1.73	-2.08
H	0.12	-1.08	-1.11	-1.08	0.11	-1.02	-1.06	-1.02
I	-0.84		-0.84		-0.80		-0.80	

B.	für Lastweiterleitung mit				$A \geq 10.00$	m^2		
	$C_{pe,0}$	$C_{pe,90}$	$C_{pe,180}$	$C_{pe,270}$				
	[-]				[kN/m ²]			
D	0.73		0.73		0.69		0.69	
E	-0.35		-0.35		-0.34		-0.34	
F	0.12	-2.42		0.11		-2.30		
F _{hoch}	-2.28		-2.28		-2.17		-2.17	
F _{tiefe}	-1.80		-1.80		-1.71		-1.71	
G	0.12	-1.86	-1.30	-1.86	0.11	-1.77	-1.23	-1.77
H	0.12	-0.72	-0.86	-0.72	0.11	-0.68	-0.82	-0.68
I	-0.62		-0.62		-0.59		-0.59	

Schneelasten Schneelastzone 2, nach DIN EN 1991-1-3:2010-12
 char. Schneelast auf dem Boden $s_k = 0.85$ kN/m²

Lastbild	μ_1	s_1
(i)	0.80	[kN/m ²] 0.68

Belastungen

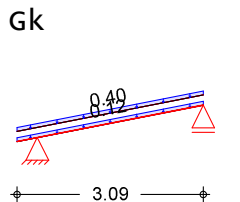
Belastungen auf das System

Grafik

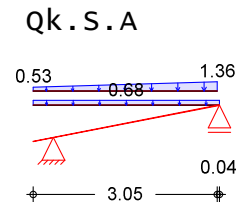
Belastungsgrafiken (Einwirkungsbezogen)

Einwirkungen

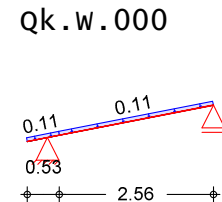
Gk



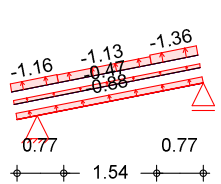
Qk.S.A



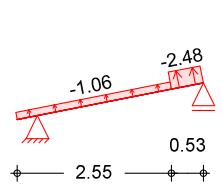
Qk.w.000



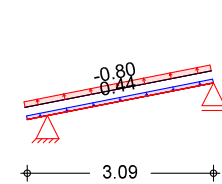
Qk.w.090



Qk.w.180



Qk.w.270



Flächenlasten in z-Richtung

Trapezflächenlasten

Feld Richt. Komm.

		a	s	q _{1i}	q _{re}
		[m]	[m]	[kN/m ²]	[kN/m ²]
Einw. Gk	K1 vert.DF Eigengew	0.00	3.09		0.12
Einw. Qk.S.A	K1 vert.DF Eindeck.	0.00	3.09		0.40
Einw. Qk.w.000	K1 vert.GF Volllast	0.00	3.09		0.68
	K1 vert.GF	0.00	3.05	0.53	1.36
Einw. Qk.w.090	K1 lokal Ber. F	0.00	0.53		0.11
	1 lokal Ber. H	0.20	2.55		0.11
Einw. Qk.w.180	K1 lokal Ber. D	0.00	3.09		-0.88
	1 lokal Ber. F hoch	1.98	0.77		-1.36
Einw. Qk.w.270	K1 lokal Ber. F tief	0.00	0.77		-1.16
	1 lokal Ber. G	0.44	1.54		-1.13
	K1 lokal Ber. H	0.00	3.09		-0.47
	1 lokal Ber. F	2.22	0.53		-2.48
	K1 lokal Ber. H	0.00	2.55		-1.06
	K1 lokal Ber. E	0.00	3.09		0.44
	K1 lokal Ber. I	0.00	3.09		-0.80

VSG-Glas

0.4 = 0.40 kN/m²

lokal: lokale Belastung orthogonal zur Dachfläche
vert.DF: vertikale Belastung bezogen auf die Dachfläche
vert.GF: vertikale Belastung bezogen auf die Grundfläche

Kombinationen

Kombinationsbildung nach DIN EN 1990

Darstellung der maßgebenden Kombinationen

ständig/vorüberg.
außergewöhnlich
quasi-ständig
selten

E _k	KLED	$\Sigma (\gamma * \psi^* E_W)$	
18	ku	1.00 * G _k	+1.50 * Q _{k.w.090}
29	ku	1.00 * G _k	+2.30 * Q _{k.S.A}
30		1.00 * G _k	
34		1.00 * G _k	+1.00 * Q _{k.w.090}
37		1.00 * G _k	+1.00 * Q _{k.S.A} + 0.60 * Q _{k.w.000}
76		1.00 * G _k	+0.20 * Q _{k.S.A}

ku: kurz

Bem.-schnittgrößen **Bemessungsschnittgrößen**

Tabelle **Schnittgrößen (je Kombination)**

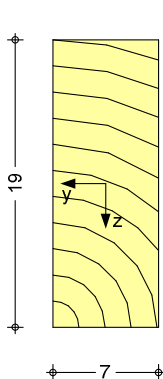
	Feld	x [m]	N _d [kN/m]	M _{y,d} [kNm/m]	V _{z,d} [kN/m]
Komb. 18	K1	0.00	0.00*	0.00*	0.00*
		0.34	0.03*	0.19*	1.11*
	1	0.00	-1.18*	0.19*	-4.63*
		1.40	-1.05	-3.11*	-0.11
		2.80	-0.91*	0.00	4.68*
Komb. 29	K1	0.00	0.00*	0.00*	0.00*
		0.34	0.22*	-0.19*	-1.12*
	1	0.00	-1.09*	-0.19*	5.59*
		1.40	-0.05	4.04*	0.26
		2.80	1.19*	0.00	-6.12*
Komb. 76	K1	0.00	0.00*	0.00*	0.00*
		0.34	0.05*	-0.04*	-0.26*
	1	0.00	-0.22*	-0.04*	1.14*
		1.40	-0.01	0.79*	0.03
		2.80	0.23*	0.00	-1.17*

Mat./Querschnitt **Material- und Querschnittswerte nach DIN EN 1995-1-1**

Material	Material	f _{mk}	f _{t0k}	f _{c0k} [N/mm ²]	f _{c90k}	f _{vk}	E _{mean}
NH C24		24.0	14.0	21.0	2.5	4.0	11000
Querschnitt	Art	b [cm]	h [cm]	A [cm ²]			
	RE	7.0	19.0	133			4001

RE: Rechteckquerschnitt

Grafik



M 1:5

Brandfall

vierseitige Brandbeanspruchung
Feuerwiderstandsdauer $t_{req} = 30 \text{ min}$
Abbrandrate $\beta_n = 0.80 \text{ mm/min}$

Querschnittswerte Restquerschnitt

	d _{char,n} [cm]	b _r [cm]	h _r [cm]	p [cm]	A _r [cm ²]	I _{y,r} [cm ⁴]
	2.4	2.2	14.2	32.8	31.2	524.9

Nutzungsklasse 2

Nachweise (GZT) Nachweise im Grenzzustand der Tragfähigkeit nach DIN EN 1995-1-1

<u>Biegung</u>		Nachweis der Biegetragfähigkeit						
6.1		x	E _k	k _{mod}	N _d	σ _{0,d}	f _{0,d}	η
Kragarm links		[m]		M _{yd}	[kN, kNm]	N/mm ²	f _{my,d}	[-]
		(L = 0.34 m, k _{c,y} = 1.00)		0.90	0.02	0.00	9.69	
		0.34	18		0.11	0.26	16.62	0.02*
Feld 1		(L = 2.80 m, k _{c,y} = 0.78)		0.90	-0.59	0.04	14.54	
		1.43	18		-1.78	4.22	16.62	0.26*

<u>Querkraft</u>		Nachweis der Querkrafttragfähigkeit						
6.1.7		x	E _k	k _{mod}	V _{z,d}	τ _d	f _{v,d}	η
Kragarm links		[m]		[-]	[kN]	N/mm ²	f _{v,d}	[-]
		0.34	18	0.90	0.63	0.14	2.77	0.05*
Feld 1		2.80	29	0.90	-3.49	0.79	3.60	0.22*

<u>Stabilität (BDK)</u>		Nachweis der Stabilität						
6.3		Der Einfluss der Stabilität ist im Nachweis der Biegetragfähigkeit enthalten. Folgende Ersatzstablängen werden berücksichtigt.						
Ersatzstablängen								

<u>Biegung</u>		Nachweis der Biegetragfähigkeit (geschwächter Querschnitt)						
6.1		t	E _k	k _{mod}	N _d	σ _{0,d}	f _{0,d}	η
Auflager A		[cm]		M _{yd}	[kN, kNm]	N/mm ²	f _{my,d}	[-]
		3.0	18	0.90	0.02	0.00	9.69	
				0.11	0.36	0.36	16.62	0.02

<u>Querkraft</u>		Nachweis der Querkrafttragfähigkeit (geschwächter Querschnitt)						
6.1.7		t	E _k	k _{mod}	V _{z,d}	τ _d	f _{v,d}	η
Auflager A		[cm]		[-]	[kN]	N/mm ²	f _{v,d}	[-]
		3.0	18	0.90	-2.64	0.71	2.77	0.26

Nachweise (Brand) Nachweise der Feuerwiderstandsfähigkeit nach DIN EN 1995-1-2

Brandfall vierseitige Brandbeanspruchung Feuerwiderstandsdauer t_{req} = 30 min

<u>Biegung</u>		Nachweis der Biegetragfähigkeit						
6.1		x	E _k	k _{mod,fi}	N _{d,fi}	σ _{0,d,fi}	f _{0,d,fi}	η
Kragarm links		[m]		M _{yd,fi}	[kN, kNm]	N/mm ²	f _{my,d,fi}	[-]
		(L = 0.34 m, k _{c,y} = 1.00)		0.68	0.03	0.01	11.93	
		0.34	76		0.48	-0.02	0.34	14.25
Feld 1		(L = 2.80 m, k _{c,y} = 0.93)						0.02*

x	E _k	k _{mod,fi}	N _{d,fi}	σ _{0,d,fi}	f _{0,d,fi}	η
[m]		[-]	M _{yd,fi} [kNm]	[N/mm ²]	f _{my,d,fi} [N/mm ²]	[-]
1.42	76	0.16	0.00	0.00	4.20	
		0.48	0.45	6.11	14.25	0.43*

Querkraft 6.1.7

Kragarm Links
Feld 1

x	E _k	k _{mod,fi}	V _{z,d,fi}	τ _{d,fi}	f _{v,d,fi}	η
[m]		[-]	[kN]	[N/mm ²]	[N/mm ²]	[-]
0.34	76	0.48	-0.15	0.14	2.38	0.06*
2.80	76	0.48	-0.67	0.64	2.38	0.27*

Stabilität (BDK) 6.3

Nachweis der Stabilität

Der Einfluss der Stabilität ist im Nachweis der Biegetragfähigkeit enthalten. Folgende Ersatzstablängen werden berücksichtigt.

Ersatzstablängen

	l	l _{ef,cy}
	[m]	[m]
Kragarm Links	0.34	0.68
Feld 1	2.80	2.80

Nachweise (GZG)

Nachweise im Grenzzustand der Gebrauchstauglichkeit nach DIN EN 1995-1-1

Verformungen

7.2

Kragarm Links

Nachweise der Verformungen

x	E _k	Norm	w _{vorh}	w _{zu l}	η
[m]			[mm]	[mm]	[-]
(L = 0.34 m, NKL 2, k _{def} = 0.80)					
0.00	34	Winst	0.8	1/150=	2.3 0.33*
0.00	34	Wfin	0.6	1/100=	3.4 0.18*
(L = 2.80 m, NKL 2, k _{def} = 0.80)					
1.42	37	Winst	2.2	1/300=	9.3 0.24*
1.41	37	Wfin	2.6	1/200=	14.0 0.19*
1.41	30	W _{net,fin}	0.9	1/300=	9.3 0.10*

Negative Verformungen wurden zur Bemessung nicht berücksichtigt.

Auflagerkräfte

je 1fd. m (Windlasten mit c_{pe,10})

charakterist. Wert

Einwirk.

	A _{v,k}	A _{h,k}	B _{v,k}
	[kN/m]	[kN/m]	[kN/m]
Gk	0.91	0.00	0.71
Qk.S.A	2.58	0.00	2.40
Qk.w.000	0.19	-0.07	0.16
Qk.w.090	-3.29	1.20	-2.90
Qk.w.180	-1.42	0.64	-1.89
Qk.w.270	-0.43	0.15	-0.36

Ankerkräfte

je Sparren (Windlasten mit c_{pe,A})

Lasteinzugsfläche des Sparren

A = 1.79 m²

Bemessungswert
Grundkomb. (Lages.)

E_k
maßgeb.

A_{v,d}
[kN]

62
68

A_{h,d}
[kN]

-3.13!
-2.03

B_{v,d}
[kN]

1.31
1.31!

-2.76!
-1.73

! abhebende Ankerkraft ist gesondert nachzuweisen

Bemessungswert außerg. K. (Lages.)	E_k^A maßgeb.	$A_{v,d}^A$ [kN]	$A_{h,d}^A$ [kN]	$B_{v,d}^A$ [kN]
	73	3.90	0.00	3.56
	74	3.87	0.00	3.54

Es treten keine abhebenden Ankerkräfte auf.

Zusammenfassung

Zusammenfassung der Nachweise

Nachweise (GZT)

Nachweise im Grenzzustand der Tragfähigkeit

Nachweis	Feld	x			η
Biegung	Feld 1	1.43	OK	0.26	
Querkraft	Feld 1	2.80	OK	0.22	
Biegung	Auflager A		OK	0.02	
Querkraft	Auflager A		OK	0.26	

Nachweise (Brand)

Brandfall im Grenzzustand der Tragfähigkeit

Nachweis	Feld	x			η
Biegung	Feld 1	1.42	OK	0.43	
Querkraft	Feld 1	2.80	OK	0.27	

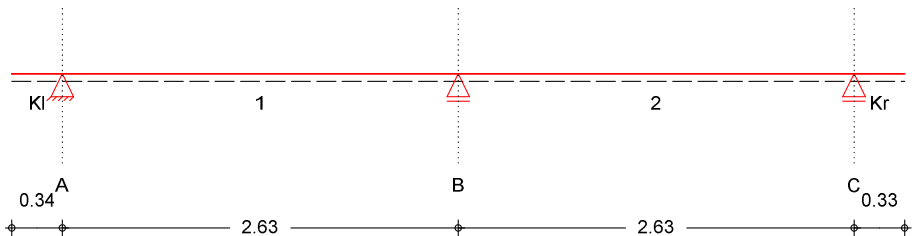
Nachweise (GZG)

Nachweise im Grenzzust. der Gebrauchstauglichkeit

Nachweis	Feld	x			η
Anfangsdurchbiegung	Kragarm	Links	0.00	OK	0.33
Enddurchbiegung	Feld 1	1.41	OK	0.19	
gesamte Enddurchbiegung	Feld 1	1.41	OK	0.10	

Pos. 4.20
Traufpfette Terrassenüberdachung

Es sind zwei Blockbohlen $b/d=7,0/13,6$ cm einzubauen.
 Die Blockbohlen sind zug- und druckfest miteinander zu verschrauben.
 Gewählt Vollgewindeschrauben Ø 8 mm; $e=20,0$ cm; Verankerungslänge $l = 80$ mm

System
Holz-Zweifeldträger mit Kragarmen
M 1:50

Abmessungen / Nutzungsklassen

Feld	l [m]	$l_{ef,m}$ [m]	NKL
Kl	0.34	0.67	2
1	2.63	2.63	2
2	2.63	2.63	2
Kr	0.34	0.67	2

Auflager

Aufl.	x [m]	b [cm]	Transl. [kN/m]	Rotat. [kNm/rad]
A	0.34	12.00	starr	frei
B	2.96	12.00	starr	frei
C	5.59	12.00	starr	frei

Material
Nadelholz C24
Querschnitt
b/h = 7/15.6 cm
Einwirkungen
Gk
Ständige Einwirkungen
Qk.w
windlasten
LG 98
Qk.w (min/max Werte)

Qk.w.000 Anströmrichtung $\theta = 0^\circ$
Qk.w.090 Anströmrichtung $\theta = 90^\circ$
Qk.w.180 Anströmrichtung $\theta = 180^\circ$
Qk.w.270 Anströmrichtung $\theta = 270^\circ$
Qk.s
Schnee- und Eislasten für Orte bis
LG 99

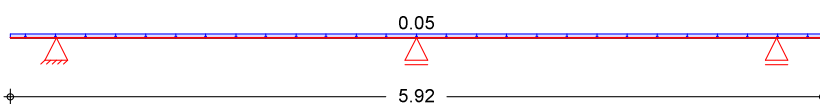
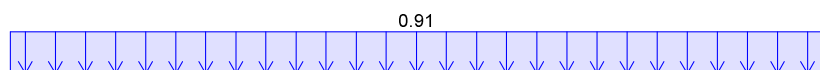
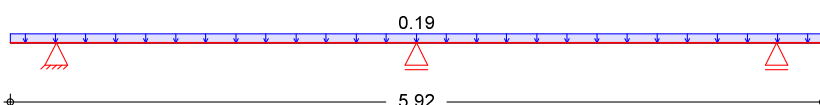
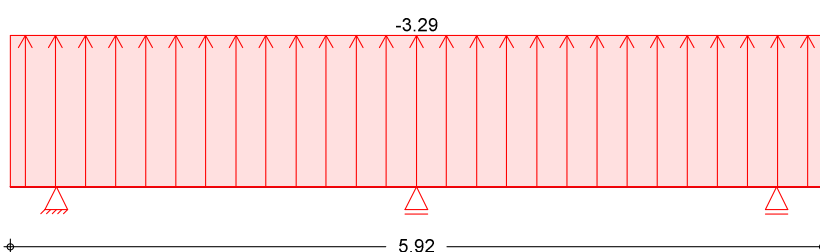
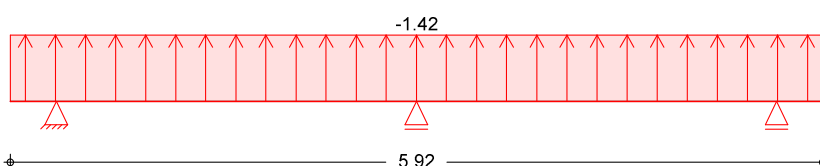
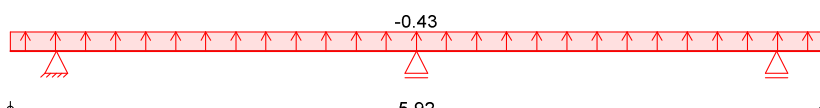
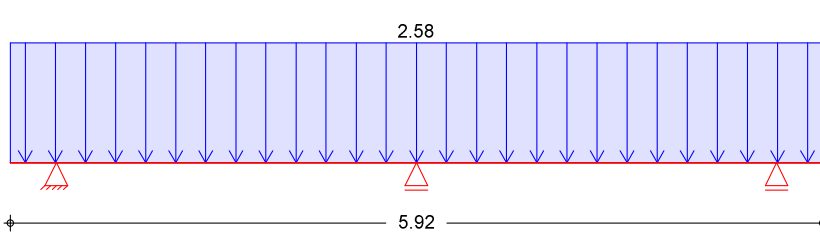
NN + 1000 m

Qk.s (min/max Werte)

Qk.s.A Fall (i)

Erläuterungen
Gruppen (LG)

Einwirkungen, die der gleichen Lastgruppe zugeordnet werden, können nicht gleichzeitig auftreten.

Belastungen**Belastungen auf das System****Grafik****Belastungsgrafiken (Einwirkungsbezogen)****Einwirkung****Gk****Qk.w.000****Qk.w.090****Qk.w.180****Qk.w.270****Qk.S.A**

<u>Streckenlasten in z-Richtung</u>	<u>Gleichlasten</u>				
	Feld	Komm.	a [m]	s [m]	
			$q_{l,i}$ [kN/m]	q_{re} [kN/m]	
Einw. Gk	K1	Eigengew	0.00	5.92	0.05
(a)	K1		0.00	5.92	0.91
Einw. Qk.w.000	(a)	K1	0.00	5.92	0.19
Einw. Qk.w.090	(a)	K1	0.00	5.92	-3.29
Einw. Qk.w.180	(a)	K1	0.00	5.92	-1.42
Einw. Qk.w.270	(a)	K1	0.00	5.92	-0.43
Einw. Qk.S.A	(a)	K1	0.00	5.92	2.58

(a) aus Pos. '4.10', Lager 'A' (Seite 86)

Kombinationen Kombinationsbildung nach DIN EN 1990
Darstellung der maßgebenden Kombinationen

ständig/vorüberg. selten	Ek	KLED	$\Sigma (\gamma * \psi^* Ew)$		
				9	ku
	31		1.00*Gk	+1.00*Qk.w.090	
	36		1.00*Gk	+0.60*Qk.w.000+1.00*Qk.s.A	
	45		1.00*Gk	+1.00*Qk.w.090	
	50		1.00*Gk	+0.60*Qk.w.000+1.00*Qk.s.A	
quasi-ständig	57		1.00*Gk		

ku: kurz

Bem.-schnittgrößen Bemessungsschnittgrößen

Tabelle Schnittgrößen (Umhüllende)

Kragarm Links	x [m]	$M_{y,d,min}$ [kNm]	Ek	$M_{y,d,max}$ [kNm]	Ek	$V_{z,d,min}$ [kN]	Ek	$V_{z,d,max}$ [kN]	Ek
	0.00	0.00	-	0.00	-	0.00	-	0.00	-
Feld 1	0.34	-0.30	9	-0.30	9	-1.79	9	-1.79	9
	0.00	-0.30	9	-0.30	9	5.43	9	5.43	9
	1.02	2.46	9	2.46	9	0.00	-	0.00	-
Feld 2	2.63	-4.45	9	-4.45	9	-8.59	9	-8.59	9
	0.00	-4.45	9	-4.45	9	8.59	9	8.59	9
	1.61	2.46	9	2.46	9	0.00	-	0.00	-
Kragarm rechts	2.63	-0.30	9	-0.30	9	-5.43	9	-5.43	9
	0.00	-0.30	9	-0.30	9	1.79	9	1.79	9
	0.34	0.00	-	0.00	-	0.00	-	0.00	-

Mat./Querschnitt nach DIN EN 1995-1-1

Materialien	Holz	$f_{m,k}$	f_{t0k}	f_{c0k}	f_{c90k} [N/mm ²]	f_{vk}	E_{0mean}
		24.0	14.0	21.0	2.5	4.0	11000
NH C24							

Querschnittswerte	b [cm]	h [cm]	A [cm ²]	I_y [cm ⁴]
	7.0	15.6	109.2	2214.6

Nachweise (GZT) Nachweise im Grenzzustand der Tragfähigkeit nach DIN EN 1995-1-1

Biegung

6.1

Kragarm links

Nachweis der Biegetragfähigkeit

x [m]	Ek	k _{mod} [-]	M _{y,d} [kNm]	σ _{m,d} [N/mm ²]	f _{m,d} [N/mm ²]	η [-]
$(L = 0.34 \text{ m}, k_{crit} = 1.00)$						
0.34	9	0.90	-0.30	1.06	16.62	0.06*
$(L = 2.63 \text{ m}, k_{crit} = 1.00)$						
2.63	9	0.90	-4.45	15.68	16.62	0.94*
$(L = 2.63 \text{ m}, k_{crit} = 1.00)$						
0.00	9	0.90	-4.45	15.68	16.62	0.94*
$(L = 0.34 \text{ m}, k_{crit} = 1.00)$						
0.00	9	0.90	-0.30	1.06	16.62	0.06*

Querkraft

6.1.7

Kragarm links

Nachweis der Querkrafttragfähigkeit

x [m]	Ek	k _{mod} [-]	V _{z,d} [kN]	τ _d [N/mm ²]	f _{v,d} [N/mm ²]	η [-]
0.12	9	0.90	-0.64	0.17	2.77	0.06
0.22	9	0.90	4.28	1.17	2.77	0.42
2.41	9	0.90	-7.44	2.04	2.77	0.74*
0.22	9	0.90	7.44	2.04	2.77	0.74
2.41	9	0.90	-4.28	1.17	2.77	0.42*
0.22	9	0.90	0.64	0.17	2.77	0.06

Stabilität (BDK)

6.3

Nachweis der Stabilität

Der Einfluss der Stabilität ist im Nachweis der Biegetragfähigkeit enthalten. Folgende Ersatzstablängen werden berücksichtigt.

Ersatzstablängen

	l [m]	l _{ef,cy} [m]	l _{ef,cz} [m]	l _{ef,m} [m]
Kragarm Links	0.34	0.00	0.00	0.67
Feld 1	2.63	0.00	0.00	2.63
Feld 2	2.63	0.00	0.00	2.63
Kragarm rechts	0.34	0.00	0.00	0.67

Auflagerpressung

6.1.5

Auflager A

Nachweis der Auflagerpressung

Ek	k _{mod} [-]	F _d [kN]	A _{ef} [cm ²]	k _{c90} [-]	σ _{c90d} [N/mm ²]	f _{c90d} [N/mm ²]	η [-]
9	0.90	7.22	126.0	1.50	0.57	2.60	0.22
9	0.90	17.19	126.0	1.50	1.36	2.60	0.53
9	0.90	7.22	126.0	1.50	0.57	2.60	0.22

Auflager B

Auflager C

Nachweise (GZG)

Nachweise im Grenzzustand der Gebrauchstauglichkeit nach DIN EN 1995-1-1

Verformungen

7.2

Kragarm links

Nachweise der Verformungen

x [m]	Ek	Norm	w _{vorh} [mm]	w _{zu l} [mm]	η [-]
$(L = 0.34 \text{ m}, NKL 2, k_{def} = 0.80)$					
0.00	31	Winst	1.1	1/150=	2.2 0.48
0.00	45	Wfin	0.7	1/100=	3.4 0.21
$(L = 2.63 \text{ m}, NKL 2, k_{def} = 0.80)$					
1.12	36	Winst	3.7	1/300=	8.8 0.42
1.12	50	Wfin	4.4	1/200=	13.1 0.34
1.12	57	W _{net,fin}	1.7	1/300=	8.8 0.20
$(L = 2.63 \text{ m}, NKL 2, k_{def} = 0.80)$					
1.51	36	Winst	3.7	1/300=	8.8 0.42

Kragarm rechts	x [m]	Ek	Norm	Wvorh [mm]	Wzul [mm]	η
	1.51	50	wfin	4.4	1/200=	13.1 0.34
	1.51	57	wnet,fin	1.7	1/300=	8.8 0.20
	(L = 0.34 m, NKL 2, kdef = 0.80)					
	0.34	31	winst	1.1	1/150=	2.2 0.48
	0.34	45	wfin	0.7	1/100=	3.4 0.21

Negative Verformungen wurden zur Bemessung nicht berücksichtigt.

Auflagerkräfte

Auflagerkräfte Träger

Char. Auflagerkr.

charakteristische Auflagerkräfte (je Einwirkung)

	Aufl.	F _{z,min} [kN]	F _{z,max} [kN]
Einw. Gk	A	1.30	1.30
	B	3.11	3.11
	C	1.30	1.30
Einw. Qk.w.000	A	0.26	0.26
	B	0.62	0.62
	C	0.26	0.26
Einw. Qk.w.090	A	-4.44	-4.44
	B	-10.57	-10.57
	C	-4.44	-4.44
Einw. Qk.w.180	A	-1.92	-1.92
	B	-4.57	-4.57
	C	-1.92	-1.92
Einw. Qk.w.270	A	-0.58	-0.58
	B	-1.37	-1.37
	C	-0.58	-0.58
Einw. Qk.s.A	A	3.48	3.48
	B	8.29	8.29
	C	3.48	3.48

Bem.-auflagerkräfte Bemessungsaufgerkräfte (maßgeb. Kombinationen)

Aufl.

Komb.	F _z [kN]
9	7.22
B	17.19
C	7.22

Zusammenfassung

Zusammenfassung der Nachweise

Nachweise (GZT)

Nachweise im Grenzzustand der Tragfähigkeit

Nachweis	Feld/Auflager	x [m]	η
Biegung	Feld 2	0.00	OK 0.94
Querkraft	Feld 1	2.41	OK 0.74
Auflagerpressung	Auflager B		OK 0.53

Nachweise (GZG)

Nachweise im Grenzzust. der Gebrauchstauglichkeit

Nachweis	Feld	x [m]	η
Anfangsdurchbieg.	Kragarm rechts	0.34	OK 0.48
Enddurchbiegung	Feld 2	1.51	OK 0.34
gesamte Enddurchb.	Feld 2	1.51	OK 0.20

Pos. 4.30
Holzstütze Terrasse innen

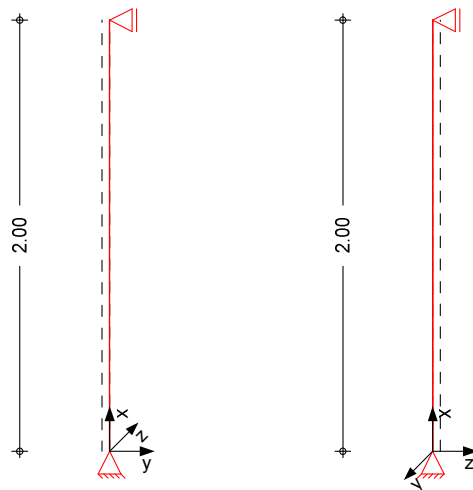
Die Stütze ist mit 2 Bolzen M 12 und 2 beidseitigen Geka-Dübel Ø 50 mm in der Blattung mit der Traufpfette zu verbinden.

Vorh. N = -12,65 KN \approx zul. N = 2 x -8,84*0,692 = -12,23 KN

System Pendelstütze aus Holz nach DIN EN 1995-1-1

System

M 1:35



Abmessungen
Mat./Querschnitt

	l [m]	Material	b/h [cm]
	2.00	NH C24	12.0/12.0

Nutzungsklasse 2 überdachte Tragwerke

Einwirkungen

Gk
Qk.w

Ständige Einwirkungen

windlasten

LG 98

Qk.w (min/max Werte)

Qk.w.000 Anströmrichtung $\theta = 0^\circ$

Qk.w.090 Anströmrichtung $\theta = 90^\circ$

Qk.w.180 Anströmrichtung $\theta = 180^\circ$

Qk.w.270 Anströmrichtung $\theta = 270^\circ$

Qk.s

Schnee- und Eislasten für Orte bis NN + 1000 m LG 99

Qk.S (min/max Werte)

Qk.S.A Fall (i)

Belastungen
Belastungen auf das System

Streckenlasten
in x-Richtung
Einw. Gk

Komm.	a [m]	s [m]	q_{1i} [kN/m]	q_{re} [kN/m]
Eigengew	0.00	2.00		0.05

Punktlasten in x-Richtung	Einzellasten Komm.	a [m]			
			F_x [kN]	e_y [cm]	e_z [cm]
Einw. <i>Gk</i>	(a)	2.00	3.11	0.0	0.0
Einw. <i>Qk.w.000</i>	(a)	2.00	0.62	0.0	0.0
Einw. <i>Qk.w.090</i>	(a)	2.00	-10.57	0.0	0.0
Einw. <i>Qk.w.180</i>	(a)	2.00	-4.57	0.0	0.0
Einw. <i>Qk.w.270</i>	(a)	2.00	-1.37	0.0	0.0
Einw. <i>Qk.S.A</i>	(a)	2.00	8.29	0.0	0.0

(a) aus Pos. '4.20', Lager 'B' (Seite 92)

Kombinationen

Kombinationsbildung nach DIN EN 1990
Darstellung der maßgebenden Kombinationen

	E _k	KLED	$\Sigma (\gamma * \psi * E_W)$
ständig/vorüberg.	8	ku	1.35*Gk + 0.90*Qk.w.000+1.50*Qk.S.A
	17	ku	+1.50*Qk.w.090
Brand	34		+0.20*Qk.S.A

ku: kurz

Bem.-schnittgrößen

Bemessungsschnittgrößen

Tabelle

Schnittgrößen (je Kombination)

	x [m]	N _d [kN]
Komb. 8 (GK)	2.00	17.19*
	0.00	17.32*
Komb. 17 (GK)	2.00	-12.75*
	0.00	-12.65*
Komb. 34 (AK)	2.00	4.76*
	0.00	4.87*

Mat./Querschnitt

Material- und Querschnittswerte nach DIN EN 1995-1-1

Material	Material	f _{mk}	f _{t0k}	f _{c0k} [N/mm ²]	f _{c90k}	f _{vk}	E _{mean}
NH C24		24.0	14.0	21.0	2.5	4.0	11000

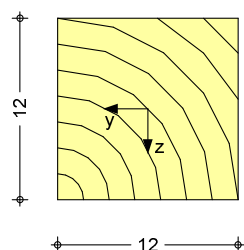
Querschnitt	Art	b _y [cm]	b _z [cm]	A [cm ²]	A	I _y [cm ⁴]	I _z [cm ⁴]
	RE	12.0	12.0	144	144	1728	1728

RE: Rechteckquerschnitt

Grafik

Querschnittsgrafik

M 1:5

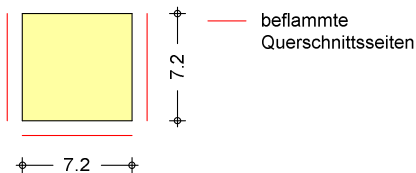


Knick-/Kippwerte	Achse	i	λ	λ_{rel}
		[m]	[m]	[m]
	y	3.46	57.74	0.98
	z	3.46	57.74	0.98
	m	12.00	16.67	0.26

Brandfall	vierseitige Brandbeanspruchung				$t_{req} =$	30	min
Querschnittswerte	β_n	b_r	h_r	p	Ar	$I_{y,r}$	$I_{z,r}$
Restquerschnitt	[mm/min]	[cm]	[cm]	[cm]	[cm ²]	[cm ⁴]	[cm ⁴]
	0.80	7.2	7.2	28.8	51.8	223.9	223.9

Grafik
M 1:5

Querschnittsgrafik



Knick-/Kippwerte	Achse	i _r	λ_{fi}	$\lambda_{rel,fi}$
		[m]	[m]	[m]
	y	2.08	96.23	1.33
	z	2.08	96.23	1.33
	m	7.20	27.78	0.35

Nachweise (GZT)

Nachweise im Grenzzustand der Tragfähigkeit nach DIN EN 1995-1-1

- Die Berücksichtigung des Kriechens ist nach DIN EN 1995-1-1/NA NCI NA.5.9 nicht erforderlich, da der ständige Lastanteil < 70% der Gesamtlast ist.

Biegung
6.1

Nachweis der Biegetragfähigkeit

x	E _k	k_{mod}	N_d	$\sigma_{0,d}$	$f_{0,d}$	η
			M _{yd}	$\sigma_{my,d}$	$f_{my,d}$	
			M _{zd}	$\sigma_{mz,d}$	$f_{mz,d}$	
[m]		[-]	[kN, kNm]	[N/mm ²]	[N/mm ²]	[-]
(L = 2.00 m, k _{c,y} = 0.70, k _{c,z} = 0.70, k _{crit} = 1.00)						
2.00	17	0.90	-12.75	0.89	9.69	
			0.00	0.00	0.00	
			0.00	0.00	0.00	0.09
0.00	8	0.90	17.32	1.20	14.54	
			0.00	0.00	0.00	
			0.00	0.00	0.00	0.12

Stabilität (BDK)
6.3

Nachweis der Stabilität

Der Einfluss der Stabilität ist im Nachweis der Biegetragfähigkeit enthalten. Folgende Ersatzstablängen werden berücksichtigt.

Ersatzstablängen

l	$l_{ef,cy}$	$l_{ef,cz}$	$l_{ef,m}$
[m]	[m]	[m]	[m]
2.00	2.00	2.00	2.00

<u>Auflagerpressung</u>	Nachweis der Auflagerpressung							
6.1.5	E_k	k_{mod}	F_d	A_{ef}	k_{c90}	σ_{c90d}	f_{c90d}	n
Stützenkopf	8	0.90	17.19	216.0	1.50	0.80	1.73	0.31
<u>Nachweise (Brand)</u>	Nachweise der Feuerwiderstandsfähigkeit nach DIN EN 1995-1-2							
Brandfall	vierseitige Brandbeanspruchung Feuerwiderstandsdauer $t_{req} = 30 \text{ min}$							
<u>Biegung</u>	Nachweis der Biegetragfähigkeit							
6.1	x	E_k	$k_{mod,fi}$	$N_{d,fi}$	$\sigma_{0,d,fi}$	$f_{0,d,fi}$	η	
				$M_{yd,fi}$	$\sigma_{my,d,fi}$	$f_{my,d,fi}$		
				$M_{zd,fi}$	$\sigma_{mz,d,fi}$	$f_{mz,d,fi}$		
	[m]		[-]	[kN, kNm]	[N/mm ²]	[N/mm ²]		
	($L = 2.00 \text{ m}$, $k_{c,y} = 0.46$, $k_{c,z} = 0.46$, $k_{crit} = 1.00$)							
	0.00	34	0.56	4.87	0.94	14.58		
			0.56	0.00	0.00	0.00		
			0.56	0.00	0.00	0.00		
							0.14	
<u>Stabilität (BDK)</u>	Nachweis der Stabilität							
6.3	Der Einfluss der Stabilität ist im Nachweis der Biegetragfähigkeit enthalten. Folgende Ersatzstablängen werden berücksichtigt.							
Ersatzstablängen			l	$l_{ef,cy}$	$l_{ef,cz}$	$l_{ef,m}$		
			[m]	[m]	[m]	[m]		
			2.00	2.00	2.00	2.00		
<u>Auflagerkräfte</u>								
Char. Auflagerkr.	Aufl.	$F_{v,k}$	$F_{Hz,k}$	$F_{Hy,k}$	$M_{y,k}$	$M_{z,k}$		
		[kN]	[kN]	[kN]	[kNm]	[kNm]		
Einw. G_k	A	3.21	0.00	0.00	0.00	0.00		
	B	0.00	0.00	0.00	0.00	0.00		
Einw. $Q_k.w.000$	A	0.62	0.00	0.00	0.00	0.00		
	B	0.00	0.00	0.00	0.00	0.00		
Einw. $Q_k.w.090$	A	-10.57	0.00	0.00	0.00	0.00		
	B	0.00	0.00	0.00	0.00	0.00		
Einw. $Q_k.w.180$	A	-4.57	0.00	0.00	0.00	0.00		
	B	0.00	0.00	0.00	0.00	0.00		
Einw. $Q_k.w.270$	A	-1.37	0.00	0.00	0.00	0.00		
	B	0.00	0.00	0.00	0.00	0.00		
Einw. $Q_k.s.A$	A	8.29	0.00	0.00	0.00	0.00		
	B	0.00	0.00	0.00	0.00	0.00		
Bem.-auflagerkräfte	Aufl.	$F_{v,d}$	$F_{Hz,d}$	$F_{Hy,d}$	$M_{y,d}$	$M_{z,d}$		
		[kN]	[kN]	[kN]	[kNm]	[kNm]		
Komb. 1	A	4.33	0.00	0.00	0.00	0.00		
	B	0.00	0.00	0.00	0.00	0.00		
Komb. 2	A	5.25	0.00	0.00	0.00	0.00		
	B	0.00	0.00	0.00	0.00	0.00		
Komb. 3	A	-11.53	0.00	0.00	0.00	0.00		
	B	0.00	0.00	0.00	0.00	0.00		
Komb. 4	A	-2.53	0.00	0.00	0.00	0.00		
	B	0.00	0.00	0.00	0.00	0.00		
Komb. 5	A	2.27	0.00	0.00	0.00	0.00		
	B	0.00	0.00	0.00	0.00	0.00		
Komb. 6	A	16.77	0.00	0.00	0.00	0.00		

	Aufl.	F _{v,d} [kN]	F _{Hx,d} [kN]	F _{Hy,d} [kN]	M _{y,d} [kNm]	M _{z,d} [kNm]
	B	0.00	0.00	0.00	0.00	0.00
Komb. 7	A	11.47	0.00	0.00	0.00	0.00
	B	0.00	0.00	0.00	0.00	0.00
Komb. 8	A	17.32	0.00	0.00	0.00	0.00
	B	0.00	0.00	0.00	0.00	0.00
Komb. 9	A	-5.31	0.00	0.00	0.00	0.00
	B	0.00	0.00	0.00	0.00	0.00
Komb. 10	A	7.25	0.00	0.00	0.00	0.00
	B	0.00	0.00	0.00	0.00	0.00
Komb. 11	A	3.69	0.00	0.00	0.00	0.00
	B	0.00	0.00	0.00	0.00	0.00
Komb. 12	A	12.65	0.00	0.00	0.00	0.00
	B	0.00	0.00	0.00	0.00	0.00
Komb. 13	A	8.49	0.00	0.00	0.00	0.00
	B	0.00	0.00	0.00	0.00	0.00
Komb. 14	A	15.53	0.00	0.00	0.00	0.00
	B	0.00	0.00	0.00	0.00	0.00
Komb. 15	A	3.21	0.00	0.00	0.00	0.00
	B	0.00	0.00	0.00	0.00	0.00
Komb. 16	A	4.13	0.00	0.00	0.00	0.00
	B	0.00	0.00	0.00	0.00	0.00
Komb. 17	A	-12.65	0.00	0.00	0.00	0.00
	B	0.00	0.00	0.00	0.00	0.00
Komb. 18	A	-3.65	0.00	0.00	0.00	0.00
	B	0.00	0.00	0.00	0.00	0.00
Komb. 19	A	1.15	0.00	0.00	0.00	0.00
	B	0.00	0.00	0.00	0.00	0.00
Komb. 20	A	15.65	0.00	0.00	0.00	0.00
	B	0.00	0.00	0.00	0.00	0.00
Komb. 21	A	10.35	0.00	0.00	0.00	0.00
	B	0.00	0.00	0.00	0.00	0.00
Komb. 22	A	16.20	0.00	0.00	0.00	0.00
	B	0.00	0.00	0.00	0.00	0.00
Komb. 23	A	-6.43	0.00	0.00	0.00	0.00
	B	0.00	0.00	0.00	0.00	0.00
Komb. 24	A	6.13	0.00	0.00	0.00	0.00
	B	0.00	0.00	0.00	0.00	0.00
Komb. 25	A	2.57	0.00	0.00	0.00	0.00
	B	0.00	0.00	0.00	0.00	0.00
Komb. 26	A	11.53	0.00	0.00	0.00	0.00
	B	0.00	0.00	0.00	0.00	0.00
Komb. 27	A	7.37	0.00	0.00	0.00	0.00
	B	0.00	0.00	0.00	0.00	0.00
Komb. 28	A	14.41	0.00	0.00	0.00	0.00
	B	0.00	0.00	0.00	0.00	0.00
Komb. 29	A	3.21	0.00	0.00	0.00	0.00
	B	0.00	0.00	0.00	0.00	0.00
Komb. 30	A	3.33	0.00	0.00	0.00	0.00
	B	0.00	0.00	0.00	0.00	0.00
Komb. 31	A	1.09	0.00	0.00	0.00	0.00
	B	0.00	0.00	0.00	0.00	0.00
Komb. 32	A	2.29	0.00	0.00	0.00	0.00
	B	0.00	0.00	0.00	0.00	0.00
Komb. 33	A	2.93	0.00	0.00	0.00	0.00
	B	0.00	0.00	0.00	0.00	0.00
Komb. 34	A	4.87	0.00	0.00	0.00	0.00
	B	0.00	0.00	0.00	0.00	0.00

Zusammenfassung

Zusammenfassung der Nachweise

Nachweise (GZT)

Nachweise im Grenzzustand der Tragfähigkeit

Nachweis

	x	[m]	-	[-]
Biegung	0.00	OK	0.12	
Druck	2.00	OK	0.31	

Nachweise (Brand)

Brandfall im Grenzzustand der Tragfähigkeit

vierseitige Brandbeanspruchung

Feuerwiderstandsdauer $t_{req} = 30 \text{ min}$

Nachweis

	x	[m]	-	[-]
Biegung	0.00	OK	0.14	

Pos. 4.31
Holzstütze Terrasse außen

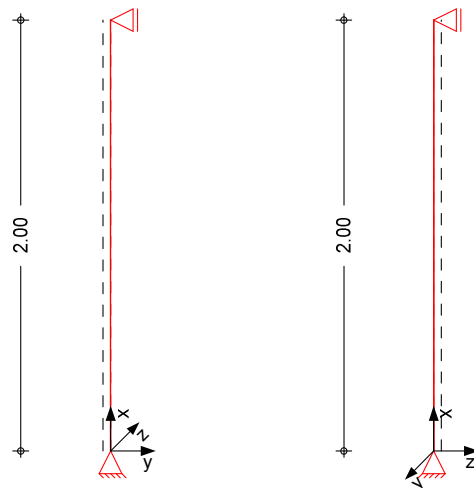
Die Stütze ist mit 1 Bolzen M 12 und 2 beidseitigen Geka-Dübel Ø 50 mm in der Blattung mit der Traufpfette zu verbinden.

Vorh. N = -5,36 KN \approx zul. N = 1 x $-8,84 \cdot 0,692 = -6,12$ KN

System Pendelstütze aus Holz nach DIN EN 1995-1-1

System

M 1:35



Abmessungen
Mat./Querschnitt

	l [m]	Material	b/h [cm]
	2.00	NH C24	12.0/12.0

Nutzungsklasse 2 überdachte Tragwerke

Einwirkungen

Gk
Qk.w

Ständige Einwirkungen		LG 98
Windlasten		
Qk.w	(min/max Werte)	
Qk.w.000	Anströmrichtung $\theta = 0^\circ$	
Qk.w.090	Anströmrichtung $\theta = 90^\circ$	
Qk.w.180	Anströmrichtung $\theta = 180^\circ$	
Qk.w.270	Anströmrichtung $\theta = 270^\circ$	

Qk.s

Schnee- und Eislasten für Orte bis NN + 1000 m	LG 99
Qk.S	(min/max Werte)
Qk.S.A	Fall (i)

Belastungen
Belastungen auf das System

Streckenlasten
in x-Richtung
Einw. Gk

Komm.	a [m]	s [m]	q_{1i} [kN/m]	q_{re} [kN/m]
Eigengew	0.00	2.00		0.05

Punktlasten in x-Richtung	Einzellasten Komm.	a [m]			
			F_x [kN]	e_y [cm]	e_z [cm]
Einw. <i>Gk</i>	(a)	2.00	1.30	0.0	0.0
Einw. <i>Qk.w.000</i>	(a)	2.00	0.26	0.0	0.0
Einw. <i>Qk.w.090</i>	(a)	2.00	-4.44	0.0	0.0
Einw. <i>Qk.w.180</i>	(a)	2.00	-1.92	0.0	0.0
Einw. <i>Qk.w.270</i>	(a)	2.00	-0.58	0.0	0.0
Einw. <i>Qk.S.A</i>	(a)	2.00	3.48	0.0	0.0

(a)

aus Pos. '4.20', Lager 'A' (Seite 92)

Kombinationen

Kombinationsbildung nach DIN EN 1990
Darstellung der maßgebenden Kombinationen

	E _k	KLED	$\Sigma (\gamma * \psi * E_W)$	
ständig/vorüberg.	8	ku	1.35*Gk	+0.90*Qk.w.000+1.50*Qk.s.A
	17	ku	1.00*Gk	+1.50*Qk.w.090
Brand	34		1.00*Gk	+0.20*Qk.s.A

ku: kurz

Bem.-schnittgrößen

Bemessungsschnittgrößen

Tabelle

Schnittgrößen (je Kombination)

	x [m]	N _d [kN]
Komb. 8 (GK)	2.00	7.22*
	0.00	7.36*
Komb. 17 (GK)	2.00	-5.36*
	0.00	-5.26*
Komb. 34 (AK)	2.00	2.00*
	0.00	2.10*

Mat./Querschnitt

Material- und Querschnittswerte nach DIN EN 1995-1-1

Material	Material	f _{mk}	f _{t0k}	f _{c0k} [N/mm ²]	f _{c90k}	f _{vk}	E _{mean}
NH C24		24.0	14.0	21.0	2.5	4.0	11000

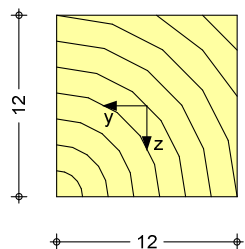
Querschnitt	Art	b _y [cm]	b _z [cm]	A [cm ²]	I _y [cm ⁴]	I _z [cm ⁴]
	RE	12.0	12.0	144	1728	1728

RE: Rechteckquerschnitt

Grafik

Querschnittsgrafik

M 1:5

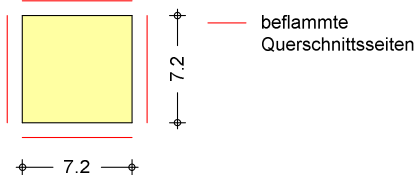


Knick-/Kippwerte	Achse	i	λ	λ_{rel}
		[m]	[m]	[m]
	y	3.46	57.74	0.98
	z	3.46	57.74	0.98
	m	12.00	16.67	0.26

Brandfall	vierseitige Brandbeanspruchung				$t_{req} =$	30	min
Querschnittswerte	β_n	b_r	h_r	p	A_r	$I_{y,r}$	$I_{z,r}$
Restquerschnitt	[mm/min]	[cm]	[cm]	[cm]	[cm ²]	[cm ⁴]	[cm ⁴]
	0.80	7.2	7.2	28.8	51.8	223.9	223.9

Grafik
M 1:5

Querschnittsgrafik



Knick-/Kippwerte	Achse	i _r	λ_{fi}	$\lambda_{rel,fi}$
		[m]	[m]	[m]
	y	2.08	96.23	1.33
	z	2.08	96.23	1.33
	m	7.20	27.78	0.35

Nachweise (GZT)

Nachweise im Grenzzustand der Tragfähigkeit nach DIN EN 1995-1-1

- Die Berücksichtigung des Kriechens ist nach DIN EN 1995-1-1/NA NCI NA.5.9 nicht erforderlich, da der ständige Lastanteil < 70% der Gesamtlast ist.

Biegung
6.1

Nachweis der Biegetragfähigkeit

x	E _k	k_{mod}	N_d	$\sigma_{0,d}$	$f_{0,d}$	η
			M _{yd}	$\sigma_{my,d}$	$f_{my,d}$	
			M _{zd}	$\sigma_{mz,d}$	$f_{mz,d}$	
[m]		[-]	[kN, kNm]	[N/mm ²]	[N/mm ²]	[-]
(L = 2.00 m, k _{c,y} = 0.70, k _{c,z} = 0.70, k _{crit} = 1.00)						
2.00	17	0.90	-5.36	0.37	9.69	
			0.00	0.00	0.00	
			0.00	0.00	0.00	0.04
0.00	8	0.90	7.36	0.51	14.54	
			0.00	0.00	0.00	
			0.00	0.00	0.00	0.05

Stabilität (BDK)
6.3

Nachweis der Stabilität

Der Einfluss der Stabilität ist im Nachweis der Biegetragfähigkeit enthalten. Folgende Ersatzstablängen werden berücksichtigt.

Ersatzstablängen

l	$l_{ef,cy}$	$l_{ef,cz}$	$l_{ef,m}$
[m]	[m]	[m]	[m]
2.00	2.00	2.00	2.00

<u>Auflagerpressung</u>	Nachweis der Auflagerpressung							
6.1.5	E_k	k_{mod}	F_d	A_{ef}	k_{c90}	σ_{c90d}	f_{c90d}	n
Stützenkopf	8	0.90	7.22	216.0	1.50	0.33	1.73	0.13
<u>Nachweise (Brand)</u>	Nachweise der Feuerwiderstandsfähigkeit nach DIN EN 1995-1-2							
Brandfall	vierseitige Brandbeanspruchung Feuerwiderstandsdauer $t_{req} = 30 \text{ min}$							
<u>Biegung</u>	Nachweis der Biegetragfähigkeit							
6.1	x	E_k	$k_{mod,fi}$	$N_{d,fi}$	$\sigma_{0,d,fi}$	$f_{0,d,fi}$	η	
				$M_{yd,fi}$	$\sigma_{my,d,fi}$	$f_{my,d,fi}$		
				$M_{zd,fi}$	$\sigma_{mz,d,fi}$	$f_{mz,d,fi}$		
	[m]		[-]	[kN, kNm]	[N/mm ²]	[N/mm ²]		
	($L = 2.00 \text{ m}$, $k_{c,y} = 0.46$, $k_{c,z} = 0.46$, $k_{crit} = 1.00$)							
	0.00	34	0.56	2.10	0.41	14.58		
			0.56	0.00	0.00	0.00		
			0.56	0.00	0.00	0.00		
			0.56	0.00	0.00	0.00	0.06	
<u>Stabilität (BDK)</u>	Nachweis der Stabilität							
6.3	Der Einfluss der Stabilität ist im Nachweis der Biegetragfähigkeit enthalten. Folgende Ersatzstablängen werden berücksichtigt.							
Ersatzstablängen			l	$l_{ef,cy}$	$l_{ef,cz}$	$l_{ef,m}$		
			[m]	[m]	[m]	[m]		
			2.00	2.00	2.00	2.00		
<u>Auflagerkräfte</u>								
Char. Auflagerkr.	Aufl.	$F_{v,k}$	$F_{Hz,k}$	$F_{Hy,k}$	$M_{y,k}$	$M_{z,k}$		
		[kN]	[kN]	[kN]	[kNm]	[kNm]		
Einw. G_k	A	1.41	0.00	0.00	0.00	0.00		
	B	0.00	0.00	0.00	0.00	0.00		
Einw. $Q_k.w.000$	A	0.26	0.00	0.00	0.00	0.00		
	B	0.00	0.00	0.00	0.00	0.00		
Einw. $Q_k.w.090$	A	-4.44	0.00	0.00	0.00	0.00		
	B	0.00	0.00	0.00	0.00	0.00		
Einw. $Q_k.w.180$	A	-1.92	0.00	0.00	0.00	0.00		
	B	0.00	0.00	0.00	0.00	0.00		
Einw. $Q_k.w.270$	A	-0.58	0.00	0.00	0.00	0.00		
	B	0.00	0.00	0.00	0.00	0.00		
Einw. $Q_k.s.A$	A	3.48	0.00	0.00	0.00	0.00		
	B	0.00	0.00	0.00	0.00	0.00		
Bem.-auflagerkräfte	Aufl.	$F_{v,d}$	$F_{Hz,d}$	$F_{Hy,d}$	$M_{y,d}$	$M_{z,d}$		
		[kN]	[kN]	[kN]	[kNm]	[kNm]		
Komb. 1	A	1.90	0.00	0.00	0.00	0.00		
	B	0.00	0.00	0.00	0.00	0.00		
Komb. 2	A	2.29	0.00	0.00	0.00	0.00		
	B	0.00	0.00	0.00	0.00	0.00		
Komb. 3	A	-4.76	0.00	0.00	0.00	0.00		
	B	0.00	0.00	0.00	0.00	0.00		
Komb. 4	A	-0.98	0.00	0.00	0.00	0.00		
	B	0.00	0.00	0.00	0.00	0.00		
Komb. 5	A	1.03	0.00	0.00	0.00	0.00		
	B	0.00	0.00	0.00	0.00	0.00		
Komb. 6	A	7.12	0.00	0.00	0.00	0.00		

	Aufl.	F _{v,d} [kN]	F _{Hz,d} [kN]	F _{Hy,d} [kN]	M _{y,d} [kNm]	M _{z,d} [kNm]
	B	0.00	0.00	0.00	0.00	0.00
Komb. 7	A	4.90	0.00	0.00	0.00	0.00
	B	0.00	0.00	0.00	0.00	0.00
Komb. 8	A	7.36	0.00	0.00	0.00	0.00
	B	0.00	0.00	0.00	0.00	0.00
Komb. 9	A	-2.15	0.00	0.00	0.00	0.00
	B	0.00	0.00	0.00	0.00	0.00
Komb. 10	A	3.13	0.00	0.00	0.00	0.00
	B	0.00	0.00	0.00	0.00	0.00
Komb. 11	A	1.63	0.00	0.00	0.00	0.00
	B	0.00	0.00	0.00	0.00	0.00
Komb. 12	A	5.39	0.00	0.00	0.00	0.00
	B	0.00	0.00	0.00	0.00	0.00
Komb. 13	A	3.65	0.00	0.00	0.00	0.00
	B	0.00	0.00	0.00	0.00	0.00
Komb. 14	A	6.60	0.00	0.00	0.00	0.00
	B	0.00	0.00	0.00	0.00	0.00
Komb. 15	A	1.41	0.00	0.00	0.00	0.00
	B	0.00	0.00	0.00	0.00	0.00
Komb. 16	A	1.79	0.00	0.00	0.00	0.00
	B	0.00	0.00	0.00	0.00	0.00
Komb. 17	A	-5.26	0.00	0.00	0.00	0.00
	B	0.00	0.00	0.00	0.00	0.00
Komb. 18	A	-1.47	0.00	0.00	0.00	0.00
	B	0.00	0.00	0.00	0.00	0.00
Komb. 19	A	0.54	0.00	0.00	0.00	0.00
	B	0.00	0.00	0.00	0.00	0.00
Komb. 20	A	6.63	0.00	0.00	0.00	0.00
	B	0.00	0.00	0.00	0.00	0.00
Komb. 21	A	4.41	0.00	0.00	0.00	0.00
	B	0.00	0.00	0.00	0.00	0.00
Komb. 22	A	6.86	0.00	0.00	0.00	0.00
	B	0.00	0.00	0.00	0.00	0.00
Komb. 23	A	-2.64	0.00	0.00	0.00	0.00
	B	0.00	0.00	0.00	0.00	0.00
Komb. 24	A	2.63	0.00	0.00	0.00	0.00
	B	0.00	0.00	0.00	0.00	0.00
Komb. 25	A	1.14	0.00	0.00	0.00	0.00
	B	0.00	0.00	0.00	0.00	0.00
Komb. 26	A	4.90	0.00	0.00	0.00	0.00
	B	0.00	0.00	0.00	0.00	0.00
Komb. 27	A	3.15	0.00	0.00	0.00	0.00
	B	0.00	0.00	0.00	0.00	0.00
Komb. 28	A	6.11	0.00	0.00	0.00	0.00
	B	0.00	0.00	0.00	0.00	0.00
Komb. 29	A	1.41	0.00	0.00	0.00	0.00
	B	0.00	0.00	0.00	0.00	0.00
Komb. 30	A	1.46	0.00	0.00	0.00	0.00
	B	0.00	0.00	0.00	0.00	0.00
Komb. 31	A	0.52	0.00	0.00	0.00	0.00
	B	0.00	0.00	0.00	0.00	0.00
Komb. 32	A	1.02	0.00	0.00	0.00	0.00
	B	0.00	0.00	0.00	0.00	0.00
Komb. 33	A	1.29	0.00	0.00	0.00	0.00
	B	0.00	0.00	0.00	0.00	0.00
Komb. 34	A	2.10	0.00	0.00	0.00	0.00
	B	0.00	0.00	0.00	0.00	0.00

Zusammenfassung

Zusammenfassung der Nachweise

Nachweise (GZT)

Nachweise im Grenzzustand der Tragfähigkeit

Nachweis

	x	[m]	-	[-]
Biegung	0.00	OK	0.05	
Druck	2.00	OK	0.13	

Nachweise (Brand)

Brandfall im Grenzzustand der Tragfähigkeit

vierseitige Brandbeanspruchung

Feuerwiderstandsdauer $t_{req} = 30 \text{ min}$

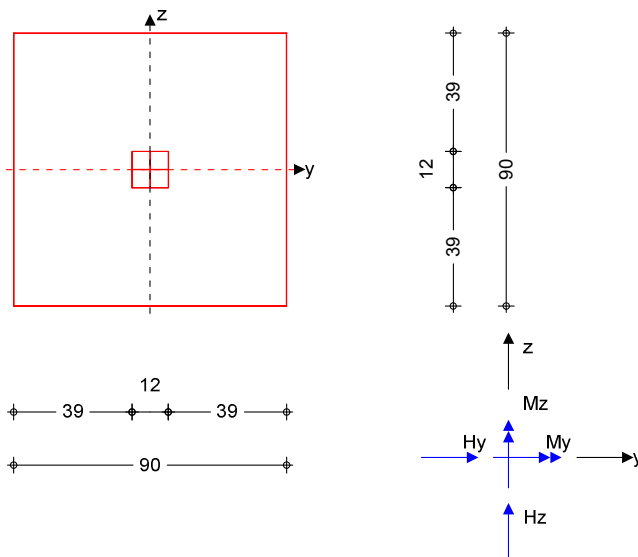
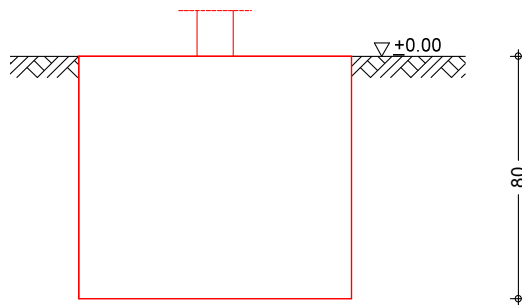
Nachweis

	x	[m]	-	[-]
Biegung	0.00	OK	0.06	

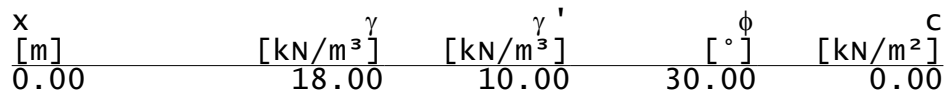
Pos. 5.10
Einzelfundament Terrasse innen

Die Stütze ist zug- und druckfest und fachgerecht mit dem Fundament zu verbinden. Es ist ein Pfostenträger zu verwenden, der Zuglasten nach Herstellerangabe von $\geq 12,65$ KN aufnehmen kann.

System
M 1:25



Fundamentplatte	Länge Breite Dicke	by = 0.90 bz = 0.90 h = 0.80	m m m
Stütze	Stützenabmessung	cy = 0.12 cz = 0.12	m m
Boden	Wasserstand von OKG	GW = 99.00	m



Einwirkungen

Gk	Ständige Einwirkungen			
Qk.w	windlasten			LG 98
	Qk.w	(min/max Werte)		
	Qk.w.000	Anströmrichtung $\theta = 0^\circ$		
	Qk.w.090	Anströmrichtung $\theta = 90^\circ$		
	Qk.w.180	Anströmrichtung $\theta = 180^\circ$		
	Qk.w.270	Anströmrichtung $\theta = 270^\circ$		
Qk.s	Schnee- und Eislasten für Orte bis NN + 1000 m			LG 99
	Qk.S	(min/max Werte)		
	Qk.S.A	Fall (i)		
#Fundam.	# Eigenlast Fundament			
#Fundam*	# Eigenlast Fundament mit red. Wichte des Betons			
	Ständige Einwirkungen			

Die Einwirkung wurde automatisch generiert.

Belastungen

Zusammenstellungen

Auflagerlasten	Auflagerlasten aus der Stütze aus Pos. '4.30', Lager 'A' (Seite 96)	
----------------	--	--

Auflagerlasten	Auflagerlasten aus der Stütze					
EW	F_x [kN]	M_y [kNm]	M_z [kNm]	F_y [kN]	F_z [kN]	
Gk	3.21	0.00	0.00	0.00	0.00	
Qk.S.A	8.29	0.00	0.00	0.00	0.00	
Qk.w.000	0.62	0.00	0.00	0.00	0.00	
Qk.w.090	-10.57	0.00	0.00	0.00	0.00	
Qk.w.180	-4.57	0.00	0.00	0.00	0.00	
Qk.w.270	-1.37	0.00	0.00	0.00	0.00	

Eigengewicht

Auflagerlasten	Automatisch generierte Eigengewichte		
EW		γ [kN/m²]	G [kN]
#Fundam.		24.00	15.55
#Fundam*		23.00	14.90

*: Eigengewichte für Abhebenachweis mit reduzierter Wichte des Betons

char. Schnittgrößen

EW	F_{x,k} [kN]	M_{y,k} [kNm]	M_{z,k} [kNm]	F_{y,k} [kN]	F_{z,k} [kN]
Gk	3.21	0.00	0.00	0.00	0.00
Qk.w.000	0.62	0.00	0.00	0.00	0.00
Qk.w.090	-10.57	0.00	0.00	0.00	0.00
Qk.w.180	-4.57	0.00	0.00	0.00	0.00
Qk.w.270	-1.37	0.00	0.00	0.00	0.00
Qk.S.A	8.29	0.00	0.00	0.00	0.00
#Fundam.	15.55	0.00	0.00	0.00	0.00
#Fundam*	14.90	0.00	0.00	0.00	0.00

Kombinationen

Standsicherheit	Nachweis des Sohldrucks
GZ GEO-2: Grenzzustand Versagen von Bauwerken	
Ek Typ $\Sigma (\gamma * \text{EW})$	
7 BS-P $1.35*Gk+1.35*\#Fundam.+1.50*Qk.w.000$ $+1.50*Qk.S.A$	

Standsicherheit	Nachweis der Sicherheit gegen Auftrieb/Abheben
GZ UPL: Grenzzustand Versagen durch Aufschwimmen: Grenzzustand Verlust Lage	
Ek Typ $\Sigma (\gamma * \text{EW})$	
33 BS-P $0.95*Gk+0.95*\#Fundam.*+1.50*Qk.w.090$	

Biegebemessung

Kombinationen nach DIN EN 1990

Ek	Typ	$\Sigma (\gamma * \psi * \text{EW})$
8 GK		$1.35*Gk+1.35*\#Fundam.+0.90*Qk.w.000$ $+1.50*Qk.S.A$

Bem.-schnittgrößen

DIN EN 1997-1

Nachweis des Sohldrucks

Ek	$F_{x,E,d}$ [kN]	$M_{y,E,d}$ [kNm]	$M_{z,E,d}$ [kNm]	$F_{y,E,d}$ [kN]	$F_{z,E,d}$ [kN]
7	38.69	0.00	0.00	0.00	0.00

DIN EN 1997-1

Nachweis gegen Auftrieb/Abheben

Ek	$G_{st,b,d}$ [kN]	$G_{st,t,d}$ [kN]	$Q_{st,t,d}$ [kN]
33	17.21	0.00	-15.86

DIN EN 1992-1-1

Biegebemessung

Ek	$F_{x,E,d}$ [kN]	$M_{y,E,d}$ [kNm]	$M_{z,E,d}$ [kNm]	$F_{y,E,d}$ [kN]	$F_{z,E,d}$ [kN]
8	38.32	0.00	0.00	0.00	0.00

Lagesicherheit

Lagesicherheitsnachweis gem. DIN EN 1990

Keine Ausmittigkeit - Nachweis entfällt

Standsicherheit

Standsicherheitsnachweise gem. DIN EN 1997-1:2009-09

ständige Situationen

1. Kernweite

nach DIN EN 1997-1:2009-09, GZ SLS

Keine maßg. Schnittkräfte vorhanden.
Der Nachweis entfällt

2. Kernweite

nach DIN EN 1997-1:2009-09

Keine maßg. Schnittkräfte vorhanden.
Der Nachweis entfällt

Mittlerer Sohldruck

nach DIN 1054:2010-12

Maßg. Beanspruchung Kombination
Bemessungssituation BS-P
Bemessungswert Sohldruck

Ek 7

$\sigma_{E,d} = 47.76 \text{ kN/m}^2$

Proj.Bez	Neubau eines Einfamilienhauses	Seite	108
Datum	12.03.2019	Position	5.10
	mb BauStatik S511.de 2012.063	Projekt	Ihmels Mekong

aufnehmbarer mittl. Sohldruck $\sigma_{R,d} = 200.00 \text{ kN/m}^2$

$$\sigma_E, d \leq \sigma_{R,d}$$

$$47.762 \leq 200.000$$

Gleiten in Sohlfuge nach DIN EN 1997-1:2009-09, GZ GEO-2
Keine maßg. Schnittkräfte vorhanden.
Der Nachweis entfällt

Auftrieb/Abheben nach DIN EN 1997-1:2009-09, GZ HYD und UPL
Maßg. Beanspruchung Kombination EK 33
Bemessungssituation BS-P
stabilisierend $V_{stb,d} = 17.21 \text{ kN}$
destabilisierend $V_{dst,d} = -15.86 \text{ kN}$

$$V_{dst,d} \leq V_{stb,d}$$

$$|-15.858| \leq 17.205$$

Bemessung (GZT) Stahlbetonnachweise gem. DIN EN 1992-1-1:2011-01
Beton C 25/30

Biegebemessung

Unbew. Fundament nach DIN EN 1992-1-1, 12.9.3

E _k	8	M _y max =	1.46 kNm
E _k	8	M _z max =	1.46 kNm
Fundamenthöhe		h _F =	0.80 m
Charakt. Betonzugfestigkeit	f _{ck}	=	1.80 N/mm ²
Teilsicherheitsbeiwert	γ_c	=	1.80
Bem. Wert Betonzugfestigkeit	f _{ctd}	=	1.00 N/mm ²

R _i	a [m]	w [m ³]	σ_{ct} [N/mm ²]
y	0.3900	0.0694	0.0211
z	0.3900	0.0694	0.0211

Nachweise
 h_F/a 2.051 >= 1.00
 $\sigma_{ct} \leq f_{ctd}$ 0.021 <= 1.00

Zusammenfassung

Nachweise (GZT) Zusammenfassung der Nachweise

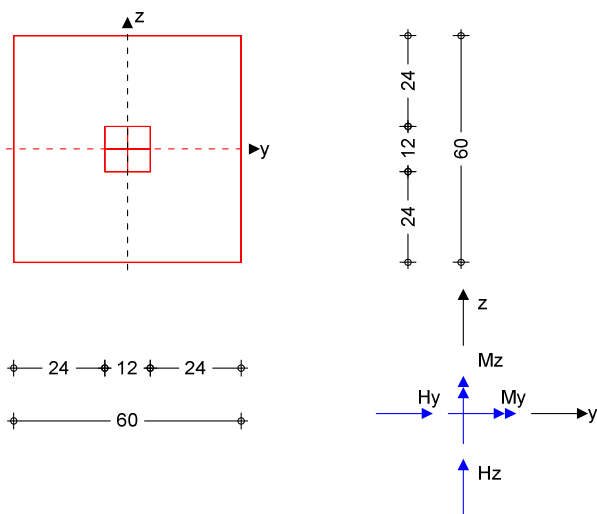
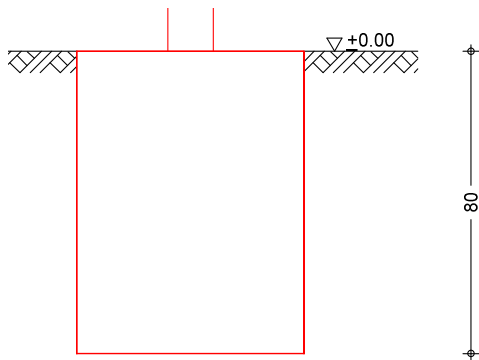
Nachweise im Grenzzustand der Tragfähigkeit

Nachweis	η
Sohldruck	OK 0.24
Auftrieb/Abheben	OK 0.92

Pos. 5.11
Einzelfundament Terrasse außen

Die Stütze ist zug- und druckfest und fachgerecht mit dem Fundament zu verbinden. Es ist ein Pfostenträger zu verwenden, der Zuglasten nach Herstellerangabe von $\geq 5,36$ KN aufnehmen kann.

System
M 1:20



Fundamentplatte	Länge Breite Dicke	by = 0.60 bz = 0.60 h = 0.80	m m m
Stütze	Stützenabmessung	cy = 0.12 cz = 0.12	m m

Boden	Wasserstand von OKG		GW = 99.00	m
x [m]	[kN/m³] γ	[kN/m³] γ'	[°] ϕ	[kN/m²] c
0.00	18.00	10.00	30.00	0.00

Einwirkungen

Gk Qk.w	<u>Ständige Einwirkungen</u>	
	<u>Windlasten</u>	LG 98
	Qk.w (min/max Werte)	
	Qk.w.000 Anströmrichtung $\theta = 0^\circ$	
	Qk.w.090 Anströmrichtung $\theta = 90^\circ$	
	Qk.w.180 Anströmrichtung $\theta = 180^\circ$	
	Qk.w.270 Anströmrichtung $\theta = 270^\circ$	
Qk.s	<u>Schnee- und Eislasten für Orte bis NN + 1000 m</u>	LG 99
	Qk.s (min/max Werte)	
	Qk.s.A Fall (i)	
#Fundam.	# Eigenlast Fundament	
	<u>Ständige Einwirkungen</u>	
#Fundam*	# Eigenlast Fundament mit red. Wichte des Betons	
	<u>Ständige Einwirkungen</u>	
	# Die Einwirkung wurde automatisch generiert.	

Belastungen

Zusammenstellungen

Auflagerlasten **Auflagerlasten aus der Stütze
aus Pos. '4.31', Lager 'A' (Seite 102)**

Auflagerlasten	Auflagerlasten aus der Stütze					
	EW	F_x [kN]	M_y [kNm]	M_z [kNm]	F_y [kN]	F_z [kN]
Gk		1.41	0.00	0.00	0.00	0.00
Qk.S.A		3.48	0.00	0.00	0.00	0.00
Qk.w.000		0.26	0.00	0.00	0.00	0.00
Qk.w.090		-4.44	0.00	0.00	0.00	0.00
Qk.w.180		-1.92	0.00	0.00	0.00	0.00
Qk.w.270		-0.58	0.00	0.00	0.00	0.00

Eigengewicht	Automatisch generierte Eigengewichte	γ [kN/m ²]	G [kN]
EW			
#Fundam.		24.00	6.91
#Fundam*		23.00	6.62

*: Eigengewichte für Abhebenachweis mit reduzierter Wichte des Betons

Char. Schnittgrößen

EW	Fx k [kN]	My k [kNm]	Mz k [kNm]	Fy k [kN]	Fz k [kN]
Gk	1.41	0.00	0.00	0.00	0.00
Qk.w.000	0.26	0.00	0.00	0.00	0.00
Qk.w.090	-4.44	0.00	0.00	0.00	0.00
Qk.w.180	-1.92	0.00	0.00	0.00	0.00
Qk.w.270	-0.58	0.00	0.00	0.00	0.00
Qk.S.A	3.48	0.00	0.00	0.00	0.00
#Fundam.	6.91	0.00	0.00	0.00	0.00

EW	F _{x k} [kN]	M _{y k} [kNm]	M _{z k} [kNm]	F _{y k} [kN]	F _{z k} [kN]
#Fundam*	6.62	0.00	0.00	0.00	0.00

Kombinationen

Standsicherheit Nachweis des Sohldrucks

GZ GEO-2: Grenzzustand Versagen von Bauwerken

Ek	Typ	$\Sigma (\gamma * \text{EW})$
7	BS-P	1.35*Gk+1.35*#Fundam.+1.50*Qk.w.000 +1.50*Qk.S.A

Standsicherheit Nachweis der Sicherheit gegen Auftrieb/Abheben

GZ UPL: Grenzzustand Versagen durch Aufschwimmen: Grenzzustand Verlust Lage

Ek	Typ	$\Sigma (\gamma * \text{EW})$
33	BS-P	0.95*Gk+0.95*#Fundam.*+1.50*Qk.w.090

Biegebemessung

Kombinationen nach DIN EN 1990

Ek	Typ	$\Sigma (\gamma * \psi * \text{EW})$
8	GK	1.35*Gk+1.35*#Fundam.+0.90*Qk.w.000 +1.50*Qk.S.A

Bem.-schnittgrößen

DIN EN 1997-1

Nachweis des Sohldrucks

Ek	F _{x E d} [kN]	M _{y E d} [kNm]	M _{z E d} [kNm]	F _{y E d} [kN]	F _{z E d} [kN]
7	16.84	0.00	0.00	0.00	0.00

DIN EN 1997-1

Nachweis gegen Auftrieb/Abheben

Ek	G _{s t b , d} [kN]	G _{d s t , d} [kN]	Q _{d s t , d} [kN]
33	7.63	0.00	-6.66

DIN EN 1992-1-1

Biegebemessung

Ek	F _{x E d} [kN]	M _{y E d} [kNm]	M _{z E d} [kNm]	F _{y E d} [kN]	F _{z E d} [kN]
8	16.69	0.00	0.00	0.00	0.00

Lagesicherheit

Lagesicherheitsnachweis gem. DIN EN 1990

Keine Ausmittigkeit - Nachweis entfällt

Standsicherheit

Standsicherheitsnachweise gem. DIN EN 1997-1:2009-09

ständige Situationen

1. Kernweite

nach DIN EN 1997-1:2009-09, GZ SLS

Keine maßg. Schnittkräfte vorhanden.
Der Nachweis entfällt

2. Kernweite

nach DIN EN 1997-1:2009-09

Keine maßg. Schnittkräfte vorhanden.
Der Nachweis entfällt

Mittlerer Sohldruck nach DIN 1054:2010-12

Maßg. Beanspruchung Kombination Ek 7
 Bemessungssituation BS-P
 Bemessungswert Sohldruck $\sigma_{E,d} = 46.78 \text{ kN/m}^2$
 aufnehmbarer mittl. Sohldruck $\sigma_{R,d} = 200.00 \text{ kN/m}^2$
 $\sigma_{E,d} \leq \sigma_{R,d}$ $46.784 \leq 200.000$

Gleiten in Sohlfuge nach DIN EN 1997-1:2009-09, GZ GEO-2

Keine maßg. Schnittkräfte vorhanden.
 Der Nachweis entfällt

Auftrieb/Abheben nach DIN EN 1997-1:2009-09, GZ HYD und UPL

Maßg. Beanspruchung Kombination Ek 33
 Bemessungssituation BS-P
 stabilisierend $V_{st,b,d} = 7.63 \text{ kN}$
 destabilisierend $V_{dst,d} = -6.66 \text{ kN}$
 $V_{dst,d} \leq V_{st,b,d}$ $-6.662 \leq 7.628$

Bemessung (GZT) Stahlbetonnachweise gem. DIN EN 1992-1-1:2011-01

Beton C 25/30

Biegebemessung

Unbew. Fundament nach DIN EN 1992-1-1, 12.9.3

$E_k = 8$ $M_y \max = 0.35 \text{ kNm}$
 $E_k = 8$ $M_z \max = 0.35 \text{ kNm}$

Fundamenthöhe $h_F = 0.80 \text{ m}$
 Charakt. Betonzugfestigkeit $f_{ck} = 1.80 \text{ N/mm}^2$
 Teilsicherheitsbeiwert $\gamma_c = 1.80$
 Bem. Wert Betonzugfestigkeit $f_{ctd} = 1.00 \text{ N/mm}^2$

R_i	$a[m]$	$w[m^3]$	$\sigma_{ct}[N/mm^2]$
y	0.2400	0.0462	0.0076
z	0.2400	0.0462	0.0076

Nachweise
 $h_F/a = 3.333 \geq 1.00$
 $\sigma_{ct} \leq f_{ctd} = 0.008 \leq 1.00$

Proj.Bez	Neubau eines Einfamilienhauses	Seite	113
Datum	12.03.2019	Position	5.11
	mb BauStatik S511.de 2012.063	Projekt	Ihmels Mekong

<u>Zusammenfassung</u>	Zusammenfassung der Nachweise		
<u>Nachweise (GZT)</u>	Nachweise im Grenzzustand der Tragfähigkeit		
	Nachweis		
	Sohldruck	η	[-]
	Auftrieb/Abheben	OK	0.23
		OK	0.87

Lüder Blume

L. Blume:

Dipl.- Ing. (FH)
Liste der Tragwerksplaner
Niedersachsen Nr. 17362

Angefertigt:

Steinhagen, den 12.03.2019

Seite:1.... - ...113....

Aufsteller:

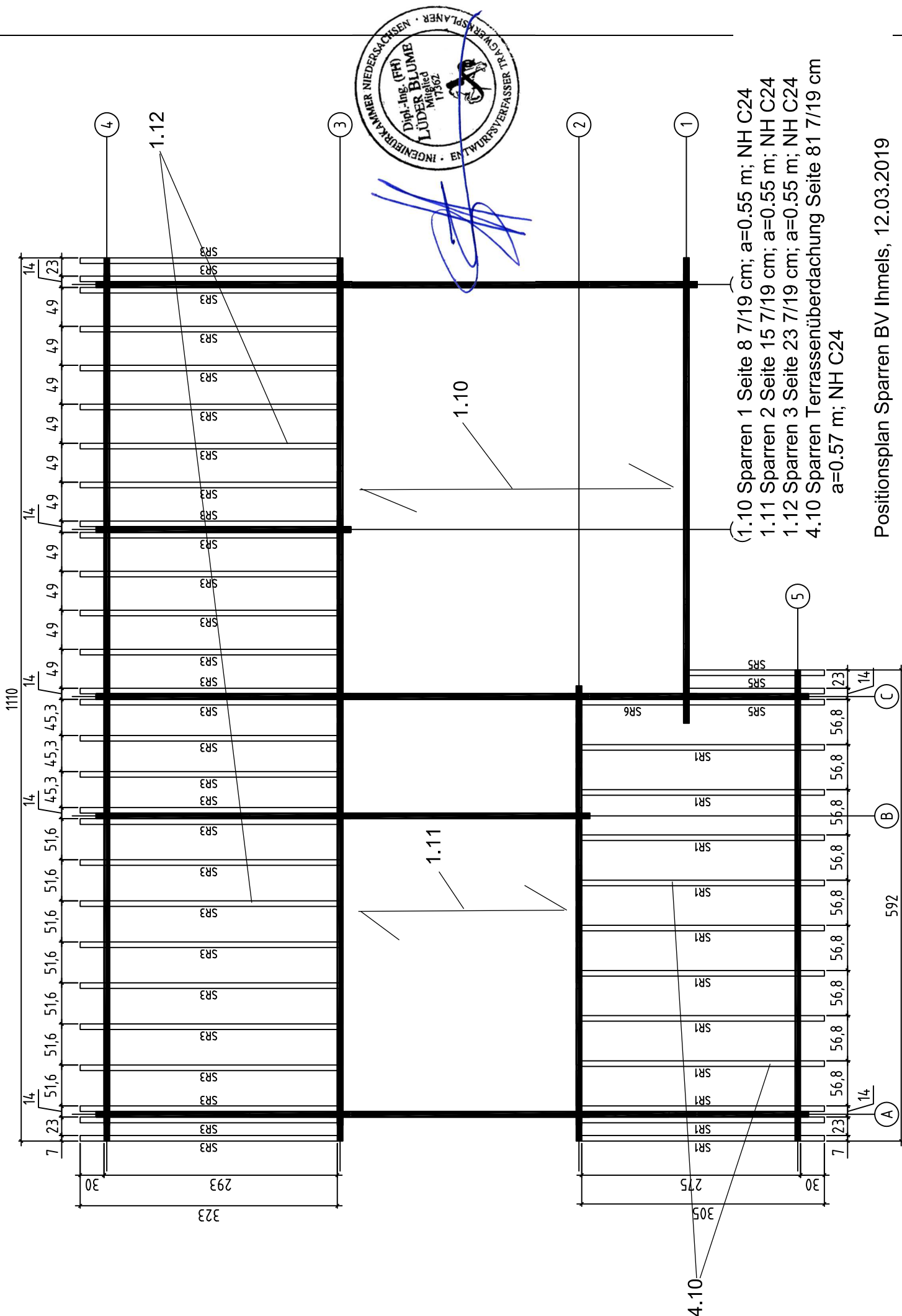
Lüder Blume



L. Blume Dipl. Ing(FH)

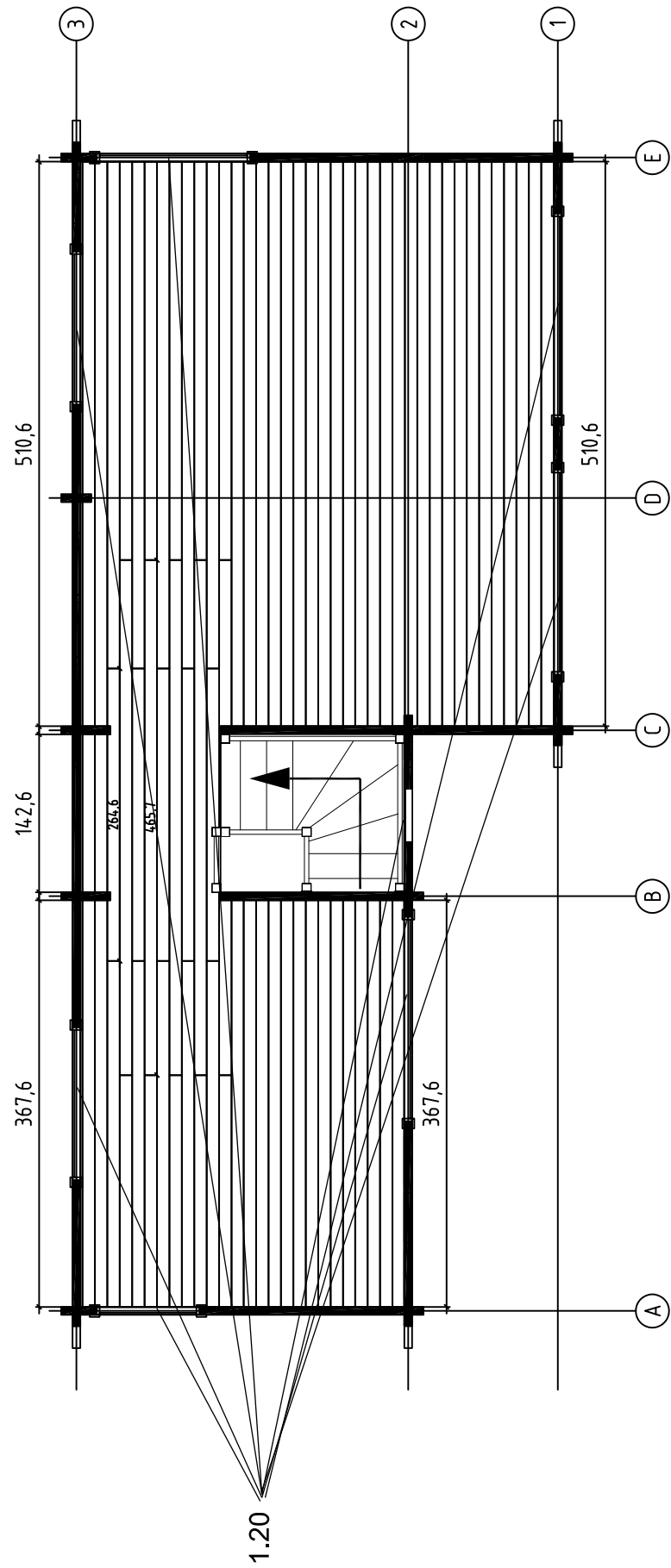


Bauherr:



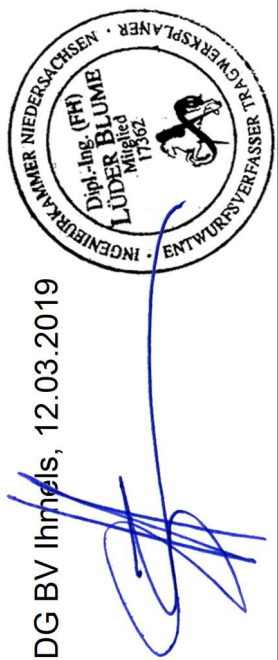
Positionsplan Sparren BV Ihmels, 12.03.2019

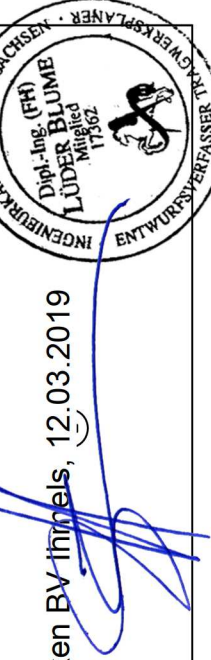
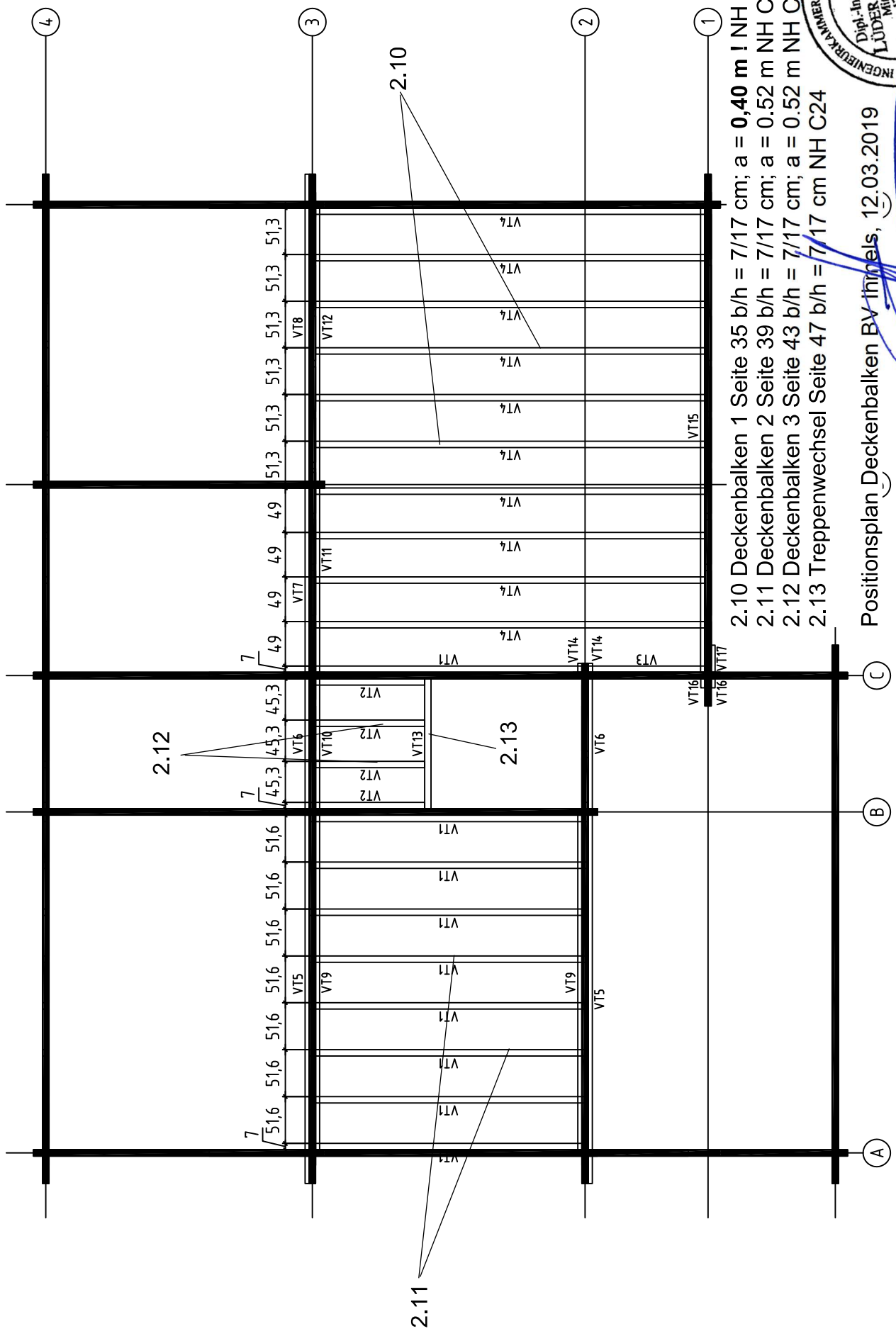
Mekong, Art.No.702202
FUSSBODENBRETTER



1.20 Stürze DG Seite 30 b/h = 2x7/13,6 cm NH C24

Positionsplan DG BV Ihmels, 12.03.2019





4.10 Sparren Terrassenüberdachung Seite 81 7/19 cm; a=0.57 m; NH C24
 4.20 Traufpfette Terrassenüberdachung Seite 88 b/h = 2x7/13.6 cm NH C24 verschraubt
 4.30 Holzstütze Terrasse innen Seite 93 b/h = 12/12 cm Nadelholz C24
 4.31 Holzstütze Terrasse außen Seite 99 b/h = 12/12 cm Nadelholz C24
 5.10 Einzelfundament Terrasse innen Seite 105 by/bz/df= 0.90/0.90/0.80 m C 25/30;
 5.11 Einzelfundament Terrasse außen Seite 109 by/bz/df= 0.60/0.60/0.80 m C 25/30;

Positionsplan EG / Gründung BV Ihmels, 12.03.2019

